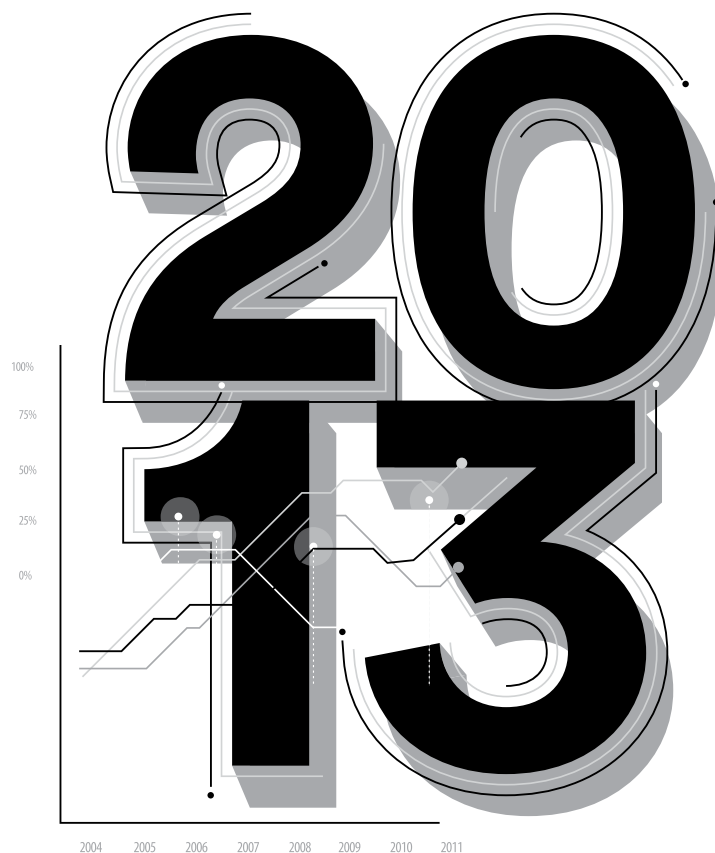




A n u a r i o E s t a d í s t i c o



**Instituto Nacional
de Cancerología-ESE**
Colombia
Por el control del cáncer



A n u a r i o E s t a d í s t i c o

.....



Instituto Nacional
de Cancerología-ESE
Colombia
Par el control del cáncer



**TODOS POR UN
NUEVO PAÍS**
PAZ EQUIDAD EDUCACIÓN

Instituto Nacional de Cancerología - ESE
Anuario estadístico 2013
Volumen 11

ISSN: 1909-8995

www.cancer.gov.co

Diseño y diagramación:
Oficina de Comunicaciones
Instituto Nacional de Cancerología - ESE

Corrección de estilo:
Carlos David Contreras C.

Edición editorial e impresión:
Strategy Ltda

Bogotá D.C., 2016



**Instituto Nacional
de Cancerología-ESE**
Colombia
Por el control del cáncer

ALEJANDRO GAVIRIA URIBE
Ministro de Salud y Protección Social

CAROLINA WIESNER CEBALLOS
Directora General (E)

ESTHER DE VRIES
Subdirectora de Investigaciones, Vigilancia
Epidemiológica, Promoción y Prevención

JESÚS ANTONIO ACOSTA PEÑALOZA
Subdirector Médico y de Docencia

JUAN JOSÉ PÉREZ ACEVEDO
Subdirector Administrativo y Financiero

Constanza Pardo Ramos

Edición

Coordinadora del Grupo Vigilancia Epidemiológica del Cáncer

Comité de Publicaciones Científicas

Carolina Wiesner Ceballos

Julie Milena Galvis Jiménez

Raúl Hernando Murillo

Enrique Cadena

Ricardo Sánchez

Carlos Arturo Hernández

Alfredo Romero

Luis Felipe Torres

Jean Paul Vernot

Sandra Quijano

Stéfano Vinaccia

Carlos Alfonso Duarte

Ricardo Bruges

María Mercedes Bravo

Mónica Molano

Marion Piñeros

Jovanny Zabaleta

Luis Carvajal



Grupos de trabajo

Grupo Vigilancia Epidemiológica del Cáncer

Constanza Pardo Ramos - Coordinadora de grupo. Procesamiento y compilación

Diana Acero Torres - Profesional especializada. Procesamiento

Nury Farieta Vera - Auxiliar administrativo. Colaboradora

María Camila Díaz - Auxiliar administrativo. Colaboradora

Jenny Patricia Castro Solano - Técnico. Colaboradora

Oficina Asesora de Planeación y Sistemas de Información

Adriana Hernández - Jefe de la Oficina Asesora de Planeación y Sistemas de Información

Francisco Avendaño Acevedo - Profesional especializado. Procesamiento y compilación

Carlos Alberto Gómez Calderón - Técnico administrativo. Procesamiento

Grupo de Infecciones Asociadas al Cuidado de la Salud

Julio César Gómez Rincón - Comité de Infecciones Asociadas al Cuidado de la Salud

Cielo De Jesús Almenares Campo - Profesional especializada. Compilación

Edna Lucía Velandia Olaya - Profesional especializada. Procesamiento

Grupo Área Investigaciones

Diana Patricia Cárdenas Pulido – Monitoría de la Investigación. Procesamiento y compilación

Agradecimientos

El Instituto Nacional de Cancerología desea expresar su agradecimiento a todos los grupos por su aporte y contribución en la publicación generada: Clínicas y Servicios, Grupo de Patología, Grupo de Archivo de Historias Clínicas, Grupo de Enfermería, Grupo de Sistemas, Oficina Asesora de Planeación y al equipo de Monitoría de la Investigación, cuyos integrantes siempre contribuyen de manera importante a esta publicación.



| | | |
|-------|--|-----|
| | Presentación | 6 |
| | Foreword | 7 |
| | Registro institucional de cáncer | 11 |
| | Mortalidad institucional | 61 |
| | Producción hospitalaria | 75 |
| | Infecciones asociadas al cuidado de la salud | 83 |
| | Proyectos institucionales de investigación | 91 |
| | Publicaciones científicas | 101 |
| | Glosario | 112 |

PRESENTACIÓN

El Anuario estadístico es una iniciativa del Instituto Nacional de Cancerología (INC), en el cual publica información sobre la gestión realizada en la institución, con la participación de la oficina asesora de planeación, el comité de infecciones intrahospitalarias, el equipo de monitoría de la investigación y el grupo de vigilancia epidemiológica del cáncer.

El Anuario estadístico 2013 (décima primera edición) contiene una selección de las principales estadísticas e indicadores de los procesos que se desarrollan en el Instituto y mantiene la estructura compuesta por informaciones sobre el registro institucional de cáncer, el registro de mortalidad institucional, la producción hospitalaria, las infecciones asociadas al cuidado de la salud, los proyectos institucionales de investigación y las publicaciones científicas.

Este 2013 se destacó por un mayor número de casos nuevos de cáncer en el INC con 6.627. Los tres principales grupos de tumores malignos, en orden descendente son: piel, sistema digestivo y aparato genital femenino, en su orden. Las principales localizaciones tanto en hombres como mujeres fueron piel, mama, próstata, cuello del útero y tiroides. Se certificó un mayor número de muertes por cáncer (1.169), 79,1% residentes en Bogotá, principalmente en las localidades de Ciudad Bolívar y Kennedy. Se continuó con las actividades de producción asistencial y el índice global de infecciones asociadas al cuidado de la salud permaneció igual (8,9%).

En total hubo 117 proyectos institucionales de investigación, aprobados (28,2%), en curso (58,1%) cerrados (7,7%), no realizados (6%). Hubo en total 59 publicaciones científicas, publicaciones en revistas internacionales (25,4%), revistas nacionales (40,7%) y participación en publicaciones extrainstitucionales (22%). Se publicaron 5 libros y 2 capítulos de libro.

Como Directora General del INC, quiero expresar mi agradecimiento a los grupos y a las personas por su aporte en las distintas actividades que permitieron la compilación y resumen de esta edición.

La difusión de la información es un propósito del INC y al igual que las otras ediciones se pone a disposición este Anuario Estadístico 2013 para el mayor número de usuarios, entes interesados, la comunidad en general y en forma muy especial los funcionarios de la Institución. El documento lo encontrará en la página web del INC: <http://www.cancer.gov.co/>.

Carolina Wiesner Ceballos
Directora General (E)

FOREWORD

This Annual Report is an initiative of the Colombian National Cancer Institute (NCI), which publishes information on the management taken in the institution, with the participation of the advisory planning office, the committee of nosocomial infections, the monitoring research equipment, and the cancer surveillance group.

The Annual Report 2013 (eleventh edition) contains key statistics and indicators processes developed at the Institute and maintains the structure composed of information from the hospital based cancer registry, institutional mortality, hospital production, infections, research projects and scientific publications.

The number of new patients attended at INC in 2013 has grown to a number of 6,627. The three main groups of malignant tumors remain, in descending order: cancers of the skin, digestive system, and female genital tract. The main cancers types occurring in men and women were cancers of the skin, breast, prostate, cervix and thyroid. The Institute certified 1,169 cancer deaths, the majority of which concerned residents of the city of Bogota (79.1%), in particular from the localities Ciudad Bolivar and Kennedy. Medical care provision remained stable, as did the overall rate of hospital infections (at 8.9%).

At INC, we had a total of 117 institutional research projects, approved for the next year (28.2%), current (58.1%), closed (7.7%) and approved but without activities (6%). There were 59 scientific publications, among which 25.4% were in international journals, 40.7% in national journals and 22% with participation in extra institutional publications. There were 5 books and 2 book chapters published.

As the director of the Colombian National Cancer Institute I would like to express my appreciation to the groups who contributed with their activities to the realization of the annual compilation and summary of this issue.

At INC we find it important that available information is disseminated, and therefore this editions, like the previous ones, of the 2013 Statistical Yearbook is available free or charge to the clients of INC, stakeholders, the general community, and in particular to the officials of the institution. The document is also available at the NCI website: <http://www.cancer.gov.co/>.

Carolina Wiesner Ceballos
General Director (E)

ÍNDICE DE TABLAS

1. Registro Institucional de Cáncer

| | | |
|-----------|---|----|
| Tabla 1. | Distribución de casos nuevos de cáncer por sexo, según localización primaria, INC, Colombia, 2013. | 13 |
| Tabla 2. | Distribución de casos nuevos de cáncer por grupos quinquenales de edad según localización primaria, hombres, INC, Colombia, 2013. | 15 |
| Tabla 3. | Distribución de casos nuevos de cáncer por grupos quinquenales de edad según localización primaria, mujeres, INC, Colombia, 2013. | 17 |
| Tabla 4. | Distribución de casos nuevos de cáncer en niños, por grupos de edad, según grupos diagnósticos (ICCC-3)*, INC, Colombia, 2013. | 19 |
| Tabla 5. | Distribución de casos nuevos de cáncer por base de diagnóstico, según localización primaria, INC, Colombia, 2013. | 22 |
| Tabla 6. | Distribución de casos nuevos de cáncer por sexo, según localización primaria y diagnóstico histológico, INC, Colombia, 2013. | 24 |
| Tabla 7. | Distribución de casos nuevos de tumores de los tejidos hematopoyético y linfoide, según clasificación de la Organización Mundial de la Salud*, INC, Colombia, 2013. | 41 |
| Tabla 8. | Distribución de casos nuevos de cáncer por verificación histológica y grupos de edad, según la localización primaria, INC, Colombia, 2013. | 43 |
| Tabla 9. | Distribución de casos nuevos de cáncer por régimen de afiliación al SGSSS, según la localización primaria, INC, Colombia, 2013. | 45 |
| Tabla 10. | Distribución de casos nuevos de cáncer por régimen de afiliación al SGSSS, según departamento de residencia habitual, INC, Colombia, 2013. | 47 |
| Tabla 11. | Distribución de casos nuevos de cáncer por clasificación de caso según localización primaria, INC, Colombia, 2013 | 48 |
| Tabla 12. | Casos nuevos de cáncer por sexo, según grandes grupos de edad, INC, Colombia, 2013. | 49 |
| Tabla 13. | Casos nuevos de cáncer de mama, según estado clínico y régimen de afiliación al ingreso, INC, Colombia, 2013. | 50 |
| Tabla 14. | Casos nuevos de cáncer de cuello uterino, según estado clínico al ingreso, INC, Colombia, 2013. | 50 |
| Tabla 15. | Distribución de casos nuevos de melanoma maligno invasivo, según localización primaria, INC, Colombia, 2013. | 50 |
| Tabla 16. | Distribución de casos nuevos de cáncer por tratamiento recibido en el INC, según localización primaria, INC, Colombia, 2013. | 51 |
| Tabla 17. | Distribución de casos nuevos de cáncer de residentes en Bogotá, por sexo y según localización primaria, INC, Colombia, 2013. | 54 |
| Tabla 18. | Distribución de casos nuevos de cáncer de residentes en Bogotá por régimen de afiliación al SGSSS, según localización primaria, INC, Colombia, 2013. | 56 |
| Tabla 19. | Distribución de casos nuevos de cáncer de residentes en Bogotá, por sexo, según EPS, INC, Colombia, 2013. | 58 |
| Tabla 20. | Distribución de casos nuevos de cáncer de la población no asegurada residente en Bogotá, por sexo, según localización, INC, Colombia, 2013. | 59 |
| Tabla 21. | Casos nuevos de cáncer de mama en pacientes residentes en Bogotá, según estado clínico al ingreso y régimen de afiliación, INC, Colombia, 2013. | 60 |
| Tabla 22. | Casos nuevos de cáncer de cuello uterino en pacientes residentes en Bogotá, según estado clínico al ingreso y régimen de afiliación, INC, Colombia, 2013. | 60 |

2. Mortalidad Institucional

| | | |
|-----------|---|----|
| Tabla 23. | Defunciones certificadas, por sitio de defunción, según sexo y grupos de edad, INC, Colombia, 2013. | 63 |
| Tabla 24. | Mortalidad por sitio de defunción, según lugar de residencia habitual, INC, Colombia, 2013. | 64 |
| Tabla 25. | Mortalidad por régimen de afiliación al SGSSS, según lugar de residencia habitual, INC, Colombia, 2013. | 65 |
| Tabla 26. | Mortalidad por sitio de defunción, según causa básica de defunción, hombres, INC, Colombia, 2013. | 66 |
| Tabla 27. | Mortalidad por sitio de defunción, según causa básica de defunción, mujeres, INC, Colombia, 2013. | 67 |
| Tabla 28. | Mortalidad por régimen de afiliación al SGSSS, según causa básica de defunción, hombres, INC, Colombia, 2013. | 68 |
| Tabla 29. | Mortalidad por régimen de afiliación al SGSSS, según causa básica de defunción, mujeres, INC, Colombia, 2013. | 69 |
| Tabla 30. | Mortalidad por área de residencia habitual, según causa básica de defunción, INC, Colombia, 2013. | 70 |
| Tabla 31. | Mortalidad por grandes grupos de edad, según causa básica de defunción, INC, Colombia, 2013. | 71 |
| Tabla 32. | Mortalidad por sitio de defunción, según mes de la defunción, INC, Colombia, 2013. | 72 |

| | | |
|-----------|--|----|
| Tabla 33. | Mortalidad por sitio de defunción, según nivel educativo, INC, Colombia, 2013. | 72 |
| Tabla 34. | Mortalidad según horas de estancia hospitalaria, INC, Colombia, 2013. | 72 |
| Tabla 35. | Mortalidad por localidad con residencia habitual en Bogotá, INC, Colombia, 2013. | 73 |

3. Producción Hospitalaria

| | | |
|-----------|---|----|
| Tabla 36. | Producción trimestral consolidada según tipo de actividades e indicadores, INC, Colombia, 2013. | 77 |
| Tabla 37. | Producción trimestral de consulta externa, según servicio, INC, Colombia, 2013. | 78 |
| Tabla 38. | Producción trimestral de radioterapia, según tipo de procedimientos, INC, Colombia, 2013. | 79 |
| Tabla 39. | Producción trimestral según tipo de procedimientos de quimioterapia, INC, Colombia, 2013. | 79 |
| Tabla 40. | Producción trimestral de procedimientos quirúrgicos, según servicio, INC, Colombia, 2013. | 79 |
| Tabla 41. | Producción trimestral del laboratorio clínico, INC, Colombia, 2013. | 80 |
| Tabla 42. | Producción trimestral del servicio de imágenes diagnósticas, según tipo de examen, INC, Colombia, 2013. | 80 |
| Tabla 43. | Producción trimestral de exámenes diagnósticos y otros procedimientos, INC, Colombia, 2013. | 80 |
| Tabla 44. | Producción trimestral de la unidad de cuidado crítico, INC, Colombia, 2013. | 81 |
| Tabla 45. | Producción trimestral de sesiones de rehabilitación y terapias respiratorias, INC, Colombia, 2013. | 81 |
| Tabla 46. | Producción trimestral del banco de sangre, según procedimiento, INC, Colombia, 2013. | 81 |
| Tabla 47. | Producción trimestral de clínica de hematología y trasplante de médula ósea, INC, Colombia, 2013. | 81 |
| Tabla 48. | Producción trimestral del servicio de patología y citología, INC, Colombia, 2013. | 82 |

4. Infecciones Asociadas al Cuidado de la Salud

| | | |
|-----------|--|----|
| Tabla 49. | Índice global de infecciones asociadas al cuidado de la salud, INC, Colombia, 2013. | 85 |
| Tabla 50. | Tasa global de infecciones asociadas al cuidado de la salud, INC, Colombia, 2013. | 85 |
| Tabla 51. | Infecciones asociadas al cuidado de la salud por mes, según especialidad médica, INC, Colombia, 2013. | 86 |
| Tabla 52. | Infecciones asociadas al cuidado de la salud por mes, según tipo de infección, INC, Colombia, 2013. | 87 |
| Tabla 53. | Índice de mortalidad por infecciones asociadas al cuidado de la salud por mes, INC, Colombia, 2013. | 88 |
| Tabla 54. | Índice de infecciones asociadas al cuidado de la salud por especialidad médica, INC, Colombia, 2013. | 88 |
| Tabla 55. | Infecciones asociadas al cuidado de la salud por tipo de muestra, según microorganismo aislado, INC, Colombia, 2013. | 89 |
| Tabla 56. | Patrón de susceptibilidad de los principales bacilos Gram negativos aislados en infecciones asociadas al cuidado de la salud, INC, Colombia, 2013. | 90 |
| Tabla 57. | Patrón de susceptibilidad de los principales cocos Gram positivos aislados en infecciones asociadas al cuidado de la salud, INC, Colombia, 2013. | 90 |

5. Proyectos Institucionales de Investigación

| | | |
|-----------|---|----|
| Tabla 58. | Proyectos institucionales de investigación aprobados, en curso o terminados, según línea de investigación, INC, Colombia, 2013. | 93 |
|-----------|---|----|

6. Publicaciones Científicas

| | | |
|-----------|---|-----|
| Tabla 59. | Publicaciones científicas, según grupo o servicio, INC, Colombia, 2013. | 103 |
|-----------|---|-----|

*El Registro Institucional de Cáncer del **INC** presenta la información sobre los casos nuevos de cáncer que ingresaron y fueron atendidos en la institución en el año.*



1. Registro Institucional de Cáncer

Anuario Estadístico

Tabla 1. Distribución de casos nuevos de cáncer por sexo, según localización primaria, INC, Colombia, 2013.

| Localización primaria | Hombres | | Mujeres | | Total | |
|--|------------|-------------|------------|-------------|--------------|-------------|
| | No. | % | No. | % | No. | % |
| Labio, cavidad oral y faringe | | | | | | |
| C01 Base de la lengua | 1 | 0,0 | 2 | 0,1 | 3 | 0,0 |
| C02 Otras partes de la lengua | 11 | 0,4 | 12 | 0,3 | 23 | 0,3 |
| C03 Encía | 0 | 0,0 | 3 | 0,1 | 3 | 0,0 |
| C04 Suelo de la boca | 2 | 0,1 | 1 | 0,0 | 3 | 0,0 |
| C05 Paladar | 4 | 0,1 | 1 | 0,0 | 5 | 0,1 |
| C06 Otras partes de la boca | 5 | 0,2 | 3 | 0,1 | 8 | 0,1 |
| C07 Glándula parótida | 7 | 0,3 | 12 | 0,3 | 19 | 0,3 |
| C08 Otras glándulas salivares mayores | 4 | 0,1 | 1 | 0,0 | 5 | 0,1 |
| C09 Amígdala | 10 | 0,4 | 3 | 0,1 | 13 | 0,2 |
| C10 Orofaringe | 8 | 0,3 | 1 | 0,0 | 9 | 0,1 |
| C11 Nasofaringe | 6 | 0,2 | 6 | 0,2 | 12 | 0,2 |
| C13 Hipofaringe | 4 | 0,1 | 0 | 0,0 | 4 | 0,1 |
| C14 Otras localizaciones de labio, cavidad bucal y faringe | 3 | 0,1 | 0 | 0,0 | 3 | 0,0 |
| Total (C01-C14) | 65 | 2,3 | 45 | 1,2 | 110 | 1,7 |
| Sistema digestivo | | | | | | |
| C15 Esófago | 49 | 1,8 | 26 | 0,7 | 75 | 1,1 |
| C16 Estómago | 243 | 8,8 | 175 | 4,5 | 418 | 6,3 |
| C17 Intestino delgado | 12 | 0,4 | 8 | 0,2 | 20 | 0,3 |
| C18 Colon | 96 | 3,5 | 130 | 3,4 | 226 | 3,4 |
| C19 Unión rectosigmoidea | 11 | 0,4 | 6 | 0,2 | 17 | 0,3 |
| C20 Recto | 98 | 3,5 | 64 | 1,7 | 162 | 2,4 |
| C21 Ano y canal anal | 6 | 0,2 | 16 | 0,4 | 22 | 0,3 |
| C22 Hígado y vías biliares intrahepáticas | 16 | 0,6 | 8 | 0,2 | 24 | 0,4 |
| C23 Vesícula biliar | 4 | 0,1 | 29 | 0,8 | 33 | 0,5 |
| C24 Otras partes de las vías biliares | 3 | 0,1 | 7 | 0,2 | 10 | 0,2 |
| C25 Páncreas | 23 | 0,8 | 46 | 1,2 | 69 | 1,0 |
| C26 Otras localizaciones del aparato digestivo | 3 | 0,1 | 0 | 0,0 | 3 | 0,0 |
| Total (C15-C26) | 564 | 20,4 | 515 | 13,4 | 1.079 | 16,3 |
| Sistema respiratorio y órganos intratorácicos | | | | | | |
| C30 Fosa nasal y oído medio | 3 | 0,1 | 3 | 0,1 | 6 | 0,1 |
| C31 Senos accesorios | 6 | 0,2 | 4 | 0,1 | 10 | 0,2 |
| C32 Laringe | 27 | 1,0 | 3 | 0,1 | 30 | 0,5 |
| C34 Bronquios y pulmón | 74 | 2,7 | 47 | 1,2 | 121 | 1,8 |
| C37 Timo | 5 | 0,2 | 5 | 0,1 | 10 | 0,2 |
| C38 Corazón, mediastino y pleura | 22 | 0,8 | 8 | 0,2 | 30 | 0,5 |
| Total (C30-C38) | 137 | 4,9 | 70 | 1,8 | 207 | 3,1 |
| Huesos y articulaciones | | | | | | |
| C40 Huesos y articulaciones de las extremidades | 43 | 1,6 | 20 | 0,5 | 63 | 1,0 |
| C41 Huesos y articulaciones de otras localizaciones | 17 | 0,6 | 10 | 0,3 | 27 | 0,4 |
| Total (C40-C41) | 60 | 2,2 | 30 | 0,8 | 90 | 1,4 |

[continúa]

Tabla 1. Distribución de casos nuevos de cáncer por sexo, según localización primaria, INC, Colombia, 2013.

| Localización primaria | Hombres | | Mujeres | | Total | |
|---|--------------|-------------|--------------|-------------|--------------|-------------|
| | No. | % | No. | % | No. | % |
| Sistema hematopoyético y reticuloendotelial (C42) | 159 | 5,7 | 128 | 3,3 | 287 | 4,3 |
| Piel (C44) | 683 | 24,6 | 779 | 20,2 | 1.462 | 22,1 |
| Tejido conjuntivo subcutáneo y otros tejidos blandos | | | | | | |
| C47 Nervios periféricos y SNA | 1 | 0,0 | 1 | 0,0 | 2 | 0,0 |
| C48 Retroperitoneo y peritoneo | 16 | 0,6 | 14 | 0,4 | 30 | 0,5 |
| C49 Tejidos conjuntivo, subcutáneo y otros tejidos blandos | 47 | 1,7 | 49 | 1,3 | 96 | 1,4 |
| Total (C47-C49) | 64 | 2,3 | 64 | 1,7 | 128 | 1,9 |
| Mama (C50) | 3 | 0,1 | 708 | 18,4 | 711 | 10,7 |
| Aparato genital femenino | | | | | | |
| C51 Vulva | 0 | 0,0 | 22 | 0,6 | 22 | 0,3 |
| C52 Vagina | 0 | 0,0 | 26 | 0,7 | 26 | 0,4 |
| C53 Cuello del útero | 0 | 0,0 | 483 | 12,5 | 483 | 7,3 |
| C54 Cuerpo del útero | 0 | 0,0 | 128 | 3,3 | 128 | 1,9 |
| C55 Útero, SAI | 0 | 0,0 | 15 | 0,4 | 15 | 0,2 |
| C56 Ovario | 0 | 0,0 | 119 | 3,1 | 119 | 1,8 |
| C58 Placenta | 0 | 0,0 | 1 | 0,0 | 1 | 0,0 |
| Total (C51-C58) | 0 | 0,0 | 794 | 20,6 | 794 | 12,0 |
| Aparato genital masculino | | | | | | |
| C60 Pene | 26 | 0,9 | 0 | 0,0 | 26 | 0,4 |
| C61 Glándula prostática | 534 | 19,3 | 0 | 0,0 | 534 | 8,1 |
| C62 Testículo | 52 | 1,9 | 0 | 0,0 | 52 | 0,8 |
| C63 Otras localizaciones aparato genital masculino | 2 | 0,1 | 0 | 0,0 | 2 | 0,0 |
| Total (C60-C63) | 614 | 22,2 | 0 | 0,0 | 614 | 9,3 |
| Aparato urinario | | | | | | |
| C64 Riñón | 49 | 1,8 | 38 | 1,0 | 87 | 1,3 |
| C66 Uréter | 1 | 0,0 | 0 | 0,0 | 1 | 0,0 |
| C67 Vejiga | 50 | 1,8 | 18 | 0,5 | 68 | 1,0 |
| C68 Otras localizaciones del aparato urinario | 1 | 0,0 | 3 | 0,1 | 4 | 0,1 |
| Total (C64-C68) | 101 | 3,6 | 59 | 1,5 | 160 | 2,4 |
| Ojos y anexos (C69) | 50 | 1,8 | 43 | 1,1 | 93 | 1,4 |
| Encéfalo y sistema nervioso central | | | | | | |
| C70 Meninges | 1 | 0,0 | 7 | 0,2 | 8 | 0,1 |
| C71 Encéfalo | 44 | 1,6 | 50 | 1,3 | 94 | 1,4 |
| C72 Médula espinal, nervios craneales del SNC | 1 | 0,0 | 3 | 0,1 | 4 | 0,1 |
| Total (C70-C72) | 46 | 1,7 | 60 | 1,6 | 106 | 1,6 |
| Glándulas endocrinas | | | | | | |
| C73 Glándula tiroides | 58 | 2,1 | 387 | 10,0 | 445 | 6,7 |
| C74 Glándula suprarrenal | 2 | 0,1 | 5 | 0,1 | 7 | 0,1 |
| C75 Otras glándulas endocrinas | 3 | 0,1 | 5 | 0,1 | 8 | 0,1 |
| Total (C73-C75) | 63 | 2,3 | 397 | 10,3 | 460 | 6,9 |
| Ganglios linfáticos (C77) | 124 | 4,5 | 93 | 2,4 | 217 | 3,3 |
| Localización primaria desconocida (C80) | 38 | 1,4 | 71 | 1,8 | 109 | 1,6 |
| Total | 2.771 | 100 | 3.856 | 100 | 6.627 | 100 |

Fuente: Registro Institucional de Cáncer, INC.

Tabla 2. Distribución de casos nuevos de cáncer por grupos quinquenales de edad según localización primaria, hombres, INC, Colombia, 2013.

| Localización primaria | 0-4 | 5-9 | 10-14 | 15-19 | 20-24 | 25-29 | 30-34 | 35-39 | 40-44 | 45-49 | 50-54 | 55-59 | 60-64 | 65-69 | 70-74 | 75+ | Total |
|--|-----|-----|-------|-------|-------|-------|-------|-------|-------|-------|-------|-------|-------|-------|-------|-----|-------|
| C01 Base de la lengua | 0 | 0 | 0 | 0 | 0 | 0 | 0 | 0 | 0 | 0 | 0 | 0 | 1 | 0 | 0 | 0 | 1 |
| C02 Otras partes de la lengua | 0 | 0 | 0 | 0 | 0 | 0 | 1 | 0 | 1 | 2 | 1 | 1 | 0 | 2 | 2 | 1 | 11 |
| C04 Suelo de la boca | 0 | 0 | 0 | 0 | 0 | 0 | 0 | 0 | 0 | 0 | 0 | 0 | 0 | 1 | 1 | 0 | 2 |
| C05 Paladar | 0 | 0 | 0 | 0 | 0 | 0 | 0 | 0 | 0 | 2 | 0 | 1 | 1 | 0 | 0 | 0 | 4 |
| C06 Otras partes de la boca | 0 | 0 | 0 | 0 | 0 | 0 | 0 | 1 | 0 | 0 | 1 | 1 | 0 | 1 | 0 | 1 | 5 |
| C07 Glándula parótida | 0 | 0 | 0 | 0 | 0 | 1 | 0 | 0 | 0 | 1 | 1 | 0 | 1 | 1 | 1 | 1 | 7 |
| C08 Otras glándulas salivares mayores | 0 | 0 | 0 | 0 | 0 | 0 | 0 | 0 | 1 | 1 | 0 | 1 | 1 | 0 | 0 | 0 | 4 |
| C09 Amígdala | 0 | 0 | 0 | 0 | 0 | 0 | 0 | 1 | 0 | 0 | 0 | 2 | 0 | 3 | 1 | 3 | 10 |
| C10 Orofaringe | 0 | 0 | 0 | 0 | 0 | 0 | 0 | 0 | 0 | 1 | 0 | 2 | 1 | 3 | 1 | 0 | 8 |
| C11 Nasofaringe | 0 | 0 | 0 | 0 | 0 | 1 | 1 | 1 | 0 | 1 | 0 | 1 | 0 | 0 | 1 | 0 | 6 |
| C13 Hipofaringe | 0 | 0 | 0 | 0 | 0 | 0 | 0 | 0 | 0 | 0 | 1 | 1 | 1 | 0 | 1 | 0 | 4 |
| C14 Otras localizaciones de labio, cavidad bucal y faringe | 0 | 0 | 0 | 0 | 0 | 0 | 0 | 0 | 0 | 0 | 0 | 0 | 1 | 0 | 0 | 2 | 3 |
| C15 Esófago | 0 | 0 | 0 | 0 | 0 | 0 | 1 | 2 | 1 | 2 | 3 | 2 | 4 | 7 | 5 | 22 | 49 |
| C16 Estómago | 0 | 0 | 0 | 0 | 1 | 3 | 4 | 10 | 8 | 16 | 24 | 32 | 22 | 40 | 29 | 54 | 243 |
| C17 Intestino delgado | 0 | 0 | 0 | 0 | 0 | 0 | 0 | 1 | 0 | 0 | 2 | 2 | 4 | 1 | 0 | 2 | 12 |
| C18 Colon | 0 | 0 | 0 | 1 | 0 | 3 | 3 | 1 | 5 | 6 | 7 | 18 | 7 | 6 | 18 | 21 | 96 |
| C19 Unión rectosigmoidea | 0 | 0 | 0 | 1 | 0 | 0 | 0 | 0 | 0 | 1 | 2 | 3 | 2 | 1 | 1 | 0 | 11 |
| C20 Recto | 0 | 0 | 0 | 1 | 2 | 1 | 1 | 1 | 4 | 4 | 8 | 14 | 11 | 13 | 14 | 24 | 98 |
| C21 Ano y canal anal | 0 | 0 | 0 | 0 | 0 | 0 | 0 | 0 | 0 | 0 | 2 | 1 | 2 | 1 | 0 | 0 | 6 |
| C22 Hígado y vías biliares intrahepáticas | 0 | 1 | 0 | 1 | 1 | 0 | 1 | 2 | 0 | 0 | 0 | 0 | 3 | 2 | 3 | 2 | 16 |
| C23 Vesícula biliar | 0 | 0 | 0 | 0 | 0 | 0 | 0 | 1 | 0 | 0 | 0 | 0 | 1 | 2 | 0 | 0 | 4 |
| C24 Otras partes de las vías biliares | 0 | 0 | 0 | 0 | 0 | 0 | 0 | 0 | 0 | 0 | 0 | 1 | 0 | 1 | 0 | 1 | 3 |
| C25 Páncreas | 0 | 0 | 0 | 0 | 0 | 0 | 0 | 0 | 2 | 0 | 3 | 5 | 4 | 2 | 4 | 3 | 23 |
| C26 Otras localizaciones del aparato digestivo | 0 | 0 | 1 | 0 | 0 | 0 | 0 | 0 | 0 | 0 | 0 | 0 | 1 | 0 | 1 | 0 | 3 |
| C30 Fosa nasal y oído medio | 1 | 0 | 0 | 0 | 0 | 0 | 0 | 0 | 0 | 0 | 0 | 1 | 0 | 0 | 0 | 1 | 3 |
| C31 Senos accesorios | 0 | 0 | 0 | 0 | 0 | 0 | 0 | 0 | 0 | 0 | 3 | 3 | 0 | 0 | 0 | 0 | 6 |
| C32 Laringe | 0 | 0 | 0 | 0 | 0 | 0 | 0 | 0 | 2 | 0 | 1 | 5 | 3 | 7 | 4 | 5 | 27 |
| C34 Bronquios y pulmón | 0 | 0 | 0 | 0 | 1 | 1 | 1 | 2 | 2 | 4 | 3 | 5 | 14 | 13 | 11 | 17 | 74 |
| C37 Timo | 0 | 0 | 0 | 0 | 0 | 0 | 0 | 0 | 0 | 1 | 0 | 1 | 3 | 0 | 0 | 0 | 5 |

(continúa)



Tabla 2. Distribución de casos nuevos de cáncer por grupos quinquenales de edad según localización primaria, hombres, INC, Colombia, 2013.

| Localización primaria | 0-4 | 5-9 | 10-14 | 15-19 | 20-24 | 25-29 | 30-34 | 35-39 | 40-44 | 45-49 | 50-54 | 55-59 | 60-64 | 65-69 | 70-74 | 75+ | Total |
|--|-----------|-----------|-----------|-----------|-----------|-----------|-----------|-----------|-----------|------------|------------|------------|------------|------------|------------|------------|--------------|
| C38 Corazón, mediastino y pleura | 0 | 0 | 3 | 1 | 1 | 1 | 0 | 0 | 2 | 2 | 1 | 1 | 3 | 3 | 3 | 1 | 22 |
| C40 Huesos y articulaciones de las extremidades | 0 | 4 | 7 | 12 | 4 | 1 | 1 | 1 | 4 | 0 | 1 | 0 | 3 | 2 | 2 | 1 | 43 |
| C41 Huesos y articulaciones de otras localizaciones | 0 | 1 | 2 | 0 | 1 | 2 | 2 | 2 | 1 | 1 | 2 | 1 | 0 | 0 | 0 | 2 | 17 |
| C42 Sistema hematopoyético y reticuloendotelial | 8 | 12 | 12 | 9 | 8 | 6 | 3 | 2 | 15 | 13 | 13 | 11 | 16 | 10 | 6 | 15 | 159 |
| C44 Piel | 0 | 5 | 2 | 2 | 3 | 13 | 9 | 6 | 16 | 27 | 41 | 47 | 75 | 94 | 86 | 257 | 683 |
| C47 Nervios periféricos y SNA | 0 | 0 | 0 | 0 | 0 | 0 | 0 | 0 | 0 | 0 | 0 | 0 | 0 | 1 | 0 | 0 | 1 |
| C48 Retroperitoneo y peritoneo | 1 | 1 | 1 | 0 | 1 | 1 | 3 | 0 | 0 | 1 | 2 | 3 | 2 | 0 | 0 | 0 | 16 |
| C49 Tejidos conjuntivo, subcutáneo y otros tejidos blandos | 2 | 1 | 3 | 1 | 2 | 0 | 3 | 2 | 4 | 2 | 3 | 3 | 4 | 5 | 6 | 6 | 47 |
| C50 Mama | 0 | 0 | 0 | 0 | 0 | 0 | 0 | 0 | 0 | 2 | 0 | 0 | 0 | 0 | 0 | 1 | 3 |
| C60 Pene | 0 | 0 | 0 | 0 | 0 | 0 | 0 | 2 | 1 | 3 | 4 | 2 | 6 | 2 | 0 | 6 | 26 |
| C61 Glándula prostática | 0 | 0 | 1 | 0 | 0 | 0 | 0 | 0 | 1 | 7 | 16 | 50 | 100 | 129 | 113 | 117 | 534 |
| C62 Testículo | 2 | 1 | 0 | 5 | 11 | 12 | 5 | 9 | 1 | 3 | 1 | 1 | 0 | 1 | 0 | 0 | 52 |
| C63 Otras localizaciones aparato genital masculino | 0 | 0 | 0 | 0 | 0 | 0 | 0 | 0 | 0 | 1 | 0 | 0 | 0 | 0 | 0 | 1 | 2 |
| C64 Riñón | 8 | 0 | 0 | 0 | 0 | 0 | 0 | 1 | 3 | 2 | 4 | 8 | 10 | 5 | 1 | 7 | 49 |
| C66 Uréter | 0 | 0 | 0 | 0 | 0 | 0 | 0 | 0 | 0 | 0 | 0 | 0 | 0 | 0 | 0 | 1 | 1 |
| C67 Vejiga | 0 | 0 | 0 | 1 | 0 | 0 | 0 | 2 | 0 | 2 | 2 | 2 | 7 | 8 | 11 | 15 | 50 |
| C68 Otras localizaciones del aparato urinario | 0 | 0 | 0 | 0 | 0 | 0 | 0 | 0 | 0 | 0 | 0 | 0 | 0 | 1 | 0 | 0 | 1 |
| C69 Ojos y anexos | 6 | 1 | 0 | 0 | 0 | 0 | 4 | 2 | 0 | 6 | 3 | 2 | 4 | 7 | 6 | 9 | 50 |
| C70 Meninges | 0 | 0 | 0 | 0 | 0 | 0 | 0 | 0 | 0 | 0 | 0 | 0 | 1 | 0 | 0 | 0 | 1 |
| C71 Encéfalo | 5 | 3 | 4 | 1 | 3 | 5 | 1 | 3 | 2 | 5 | 2 | 4 | 3 | 1 | 1 | 1 | 44 |
| C72 Médula espinal, nervios craneales del SNC | 0 | 0 | 0 | 0 | 0 | 0 | 0 | 0 | 0 | 0 | 0 | 0 | 0 | 1 | 0 | 0 | 1 |
| C73 Glándula tiroides | 0 | 0 | 0 | 0 | 1 | 3 | 3 | 4 | 4 | 11 | 12 | 8 | 6 | 3 | 3 | 0 | 58 |
| C74 Glándula suprarrenal | 0 | 0 | 0 | 0 | 1 | 0 | 0 | 0 | 0 | 0 | 1 | 0 | 0 | 0 | 0 | 0 | 2 |
| C75 Otras glándulas endocrinas | 0 | 0 | 0 | 2 | 1 | 0 | 0 | 0 | 0 | 0 | 0 | 0 | 0 | 0 | 0 | 0 | 3 |
| C77 Ganglios linfáticos | 2 | 5 | 5 | 4 | 8 | 4 | 4 | 3 | 11 | 7 | 8 | 15 | 11 | 10 | 13 | 14 | 124 |
| C80 Localización primaria desconocida | 0 | 0 | 0 | 1 | 0 | 0 | 0 | 1 | 3 | 3 | 2 | 1 | 10 | 3 | 8 | 6 | 38 |
| Total | 35 | 35 | 41 | 43 | 50 | 58 | 51 | 63 | 94 | 140 | 180 | 262 | 349 | 393 | 357 | 620 | 2.771 |

Fuente: Registro Institucional de Cáncer, INC.

Tabla 3. Distribución de casos nuevos de cáncer por grupos quinquenales de edad según localización primaria, mujeres, INC, Colombia, 2013.

| Localización primaria | 0-4 | 5-9 | 10-14 | 15-19 | 20-24 | 25-29 | 30-34 | 35-39 | 40-44 | 45-49 | 50-54 | 55-59 | 60-64 | 65-69 | 70-74 | 75+ | Total |
|---|-----|-----|-------|-------|-------|-------|-------|-------|-------|-------|-------|-------|-------|-------|-------|-----|-------|
| C01 Base de la lengua | 0 | 0 | 0 | 1 | 0 | 0 | 0 | 0 | 0 | 0 | 0 | 0 | 0 | 1 | 0 | 0 | 2 |
| C02 Otras partes de la lengua | 0 | 0 | 0 | 0 | 0 | 1 | 1 | 0 | 0 | 0 | 0 | 0 | 3 | 2 | 1 | 4 | 12 |
| C03 Encía | 0 | 0 | 0 | 0 | 0 | 0 | 0 | 0 | 1 | 0 | 0 | 1 | 0 | 1 | 0 | 0 | 3 |
| C04 Suelo de la boca | 0 | 0 | 0 | 0 | 0 | 0 | 0 | 0 | 0 | 0 | 0 | 0 | 1 | 0 | 0 | 0 | 1 |
| C05 Paladar | 0 | 0 | 0 | 0 | 0 | 1 | 0 | 0 | 0 | 0 | 0 | 0 | 0 | 0 | 0 | 0 | 1 |
| C06 Otras partes de la boca | 0 | 0 | 0 | 0 | 0 | 0 | 0 | 0 | 0 | 0 | 0 | 1 | 0 | 1 | 0 | 1 | 3 |
| C07 Glándula parótida | 0 | 0 | 0 | 0 | 0 | 0 | 1 | 0 | 2 | 3 | 1 | 1 | 2 | 0 | 2 | 0 | 12 |
| C08 Otras glándulas salivares mayores | 0 | 0 | 0 | 0 | 0 | 0 | 0 | 0 | 0 | 1 | 0 | 0 | 0 | 0 | 0 | 0 | 1 |
| C09 Amígdala | 0 | 0 | 0 | 0 | 0 | 0 | 0 | 0 | 0 | 0 | 0 | 1 | 1 | 0 | 1 | 0 | 3 |
| C10 Orofaringe | 0 | 0 | 0 | 0 | 0 | 0 | 0 | 0 | 0 | 0 | 0 | 0 | 0 | 1 | 0 | 0 | 1 |
| C11 Nasofaringe | 0 | 1 | 0 | 0 | 0 | 0 | 0 | 0 | 0 | 0 | 2 | 1 | 0 | 0 | 1 | 1 | 6 |
| C15 Esófago | 0 | 0 | 0 | 0 | 0 | 0 | 0 | 0 | 0 | 6 | 3 | 0 | 0 | 2 | 5 | 10 | 26 |
| C16 Estómago | 0 | 0 | 0 | 0 | 1 | 0 | 5 | 5 | 7 | 15 | 19 | 27 | 19 | 20 | 16 | 41 | 175 |
| C17 Intestino delgado | 0 | 0 | 0 | 1 | 0 | 0 | 0 | 1 | 0 | 1 | 0 | 0 | 0 | 3 | 1 | 1 | 8 |
| C18 Colon | 0 | 0 | 0 | 2 | 0 | 3 | 0 | 2 | 6 | 14 | 13 | 16 | 13 | 9 | 21 | 31 | 130 |
| C19 Unión rectosigmoidea | 0 | 0 | 0 | 0 | 0 | 0 | 1 | 0 | 0 | 1 | 0 | 1 | 0 | 0 | 0 | 3 | 6 |
| C20 Recto | 0 | 0 | 0 | 0 | 0 | 0 | 1 | 2 | 6 | 3 | 4 | 6 | 4 | 9 | 11 | 18 | 64 |
| C21 Ano y canal anal | 0 | 0 | 0 | 0 | 0 | 0 | 0 | 0 | 1 | 0 | 0 | 2 | 6 | 1 | 2 | 4 | 16 |
| C22 Hígado y vías biliares intrahepáticas | 2 | 1 | 0 | 0 | 0 | 0 | 0 | 0 | 0 | 0 | 1 | 0 | 0 | 1 | 1 | 2 | 8 |
| C23 Vesícula biliar | 0 | 0 | 0 | 0 | 0 | 1 | 0 | 0 | 0 | 2 | 3 | 7 | 5 | 1 | 3 | 7 | 29 |
| C24 Otras partes de las vías biliares | 0 | 0 | 0 | 0 | 0 | 1 | 0 | 0 | 0 | 0 | 1 | 0 | 3 | 0 | 2 | 0 | 7 |
| C25 Páncreas | 1 | 0 | 0 | 1 | 0 | 0 | 0 | 1 | 0 | 0 | 5 | 7 | 10 | 6 | 6 | 9 | 46 |
| C30 Fosa nasal y oído medio | 0 | 0 | 0 | 0 | 0 | 0 | 0 | 0 | 0 | 0 | 2 | 0 | 1 | 0 | 0 | 0 | 3 |
| C31 Senos accesorios | 0 | 0 | 0 | 0 | 0 | 0 | 0 | 0 | 0 | 0 | 1 | 1 | 0 | 1 | 0 | 1 | 4 |
| C32 Laringe | 0 | 0 | 0 | 0 | 0 | 0 | 0 | 0 | 0 | 0 | 0 | 2 | 1 | 0 | 0 | 0 | 3 |
| C34 Bronquios y pulmón | 0 | 0 | 1 | 0 | 0 | 1 | 0 | 0 | 0 | 1 | 6 | 5 | 5 | 9 | 6 | 13 | 47 |
| C37 Timo | 0 | 0 | 0 | 0 | 1 | 0 | 0 | 1 | 0 | 1 | 0 | 1 | 1 | 0 | 0 | 0 | 5 |
| C38 Corazón, mediastino y pleura | 1 | 0 | 0 | 0 | 1 | 1 | 1 | 0 | 0 | 0 | 1 | 1 | 0 | 0 | 2 | 0 | 8 |
| C40 Huesos y articulaciones de las extremidades | 0 | 0 | 1 | 4 | 2 | 2 | 4 | 1 | 2 | 0 | 0 | 0 | 0 | 2 | 1 | 1 | 20 |

(continúa)



Tabla 3. Distribución de casos nuevos de cáncer por grupos quinquenales de edad según localización primaria, mujeres, INC, Colombia, 2013.

| Localización primaria | 0-4 | 5-9 | 10-14 | 15-19 | 20-24 | 25-29 | 30-34 | 35-39 | 40-44 | 45-49 | 50-54 | 55-59 | 60-64 | 65-69 | 70-74 | 75+ | Total |
|--|-----------|-----------|-----------|-----------|-----------|------------|------------|------------|------------|------------|------------|------------|------------|------------|------------|------------|--------------|
| C41 Huesos y articulaciones de otras localizaciones | 1 | 2 | 0 | 1 | 1 | 0 | 0 | 0 | 0 | 0 | 0 | 1 | 0 | 2 | 0 | 2 | 10 |
| C42 Sistema hematopoyético y reticuloendotelial | 11 | 11 | 7 | 9 | 8 | 4 | 1 | 4 | 4 | 9 | 7 | 18 | 8 | 6 | 11 | 10 | 128 |
| C44 Piel | 0 | 0 | 2 | 5 | 3 | 7 | 3 | 12 | 21 | 41 | 62 | 63 | 67 | 76 | 91 | 326 | 779 |
| C47 Nervios periféricos y SNA | 0 | 0 | 0 | 0 | 0 | 0 | 0 | 0 | 0 | 0 | 0 | 1 | 0 | 0 | 0 | 0 | 1 |
| C48 Retroperitoneo y peritoneo | 1 | 1 | 0 | 0 | 0 | 0 | 0 | 0 | 1 | 2 | 2 | 2 | 2 | 1 | 2 | 0 | 14 |
| C49 Tejidos conjuntivo, subcutáneo y otros tejidos blandos | 0 | 1 | 4 | 5 | 2 | 1 | 2 | 4 | 2 | 5 | 6 | 3 | 3 | 5 | 3 | 3 | 49 |
| C50 Mama | 0 | 0 | 0 | 0 | 4 | 5 | 16 | 35 | 52 | 106 | 84 | 101 | 94 | 85 | 52 | 74 | 708 |
| C51 Vulva | 0 | 0 | 0 | 0 | 1 | 0 | 0 | 0 | 0 | 0 | 6 | 1 | 2 | 4 | 2 | 6 | 22 |
| C52 Vagina | 1 | 0 | 0 | 0 | 0 | 1 | 1 | 0 | 1 | 1 | 1 | 8 | 3 | 2 | 2 | 5 | 26 |
| C53 Cuello del útero | 1 | 0 | 0 | 0 | 6 | 27 | 36 | 47 | 51 | 83 | 58 | 60 | 43 | 30 | 18 | 23 | 483 |
| C54 Cuerpo del útero | 0 | 0 | 1 | 0 | 1 | 0 | 0 | 2 | 3 | 9 | 18 | 20 | 23 | 20 | 15 | 16 | 128 |
| C55 Útero, SAI | 0 | 0 | 0 | 0 | 0 | 0 | 1 | 0 | 2 | 2 | 3 | 2 | 4 | 1 | 0 | 0 | 15 |
| C56 Ovario | 0 | 0 | 2 | 3 | 8 | 3 | 2 | 5 | 5 | 17 | 21 | 15 | 13 | 7 | 11 | 7 | 119 |
| C58 Placenta | 0 | 0 | 0 | 0 | 0 | 1 | 0 | 0 | 0 | 0 | 0 | 0 | 0 | 0 | 0 | 0 | 1 |
| C64 Riñón | 2 | 2 | 0 | 0 | 0 | 0 | 0 | 1 | 0 | 5 | 8 | 6 | 6 | 2 | 2 | 4 | 38 |
| C67 Vejiga | 0 | 0 | 0 | 0 | 0 | 1 | 0 | 1 | 0 | 1 | 1 | 1 | 3 | 3 | 3 | 4 | 18 |
| C68 Otras localizaciones del aparato urinario | 0 | 0 | 0 | 0 | 0 | 0 | 0 | 0 | 0 | 0 | 0 | 1 | 1 | 0 | 0 | 1 | 3 |
| C69 Ojos y anexos | 13 | 2 | 0 | 0 | 1 | 2 | 0 | 2 | 3 | 0 | 3 | 5 | 3 | 1 | 1 | 7 | 43 |
| C70 Meninges | 0 | 0 | 0 | 0 | 0 | 0 | 0 | 0 | 2 | 1 | 1 | 0 | 0 | 1 | 2 | 0 | 7 |
| C71 Encéfalo | 5 | 2 | 2 | 5 | 4 | 1 | 2 | 3 | 3 | 3 | 5 | 6 | 3 | 0 | 4 | 2 | 50 |
| C72 Médula espinal, nervios craneales del SNC | 0 | 0 | 0 | 0 | 0 | 0 | 0 | 0 | 0 | 0 | 0 | 1 | 0 | 1 | 1 | 0 | 3 |
| C73 Glándula tiroideas | 0 | 1 | 2 | 4 | 10 | 30 | 26 | 33 | 28 | 48 | 53 | 68 | 35 | 16 | 15 | 18 | 387 |
| C74 Glándula suprarrenal | 0 | 0 | 0 | 0 | 0 | 1 | 1 | 0 | 0 | 0 | 2 | 0 | 1 | 0 | 0 | 0 | 5 |
| C75 Otras glándulas endocrinas | 0 | 0 | 0 | 0 | 0 | 1 | 0 | 1 | 0 | 0 | 0 | 1 | 0 | 2 | 0 | 0 | 5 |
| C77 Ganglios linfáticos | 4 | 2 | 5 | 2 | 2 | 3 | 5 | 5 | 5 | 7 | 10 | 8 | 11 | 10 | 3 | 11 | 93 |
| C80 Localización primaria desconocida | 0 | 0 | 1 | 1 | 0 | 2 | 0 | 2 | 6 | 1 | 12 | 1 | 4 | 18 | 10 | 13 | 71 |
| Total | 43 | 26 | 28 | 44 | 56 | 101 | 110 | 170 | 214 | 389 | 425 | 474 | 404 | 363 | 330 | 679 | 3.856 |

Fuente: Registro Institucional de Cáncer, INC.

Tabla 4. Distribución de casos nuevos de cáncer en niños, por grupos de edad, según grupos diagnósticos (ICCC-3)*, INC, Colombia, 2013.

| Grupos diagnósticos para pediatría | (0 - 4) | | (5 - 9) | | (10 - 14) | | (15 - 17) | | Total | |
|--|-----------|-------------|-----------|-------------|-----------|-------------|-----------|------------|-----------|-------------|
| | No. | % | No. | % | No. | % | No. | % | No. | % |
| I. Leucemias, enfermedades mieloproliferativas y síndromes mielodisplásicos | | | | | | | | | | |
| a. Leucemias linfocíticas | 14 | 17,9 | 16 | 26,2 | 12 | 17,4 | 5 | 0,1 | 47 | 18,1 |
| b. Leucemias mieloides agudas | 2 | 2,6 | 6 | 9,8 | 3 | 4,3 | 2 | 0,0 | 13 | 5,0 |
| c. Enfermedades mieloproliferativas crónicas | 0 | 0,0 | 0 | 0,0 | 2 | 2,9 | 0 | 0,0 | 2 | 0,8 |
| e. Leucemias específicas y otras no específicas | 1 | 1,3 | 1 | 1,6 | 2 | 2,9 | 0 | 0,0 | 4 | 1,5 |
| Total I | 17 | 21,8 | 23 | 37,7 | 19 | 27,5 | 7 | 0,1 | 66 | 25,4 |
| II. Linfomas y neoplasias reticuloendoteliales | | | | | | | | | | |
| a. Linfomas Hodgkin | 2 | 2,6 | 4 | 6,6 | 7 | 10,1 | 3 | 0,1 | 16 | 6,2 |
| b. Linfoma no Hodgkin | 1 | 1,3 | 2 | 3,3 | 3 | 4,3 | 3 | 0,1 | 9 | 3,5 |
| c. Linfoma de Burkitt | 4 | 5,1 | 3 | 4,9 | 3 | 4,3 | 0 | 0,0 | 10 | 3,8 |
| d. Neoplasias linfocíticas mixtas | 1 | 1,3 | 3 | 4,9 | 1 | 1,4 | 0 | 0,0 | 5 | 1,9 |
| Total II | 8 | 10,3 | 12 | 19,7 | 14 | 20,3 | 6 | 0,1 | 40 | 15,4 |
| III. Neoplasias del SNC, intracraniales e intraespinales mixtas | | | | | | | | | | |
| a. Ependimomas y tumores del plexo coroideo | 2 | 2,6 | 1 | 1,6 | 2 | 2,9 | 0 | 0,0 | 5 | 1,9 |
| b. Astrocitomas | 1 | 1,3 | 2 | 3,3 | 0 | 0,0 | 1 | 0,0 | 4 | 1,5 |
| c. Tumores embrionarios intracraniales e intraespinales | 3 | 3,8 | 1 | 1,6 | 2 | 2,9 | 0 | 0,0 | 6 | 2,3 |
| d. Otros gliomas | 1 | 1,3 | 0 | 0,0 | 0 | 0,0 | 0 | 0,0 | 1 | 0,4 |
| e. Otras neoplasias intracraniales e intraespinales especificadas | 0 | 0,0 | 0 | 0,0 | 1 | 1,4 | 0 | 0,0 | 1 | 0,4 |
| f. Neoplasias intracraniales e intraespinales no especificadas | 0 | 0,0 | 0 | 0,0 | 1 | 1,4 | 0 | 0,0 | 1 | 0,4 |
| Total III | 7 | 9,0 | 4 | 6,6 | 6 | 8,7 | 1 | 0,0 | 18 | 6,9 |
| IV. Neuroblastoma y otros tumores de células nerviosas periféricas | | | | | | | | | | |
| a. Neuroblastoma y ganglioneuroblastoma | 4 | 5,1 | 0 | 0,0 | 1 | 1,4 | 0 | 0,0 | 5 | 1,9 |
| Total IV | 4 | 5,1 | 0 | 0,0 | 1 | 1,4 | 0 | 0,0 | 5 | 1,9 |
| V. Retinoblastoma | | | | | | | | | | |
| a. Retinoblastoma | 18 | 23,1 | 2 | 3,3 | 0 | 0,0 | 0 | 0,0 | 20 | 7,7 |
| Total V | 18 | 23,1 | 2 | 3,3 | 0 | 0,0 | 0 | 0,0 | 20 | 7,7 |

(continúa)



Tabla 4. Distribución de casos nuevos de cáncer en niños, por grupos de edad, según grupos diagnósticos (ICCC-3)*, INC, Colombia, 2013.

| Grupos diagnósticos para pediatría | | (0 - 4) | | (5 - 9) | | (10 - 14) | | (15 - 17) | | Total | |
|--|--|-----------|-------------|----------|------------|-----------|-------------|-----------|------------|-----------|-------------|
| | | No. | % | No. | % | No. | % | No. | % | No. | % |
| VI. Tumores renales | | 10 | 12,8 | 2 | 3,3 | 0 | 0,0 | 0 | 0,0 | 12 | 4,6 |
| a. Nefroblastoma y tumores renales no epiteliales | | | | | | | | | | | |
| Total VI | | 10 | 12,8 | 2 | 3,3 | 0 | 0,0 | 0 | 0,0 | 12 | 4,6 |
| VII. Tumores hepáticos | | 2 | 2,6 | 0 | 0,0 | 0 | 0,0 | 0 | 0,0 | 2 | 0,8 |
| a. Hepatoblastoma | | | | | | | | | | | |
| b. Carcinoma hepático | | 0 | 0,0 | 2 | 3,3 | 0 | 0,0 | 1 | 0,0 | 3 | 1,2 |
| Total VII | | 2 | 2,6 | 2 | 3,3 | 0 | 0,0 | 1 | 0,0 | 5 | 1,9 |
| VIII. Tumores óseos malignos | | 0 | 0,0 | 3 | 4,9 | 7 | 10,1 | 11 | 0,2 | 21 | 8,1 |
| a. Osteosarcomas | | | | | | | | | | | |
| c. Tumor de Ewing y sarcomas óseos relacionados | | 0 | 0,0 | 2 | 3,3 | 1 | 1,4 | 3 | 0,1 | 6 | 2,3 |
| d. Tumores óseos malignos especificados | | 0 | 0,0 | 0 | 0,0 | 1 | 1,4 | 0 | 0,0 | 1 | 0,4 |
| e. Tumores óseos malignos no especificados | | 0 | 0,0 | 0 | 0,0 | 0 | 0,0 | 1 | 0,0 | 1 | 0,4 |
| Total VIII | | 0 | 0,0 | 5 | 8,2 | 9 | 13,0 | 15 | 0,3 | 29 | 11,2 |
| IX. Sarcomas de tejidos blandos y otros sarcomas extraóseos | | 5 | 6,4 | 3 | 4,9 | 5 | 7,2 | 3 | 0,1 | 16 | 6,2 |
| a. Rabdomiosarcomas | | | | | | | | | | | |
| b. Fibrosarcomas, tumores de nervios periféricos y otras neoplasias fibrosas | | 0 | 0,0 | 0 | 0,0 | 0 | 0,0 | 1 | 0,0 | 1 | 0,4 |
| d. Otros sarcomas de tejidos blandos especificados | | 1 | 1,3 | 3 | 4,9 | 3 | 4,3 | 1 | 0,0 | 8 | 3,1 |
| e. Sarcomas de tejidos blandos no especificados | | 0 | 0,0 | 0 | 0,0 | 0 | 0,0 | 1 | 0,0 | 1 | 0,4 |
| Total IX | | 6 | 7,7 | 6 | 9,8 | 8 | 11,6 | 6 | 0,1 | 26 | 10,0 |
| X. Tumores de células germinales, tumores trofoblásticos y neoplasias gonadales | | 0 | 0 | 0 | 0,0 | 0 | 0,0 | 3 | 0,1 | 3 | 1,2 |
| a. Tumores de células germinales intracraneales e intraespinales | | | | | | | | | | | |
| b. Tumores de células germinales extragonadales y extracraneales | | 2 | 2,6 | 0 | 0,0 | 2 | 2,9 | 0 | 0,0 | 4 | 1,5 |
| c. Tumores de células germinales gonadales | | 2 | 2,6 | 0 | 0,0 | 2 | 2,9 | 5 | 0,1 | 9 | 3,5 |
| e. Otros tumores malignos gonadales y no especificados | | 0 | 0,0 | 1 | 1,6 | 0 | 0,0 | 0 | 0,0 | 1 | 0,4 |
| Total X | | 4 | 5,1 | 1 | 1,6 | 4 | 5,8 | 8 | 0,2 | 17 | 6,5 |

(continúa)

Tabla 4. Distribución de casos nuevos de cáncer en niños, por grupos de edad, según grupos diagnósticos (ICCC-3)*, INC, Colombia, 2013.

| Grupos diagnósticos para pediatría | (0 - 4) | | (5 - 9) | | (10 - 14) | | (15 - 17) | | Total | |
|---|-----------|------------|-----------|------------|-----------|-------------|-----------|------------|------------|------------|
| | No. | % | No. | % | No. | % | No. | % | No. | % |
| XI. Otras neoplasias epiteliales malignas y melanoma maligno | | | | | | | | | | |
| b. Carcinoma de tiroides | 0 | 0,0 | 1 | 1,6 | 2 | 2,9 | 1 | 0,0 | 4 | 1,5 |
| d. Melanomas malignos | 0 | 0,0 | 0 | 0,0 | 2 | 2,9 | 0 | 0,0 | 2 | 0,8 |
| e. Carcinomas de la piel | 0 | 0,0 | 2 | 3,3 | 2 | 2,9 | 2 | 0,0 | 6 | 2,3 |
| f. Otros carcinomas y los no especificados | 2 | 2,6 | 1 | 1,6 | 2 | 2,9 | 4 | 0,1 | 9 | 3,5 |
| Total XI | 2 | 2,6 | 4 | 6,6 | 8 | 11,6 | 7 | 0,1 | 21 | 8,1 |
| b. Otros tumores malignos no especificados | 0 | 0,0 | 0 | 0,0 | 0 | 0,0 | 1 | 0,0 | 1 | 0,4 |
| Total XII | 0 | 0,0 | 0 | 0,0 | 0 | 0,0 | 1 | 0,0 | 1 | 0,4 |
| Total | 78 | 100 | 61 | 100 | 69 | 100 | 52 | 1 | 260 | 100 |

* ICCC-3: Clasificación internacional para cáncer en niños, tercera revisión.

Fuente: Registro Institucional de Cáncer, INC.

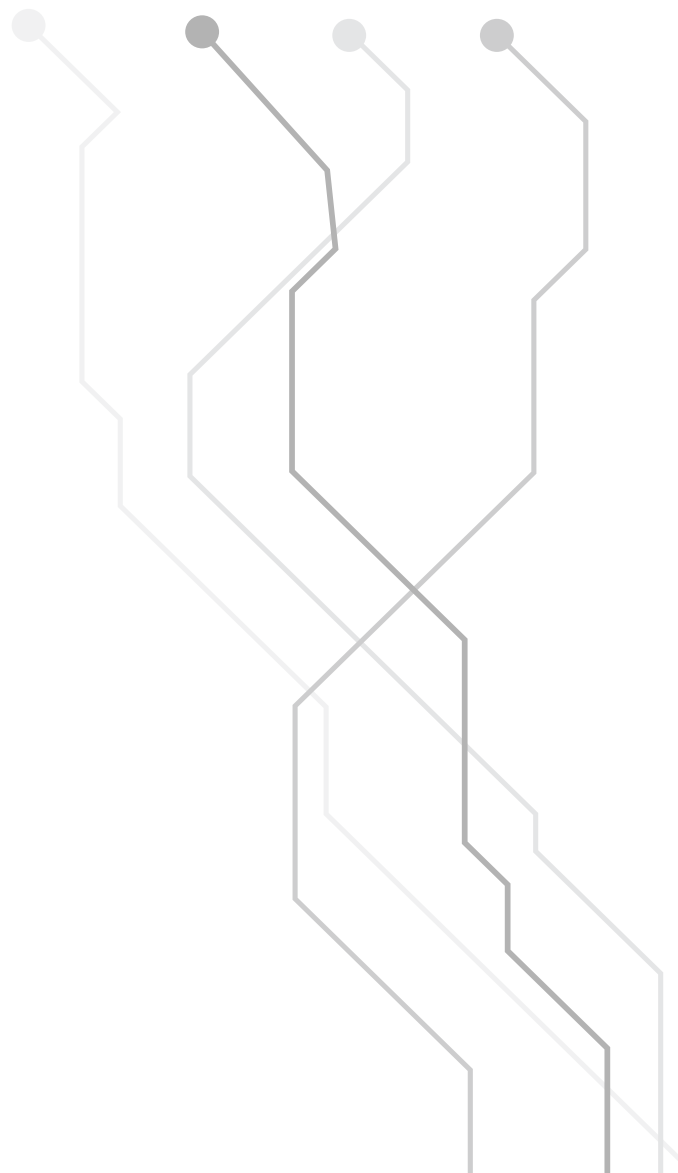


Tabla 5. Distribución de casos nuevos de cáncer por base de diagnóstico, según localización primaria, INC, Colombia, 2013.

| Localización primaria | Solo clínico | Exploración clínica | Pruebas específicas | Citología | Histología de metástasis | Histología del tumor primario | Total |
|--|--------------|---------------------|---------------------|-----------|--------------------------|-------------------------------|-------|
| C01 Base de la lengua | 0 | 0 | 0 | 0 | 0 | 3 | 3 |
| C02 Otras partes de la lengua | 0 | 0 | 0 | 0 | 1 | 22 | 23 |
| C03 Encía | 0 | 0 | 0 | 0 | 0 | 3 | 3 |
| C04 Suelo de la boca | 0 | 0 | 0 | 0 | 0 | 3 | 3 |
| C05 Paladar | 0 | 0 | 0 | 0 | 0 | 5 | 5 |
| C06 Otras partes de la boca | 0 | 0 | 0 | 0 | 0 | 8 | 8 |
| C07 Glándula parótida | 0 | 0 | 0 | 0 | 0 | 19 | 19 |
| C08 Otras glándulas salivares mayores | 0 | 0 | 0 | 0 | 0 | 5 | 5 |
| C09 Amígdala | 0 | 0 | 0 | 0 | 0 | 13 | 13 |
| C10 Orofaringe | 0 | 0 | 0 | 0 | 0 | 9 | 9 |
| C11 Nasofaringe | 0 | 0 | 0 | 0 | 0 | 12 | 12 |
| C13 Hipofaringe | 0 | 0 | 0 | 0 | 0 | 4 | 4 |
| C14 Otras localizaciones de labio, cavidad bucal y faringe | 0 | 0 | 0 | 0 | 0 | 3 | 3 |
| C15 Esófago | 0 | 0 | 0 | 0 | 0 | 75 | 75 |
| C16 Estómago | 0 | 0 | 0 | 0 | 1 | 417 | 418 |
| C17 Intestino delgado | 0 | 0 | 0 | 0 | 1 | 19 | 20 |
| C18 Colon | 0 | 0 | 0 | 0 | 0 | 226 | 226 |
| C19 Unión rectosigmoidea | 0 | 0 | 0 | 0 | 0 | 17 | 17 |
| C20 Recto | 0 | 0 | 0 | 0 | 1 | 161 | 162 |
| C21 Ano y canal anal | 0 | 0 | 0 | 0 | 1 | 21 | 22 |
| C22 Hígado y vías biliares intrahepáticas | 0 | 0 | 0 | 0 | 1 | 23 | 24 |
| C23 Vesícula biliar | 0 | 0 | 0 | 0 | 0 | 33 | 33 |
| C24 Otras partes de las vías biliares | 0 | 0 | 0 | 0 | 0 | 10 | 10 |
| C25 Páncreas | 0 | 1 | 0 | 0 | 2 | 66 | 69 |
| C26 Otras localizaciones del aparato digestivo | 0 | 0 | 0 | 0 | 0 | 3 | 3 |
| C30 Fosa nasal y oído medio | 0 | 0 | 0 | 0 | 0 | 6 | 6 |
| C31 Senos accesorios | 0 | 0 | 0 | 0 | 0 | 10 | 10 |
| C32 Laringe | 0 | 0 | 0 | 0 | 0 | 30 | 30 |
| C34 Bronquios y pulmón | 0 | 1 | 0 | 0 | 1 | 119 | 121 |
| C37 Timo | 0 | 0 | 0 | 0 | 0 | 10 | 10 |
| C38 Corazón, mediastino y pleura | 0 | 0 | 0 | 0 | 0 | 30 | 30 |
| C40 Huesos y articulaciones de las extremidades | 0 | 0 | 0 | 0 | 1 | 62 | 63 |
| C41 Huesos y articulaciones de otras localizaciones | 0 | 0 | 0 | 0 | 0 | 27 | 27 |
| C42 Sistema hematopoyético y reticuloendotelial | 0 | 1 | 0 | 0 | 4 | 282 | 287 |
| C44 Piel | 0 | 0 | 0 | 0 | 5 | 1.457 | 1.462 |
| C47 Nervios periféricos y SNA | 0 | 0 | 0 | 0 | 0 | 2 | 2 |

[continúa]

Tabla 5. Distribución de casos nuevos de cáncer por base de diagnóstico, según localización primaria, INC, Colombia, 2013.

| Localización primaria | Solo clínico | Exploración clínica | Pruebas específicas | Citología | Histología de metástasis | Histología del tumor primario | Total |
|--|--------------|---------------------|---------------------|-----------|--------------------------|-------------------------------|--------------|
| C48 Retroperitoneo y peritoneo | 0 | 0 | 0 | 0 | 0 | 30 | 30 |
| C49 Tejidos conjuntivo, subcutáneo y otros tejidos blandos | 0 | 0 | 0 | 0 | 1 | 95 | 96 |
| C50 Mama | 0 | 1 | 0 | 0 | 7 | 703 | 711 |
| C51 Vulva | 0 | 0 | 0 | 0 | 0 | 22 | 22 |
| C52 Vagina | 0 | 0 | 0 | 0 | 0 | 26 | 26 |
| C53 Cuello del útero | 0 | 0 | 0 | 0 | 2 | 481 | 483 |
| C54 Cuerpo del útero | 0 | 0 | 0 | 0 | 2 | 126 | 128 |
| C55 Útero, SAI | 0 | 0 | 0 | 0 | 0 | 15 | 15 |
| C56 Ovario | 0 | 0 | 0 | 0 | 0 | 119 | 119 |
| C58 Placenta | 0 | 0 | 0 | 0 | 0 | 1 | 1 |
| C60 Pene | 0 | 0 | 0 | 0 | 0 | 26 | 26 |
| C61 Glándula prostática | 0 | 1 | 0 | 0 | 1 | 532 | 534 |
| C62 Testículo | 0 | 0 | 0 | 0 | 0 | 52 | 52 |
| C63 Otras localizaciones aparato genital masculino | 0 | 0 | 0 | 0 | 0 | 2 | 2 |
| C64 Riñón | 0 | 0 | 0 | 0 | 3 | 84 | 87 |
| C66 Uréter | 0 | 0 | 0 | 0 | 0 | 1 | 1 |
| C67 Vejiga | 0 | 0 | 0 | 0 | 1 | 67 | 68 |
| C68 Otras localizaciones del aparato urinario | 0 | 0 | 0 | 0 | 0 | 4 | 4 |
| C69 Ojos y anexos | 0 | 0 | 0 | 0 | 1 | 92 | 93 |
| C70 Meninges | 0 | 1 | 0 | 0 | 0 | 7 | 8 |
| C71 Encéfalo | 0 | 0 | 0 | 0 | 0 | 94 | 94 |
| C72 Médula espinal, nervios craneales del SNC | 0 | 0 | 0 | 0 | 1 | 3 | 4 |
| C73 Glándula tiroides | 0 | 0 | 0 | 0 | 2 | 443 | 445 |
| C74 Glándula suprarrenal | 0 | 0 | 0 | 0 | 0 | 7 | 7 |
| C75 Otras glándulas endocrinas | 0 | 0 | 0 | 0 | 0 | 8 | 8 |
| C77 Ganglios linfáticos | 0 | 1 | 0 | 0 | 12 | 204 | 217 |
| C80 Localización primaria desconocida | 0 | 2 | 0 | 0 | 64 | 43 | 109 |
| Total | 0 | 9 | 0 | 0 | 116 | 6.502 | 6.627 |

Fuente: Registro Institucional de Cáncer, INC.

Tabla 6. Distribución de casos nuevos de cáncer por sexo, según localización primaria y diagnóstico histológico, INC, Colombia, 2013.

| CIEO-3 | Localización primaria y tipo histológico | Hombres No. | Mujeres No. | Total No. | % |
|--|--|----------------|----------------|--------------|------------|
| C01 Base de la lengua | | | | | |
| | Carcinoma de células escamosas | 0 | 1 | 1 | 33,3 |
| | Adenocarcinoma, SAI | 1 | 0 | 1 | 33,3 |
| | Linfoma de células nkt, nasal y tipo nasal | 0 | 1 | 1 | 33,3 |
| | Total | 1 | 2 | 3 | 100 |
| C02 Otras partes de la lengua | | | | | |
| | Carcinoma de células escamosas | 11 | 12 | 23 | 100 |
| | Total | 11 | 12 | 23 | 100 |
| C03 Encía | | | | | |
| | Carcinoma de células escamosas | 0 | 3 | 3 | 100 |
| | Total | 0 | 3 | 3 | 100 |
| C04 Suelo de la boca | | | | | |
| | Carcinoma de células escamosas | 2 | 0 | 2 | 66,6 |
| | Carcinoma quístico adenoide | 0 | 1 | 1 | 33,3 |
| | Total | 2 | 1 | 3 | 100 |
| C05 Paladar | | | | | |
| | Carcinoma de células escamosas | 4 | 0 | 4 | 80,0 |
| | Linfoma de células T maduras | 0 | 1 | 1 | 20,0 |
| | Total | 4 | 1 | 5 | 100 |
| C06 Otras partes de la boca | | | | | |
| | Carcinoma de células escamosas | 3 | 3 | 6 | 75,0 |
| | Carcinoma de células acinosas | 1 | 0 | 1 | 12,5 |
| | Sarcoma de Kaposi | 1 | 0 | 1 | 12,5 |
| | Total | 5 | 3 | 8 | 100 |
| C07 Glándula parótida | | | | | |
| | Neoplasia, maligna | 1 | 0 | 1 | 5,3 |
| | Carcinoma, SAI | 0 | 1 | 1 | 5,3 |
| | Carcinoma de células grandes, SAI | 0 | 1 | 1 | 5,3 |
| | Carcinoma de células escamosas | 4 | 2 | 6 | 31,6 |
| | Carcinoma linfoepitelial | 0 | 2 | 2 | 10,5 |
| | Adenocarcinoma, SAI | 0 | 1 | 1 | 5,3 |
| | Carcinoma quístico adenoide | 1 | 1 | 2 | 10,5 |
| | Carcinoma mucoepidermoide | 1 | 1 | 2 | 10,5 |
| | Carcinoma epitelial - mioepitelial | 0 | 1 | 1 | 5,3 |
| | Mioepitelioma maligno | 0 | 1 | 1 | 5,3 |
| | Linfoma anáplasio de células grandes, tipo células t y células nulas | 0 | 1 | 1 | 5,3 |
| | Total | 7 | 12 | 19 | 100 |
| C08 Otras glándulas salivares mayores | | | | | |
| | Carcinoma de células escamosas | 1 | 0 | 1 | 20,0 |
| | Adenocarcinoma, SAI | 1 | 1 | 2 | 40,0 |

(continúa)

Tabla 6. Distribución de casos nuevos de cáncer por sexo, según localización primaria y diagnóstico histológico, INC, Colombia, 2013.

| CIEO-3 | Localización primaria y tipo histológico | Hombres | Mujeres | Total | % |
|------------------------|--|-----------|-----------|-----------|------------|
| | | No. | No. | No. | |
| | Carcinoma quístico adenoide | 2 | 0 | 2 | 40,0 |
| | Total | 4 | 1 | 5 | 100 |
| C09 Amígdala | | | | | |
| | Neoplasia, maligna | 0 | 1 | 1 | 7,7 |
| | Carcinoma de células escamosas | 9 | 1 | 10 | 77,0 |
| | Linfoma maligno, no Hodking, SAI | 0 | 1 | 1 | 7,7 |
| | Linfoma maligno, células B grandes, difuso | 1 | 0 | 1 | 7,7 |
| | Total | 10 | 3 | 13 | 100 |
| C10 Orofaringe | | | | | |
| | Carcinoma de células escamosas | 8 | 1 | 9 | 100,0 |
| | Total | 8 | 1 | 9 | 100 |
| C11 Nasofaringe | | | | | |
| | Carcinoma, SAI | 2 | 1 | 3 | 25,0 |
| | Carcinoma de células grandes, SAI | 0 | 1 | 1 | 8,3 |
| | Carcinoma de células escamosas | 4 | 1 | 5 | 41,6 |
| | Carcinoma quístico adenoide | 0 | 1 | 1 | 8,3 |
| | Rabdomiosarcoma embrionario, SAI | 0 | 1 | 1 | 8,3 |
| | Linfoma de células nkt, nasal y tipo nasal | 0 | 1 | 1 | 8,3 |
| | Total | 6 | 6 | 12 | 100 |
| C13 Hipofaringe | | | | | |
| | Carcinoma de células escamosas | 4 | 0 | 4 | 100 |
| | Total | 4 | 0 | 4 | 100 |
| C15 Esófago | | | | | |
| | Neoplasia, maligna | 4 | 1 | 5 | 6,7 |
| | Carcinoma, SAI | 1 | 0 | 1 | 1,3 |
| | Carcinoma de células grandes, SAI | 2 | 0 | 2 | 2,7 |
| | Carcinoma de células escamosas | 25 | 17 | 42 | 56,0 |
| | Adenocarcinoma, SAI | 15 | 7 | 22 | 29,3 |
| | Adenocarcinoma, tipo intestinal | 2 | 0 | 2 | 2,7 |
| | Melanoma maligno, SAI | 0 | 1 | 1 | 1,3 |
| | Total | 49 | 26 | 75 | 100 |
| C16 Estómago | | | | | |
| | Neoplasia, maligna | 9 | 5 | 14 | 3,3 |
| | Tumor maligno tipo células fusiformes | 1 | 0 | 1 | 0,2 |
| | Carcinoma, SAI | 9 | 3 | 12 | 2,9 |
| | Carcinoma de células grandes, SAI | 3 | 0 | 3 | 0,7 |
| | Adenocarcinoma in situ, SAI | 0 | 1 | 1 | 0,2 |
| | Adenocarcinoma, SAI | 44 | 31 | 75 | 17,9 |
| | Adenocarcinoma, tipo intestinal | 106 | 57 | 163 | 39,0 |
| | Carcinoma, tipo difuso | 45 | 55 | 100 | 23,9 |
| | Adenocarcinoma tubular | 3 | 1 | 4 | 1,0 |
| | Carcinoma neuroendocrino | 2 | 1 | 3 | 0,7 |

(continúa)

Tabla 6. Distribución de casos nuevos de cáncer por sexo, según localización primaria y diagnóstico histológico, INC, Colombia, 2013.

| CIEO-3 | Localización primaria y tipo histológico | Hombres | Mujeres | Total | % |
|---------------------------------|---|------------|------------|------------|------------|
| | | No. | No. | No. | |
| | Adenocarcinoma mucinoso | 4 | 3 | 7 | 1,7 |
| | Carcinoma de células en anillo de sello | 10 | 8 | 18 | 4,3 |
| | Leiomioma, SAI | 1 | 0 | 1 | 0,2 |
| | Sarcoma del estroma gastrointestinal (GIST) | 5 | 5 | 10 | 2,4 |
| | Linfoma maligno, células B grandes, difuso | 0 | 4 | 4 | 1,0 |
| | Linfoma de células B de la zona marginal | 1 | 1 | 2 | 0,5 |
| | Total | 243 | 175 | 418 | 100 |
| C17 Intestino delgado | | | | | |
| | Adenocarcinoma, SAI | 5 | 2 | 7 | 35,0 |
| | Adenocarcinoma, tipo intestinal | 2 | 1 | 3 | 15,0 |
| | Carcinoma neuroendocrino, SAI | 1 | 2 | 3 | 15,0 |
| | Sarcoma del estroma gastrointestinal (GIST) | 2 | 2 | 4 | 20,0 |
| | Linfoma maligno, SAI | 0 | 1 | 1 | 5,0 |
| | Linfoma maligno, células B grandes, difuso | 1 | 0 | 1 | 5,0 |
| | Linfoma de células B de la zona marginal | 1 | 0 | 1 | 5,0 |
| | Total | 12 | 8 | 20 | 100 |
| C18 Colon | | | | | |
| | Neoplasia, maligna | 3 | 6 | 9 | 4,0 |
| | Carcinoma, SAI | 1 | 0 | 1 | 0,4 |
| | Carcinoma neuroendocrino, SAI | 1 | 0 | 1 | 0,4 |
| | Adenocarcinoma, SAI | 68 | 93 | 161 | 71,2 |
| | Adenocarcinoma, tipo intestinal | 9 | 9 | 18 | 8,0 |
| | Adenocarcinoma en pólipo adenomatoso | 1 | 0 | 1 | 0,4 |
| | Carcinoma neuroendocrino, SAI | 3 | 3 | 6 | 2,7 |
| | Adenocarcinoma vellosos | 0 | 1 | 1 | 0,4 |
| | Adenocarcinoma mucinoso | 6 | 11 | 17 | 7,5 |
| | Carcinoma de células en anillo de sello | 1 | 5 | 6 | 2,7 |
| | Carcinoma adenoescamoso | 1 | 0 | 1 | 0,4 |
| | Sarcoma, SAI | 0 | 1 | 1 | 0,4 |
| | Leiomioma, SAI | 1 | 1 | 2 | 0,9 |
| | Sarcoma del estroma gastrointestinal (GIST) | 1 | 0 | 1 | 0,4 |
| | Total | 96 | 130 | 226 | 100 |
| C19 Unión rectosigmoidea | | | | | |
| | Adenocarcinoma, SAI | 8 | 5 | 13 | 76,5 |
| | Adenocarcinoma, tipo intestinal | 2 | 1 | 3 | 17,6 |
| | Adenocarcinoma papilar, SAI | 1 | 0 | 1 | 5,9 |
| | Total | 11 | 6 | 17 | 100 |
| C20 Recto | | | | | |
| | Neoplasia, maligna | 6 | 4 | 10 | 6,2 |
| | Carcinoma de células grandes, SAI | 2 | 0 | 2 | 1,2 |
| | Carcinoma neuroendocrino de células grandes | 0 | 1 | 1 | 0,6 |

(continúa)

Tabla 6. Distribución de casos nuevos de cáncer por sexo, según localización primaria y diagnóstico histológico, INC, Colombia, 2013.

| CIEO-3 | Localización primaria y tipo histológico | Hombres | Mujeres | Total | % |
|--|---|-----------|-----------|------------|------------|
| | | No. | No. | No. | |
| | Carcinoma de células escamosas | 1 | 3 | 4 | 2,5 |
| | Carcinoma basaloide | 0 | 1 | 1 | 0,6 |
| | Adenocarcinoma in situ, SAI | 1 | 0 | 1 | 0,6 |
| | Adenocarcinoma, SAI | 69 | 44 | 113 | 69,8 |
| | Adenocarcinoma, tipo intestinal | 10 | 5 | 15 | 9,3 |
| | Adenocarcinoma tubular | 1 | 0 | 1 | 0,6 |
| | Carcinoma neuroendocrino, SAI | 2 | 2 | 4 | 2,5 |
| | Adenocarcinoma in situ en adenoma tubulovelloso | 1 | 0 | 1 | 0,6 |
| | Adenocarcinoma mucinoso | 3 | 3 | 6 | 3,7 |
| | Carcinoma de células en anillo de sello | 2 | 0 | 2 | 1,2 |
| | Linfoma de células del manto | 0 | 1 | 1 | 0,6 |
| | Total | 98 | 64 | 162 | 100 |
| C21 Ano y canal anal | | | | | |
| | Neoplasia intraepitelial escamosa, grado III | 0 | 1 | 1 | 4,5 |
| | Carcinoma de células escamosas | 6 | 13 | 19 | 86,4 |
| | Carcinoma cloacogénico | 0 | 1 | 1 | 4,5 |
| | Linfoma de células T periféricas, SAI | 0 | 1 | 1 | 4,5 |
| | Total | 6 | 16 | 22 | 100 |
| C22 Hígado y vías biliares intrahepáticas | | | | | |
| | Neoplasia, maligna | 1 | 0 | 1 | 4,2 |
| | Adenocarcinoma, SAI | 0 | 2 | 2 | 8,3 |
| | Colangiocarcinoma | 4 | 1 | 5 | 20,8 |
| | Carcinoma hepatocelular | 9 | 3 | 12 | 50,0 |
| | Adenocarcinoma de células claras | 1 | 0 | 1 | 4,2 |
| | Sarcoma, SAI | 1 | 0 | 1 | 4,2 |
| | Hepatoblastoma, SAI | 0 | 2 | 2 | 8,3 |
| | Total | 16 | 8 | 24 | 100 |
| C23 Vesícula biliar | | | | | |
| | Neoplasia, maligna | 1 | 2 | 3 | 9,1 |
| | Carcinoma, SAI | 0 | 1 | 1 | 3,0 |
| | Carcinoma de células grandes, SAI | 1 | 0 | 1 | 3,0 |
| | Carcinoma de células escamosas | 0 | 1 | 1 | 3,0 |
| | Adenocarcinoma in situ, SAI | 0 | 3 | 3 | 9,1 |
| | Adenocarcinoma, SAI | 2 | 19 | 21 | 63,6 |
| | Carcinoma de células en anillo de sello | 0 | 1 | 1 | 3,0 |
| | Carcinoma adenoescamoso | 0 | 2 | 2 | 6,1 |
| | Total | 4 | 29 | 33 | 100 |
| C24 Otras partes de las vías biliares | | | | | |
| | Neoplasia, maligna | 0 | 1 | 1 | 10,0 |
| | Adenocarcinoma, SAI | 2 | 4 | 6 | 60,0 |
| | Adenocarcinoma mucinoso | 0 | 1 | 1 | 10,0 |

(continúa)

Tabla 6. Distribución de casos nuevos de cáncer por sexo, según localización primaria y diagnóstico histológico, INC, Colombia, 2013.

| CIEO-3 | Localización primaria y tipo histológico | Hombres | Mujeres | Total | % |
|---|--|-----------|-----------|-----------|------------|
| | | No. | No. | No. | |
| | Carcinoma de células en anillo de sello | 1 | 1 | 2 | 20,0 |
| | Total | 3 | 7 | 10 | 100 |
| C25 Páncreas | | | | | |
| | Neoplasia, maligna | 8 | 13 | 21 | 30,4 |
| | Carcinoma, SAI | 1 | 2 | 3 | 4,3 |
| | Carcinoma de células grandes, SAI | 0 | 1 | 1 | 1,4 |
| | Carcinoma de células escamosas | 0 | 1 | 1 | 1,4 |
| | Adenocarcinoma, SAI | 7 | 13 | 20 | 29,0 |
| | Glucagonoma maligno | 0 | 1 | 1 | 1,4 |
| | Carcinoma neuroendocrino, SAI | 1 | 6 | 7 | 10,1 |
| | Adenocarcinoma papilar | 0 | 1 | 1 | 1,4 |
| | Cistadenocarcinoma papilar | 0 | 1 | 1 | 1,4 |
| | Adenocarcinoma mucinoso | 2 | 0 | 2 | 2,9 |
| | Carcinoma ductal | 3 | 7 | 10 | 14,5 |
| | Linfoma de células B de la zona marginal | 1 | 0 | 1 | 1,4 |
| | Total | 23 | 46 | 69 | 100 |
| C26 Otras localizaciones del aparato digestivo | | | | | |
| | Liposarcoma, SAI | 1 | 0 | 1 | 33,3 |
| | Linfoma maligno, no Hodgkin, SAI | 1 | 0 | 1 | 33,3 |
| | Linfoma de Burkitt, SAI | 1 | 0 | 1 | 33,3 |
| | Total | 3 | 0 | 3 | 100 |
| C30 Fosa nasal y oído medio | | | | | |
| | Carcinoma de células escamosas | 0 | 2 | 2 | 33,3 |
| | Adenocarcinoma papilar, SAI | 1 | 0 | 1 | 16,7 |
| | Melanoma maligno | 1 | 0 | 1 | 16,7 |
| | Rabdomiosarcoma embrionario, SAI | 1 | 0 | 1 | 16,7 |
| | Neuroblastoma olfatorio | 0 | 1 | 1 | 16,7 |
| | Total | 3 | 3 | 6 | 100 |
| C31 Senos accesorios | | | | | |
| | Carcinoma de células escamosas | 3 | 1 | 4 | 40,0 |
| | Carcinoma quístico adenoide | 0 | 1 | 1 | 10,0 |
| | Carcinoma mucoepidermoide | 0 | 1 | 1 | 10,0 |
| | Neuroblastoma olfatorio | 1 | 0 | 1 | 10,0 |
| | Linfoma maligno, linfoplasmocítico | 1 | 0 | 1 | 10,0 |
| | Plasmacitoma, extramedular | 0 | 1 | 1 | 10,0 |
| | Histiocitosis de células de Langerhans, diseminada | 1 | 0 | 1 | 10,0 |
| | Total | 6 | 4 | 10 | 100 |
| C32 Laringe | | | | | |
| | Neoplasia, maligna | 1 | 0 | 1 | 3,3 |
| | Carcinoma de células escamosas papilares | 0 | 1 | 1 | 3,3 |
| | Carcinoma in situ de células escamosas | 2 | 0 | 2 | 6,7 |

(continúa)

Tabla 6. Distribución de casos nuevos de cáncer por sexo, según localización primaria y diagnóstico histológico, INC, Colombia, 2013.

| CIEO-3 | Localización primaria y tipo histológico | Hombres | Mujeres | Total | % |
|---|---|-----------|-----------|------------|------------|
| | | No. | No. | No. | |
| | Carcinoma de células escamosas | 24 | 2 | 26 | 86,7 |
| | Total | 27 | 3 | 30 | 100 |
| C34 Bronquios y pulmón | | | | | |
| | Neoplasia, maligna | 5 | 5 | 10 | 8,3 |
| | Carcinoma, SAI | 1 | 3 | 4 | 3,3 |
| | Carcinoma de células grandes, SAI | 4 | 0 | 4 | 3,3 |
| | Carcinoma de células pequeñas, SAI | 5 | 0 | 5 | 4,1 |
| | Carcinoma in situ de células escamosas | 1 | 0 | 1 | 0,8 |
| | Carcinoma de células escamosas | 18 | 3 | 21 | 17,4 |
| | Adenocarcinoma, SAI | 29 | 14 | 43 | 35,5 |
| | Tumor carcinoide, SAI | 0 | 2 | 2 | 1,7 |
| | Carcinoma neuroendocrino, SAI | 3 | 3 | 6 | 5,0 |
| | Adenocarcinoma bronquioloalveolar | 0 | 1 | 1 | 0,8 |
| | Carcinoma bronquioloalveolar, mucinoso | 0 | 1 | 1 | 0,8 |
| | Adenocarcinoma papilar, SA | 0 | 3 | 3 | 2,5 |
| | Adenocarcinoma mucinoso | 0 | 1 | 1 | 0,8 |
| | Carcinoma de células acinosas | 6 | 10 | 16 | 13,2 |
| | Sarcoma, SAI | 1 | 0 | 1 | 0,8 |
| | Tumor fibroso solitario, maligno | 1 | 0 | 1 | 0,8 |
| | Linfoma de células nkt, nasal y tipo nasal | 0 | 1 | 1 | 0,8 |
| | Total | 74 | 47 | 121 | 100 |
| C37 Timo | | | | | |
| | Timoma maligno, SAI | 0 | 1 | 1 | 10,0 |
| | Timoma, tipo a, maligno | 1 | 0 | 1 | 10,0 |
| | Timoma, tipo ab, maligno | 1 | 2 | 3 | 30,0 |
| | Timoma, tipo b1, maligno | 1 | 1 | 2 | 20,0 |
| | Timoma, tipo b2, maligno | 2 | 0 | 2 | 20,0 |
| | Linfoma de células B grandes | 0 | 1 | 1 | 10,0 |
| | Total | 5 | 5 | 10 | 100 |
| C38 Corazón, mediastino y pleura | | | | | |
| | Neoplasia, maligna | 1 | 0 | 1 | 3,3 |
| | Carcinoma neuroendocrino, SAI | 1 | 0 | 1 | 3,3 |
| | Sarcoma, SAI | 0 | 1 | 1 | 3,3 |
| | Sarcoma de células gigantes | 1 | 0 | 1 | 3,3 |
| | Mesotelioma, maligno | 12 | 4 | 16 | 53,3 |
| | Germinoma | 2 | 0 | 2 | 6,7 |
| | Ganglioneuroblastoma | 0 | 1 | 1 | 3,3 |
| | Tumor maligno de la vaina del nervio periférico | 1 | 0 | 1 | 3,3 |
| | Linfoma maligno, SAI | 0 | 1 | 1 | 3,3 |
| | Linfoma de Hodgkin, SAI | 3 | 0 | 3 | 10,0 |
| | Linfoma maligno, células B grandes, difuso, SAI | 0 | 1 | 1 | 3,3 |

(continúa)

Tabla 6. Distribución de casos nuevos de cáncer por sexo, según localización primaria y diagnóstico histológico, INC, Colombia, 2013.

| CIEO-3 | Localización primaria y tipo histológico | Hombres No. | Mujeres No. | Total No. | % |
|--|--|----------------|----------------|--------------|------------|
| | Linfoma linfoblástico de células precursoras, SAI | 1 | 0 | 1 | 3,3 |
| | Total | 22 | 8 | 30 | 100 |
| C40 Huesos y articulaciones de las extremidades | | | | | |
| | Tumor maligno tipo células gigantes | 3 | 2 | 5 | 7,9 |
| | Tumor maligno tipo células fusiformes | 1 | 0 | 1 | 1,6 |
| | Sarcoma, SAI | 0 | 1 | 1 | 1,6 |
| | Sarcoma de células fusiformes | 1 | 0 | 1 | 1,6 |
| | Histiocitoma fibroso maligno | 0 | 1 | 1 | 1,6 |
| | Liposarcoma mixoide | 0 | 1 | 1 | 1,6 |
| | Osteosarcoma | 25 | 6 | 31 | 49,2 |
| | Condrosarcoma | 3 | 2 | 5 | 7,9 |
| | Condrioblastoma maligno | 0 | 1 | 1 | 1,6 |
| | Tumor de células gigantes del hueso, maligno | 2 | 1 | 3 | 4,8 |
| | Sarcoma de Ewing | 4 | 1 | 5 | 7,9 |
| | Adamantinoma de huesos largos | 0 | 3 | 3 | 4,8 |
| | Linfoma maligno, células B grandes, difuso, SAI | 2 | 1 | 3 | 4,8 |
| | Plasmocitoma, SAI | 2 | 0 | 2 | 3,2 |
| | Total | 43 | 20 | 63 | 100 |
| C41 Huesos y articulaciones de otras localizaciones | | | | | |
| | Tumor maligno tipo células gigantes | 0 | 1 | 1 | 3,7 |
| | Tumor maligno tipo células fusiformes | 0 | 1 | 1 | 3,7 |
| | Sarcoma, SAI | 0 | 1 | 1 | 3,7 |
| | Sarcoma sinovial | 1 | 0 | 1 | 3,7 |
| | Tumor del saco embrionario | 0 | 1 | 1 | 3,7 |
| | Hemangiosarcoma | 0 | 1 | 1 | 3,7 |
| | Osteosarcoma | 2 | 0 | 2 | 7,4 |
| | Condrosarcoma | 7 | 1 | 8 | 29,6 |
| | Tumor de células gigantes del hueso, maligno | 1 | 0 | 1 | 3,7 |
| | Sarcoma de Ewing | 3 | 1 | 4 | 14,8 |
| | Tumor odontogénico, maligno | 1 | 0 | 1 | 3,7 |
| | Cordoma, SAI | 1 | 0 | 1 | 3,7 |
| | Plasmocitoma, SAI | 0 | 1 | 1 | 3,7 |
| | Histiocitosis de células de Langerhans, diseminada | 1 | 2 | 3 | 11,1 |
| | Total | 17 | 10 | 27 | 100 |
| C42 Sistema hematopoyético y reticuloendotelial | | | | | |
| | Linfoma maligno, no Hodgkin, SAI | 3 | 1 | 4 | 1,4 |
| | Linfoma de Hodgkin, SAI | 1 | 0 | 1 | 0,3 |
| | Linfoma maligno, linfocítico, células B pequeñas | 2 | 2 | 4 | 1,4 |

(continúa)

Tabla 6. Distribución de casos nuevos de cáncer por sexo, según localización primaria y diagnóstico histológico, INC, Colombia, 2013.

| CIEO-3 | Localización primaria y tipo histológico | Hombres | Mujeres | Total | % |
|-----------------|---|------------|------------|------------|------------|
| | | No. | No. | No. | |
| | Linfoma de células del manto | 1 | 2 | 3 | 1,0 |
| | Linfoma maligno, células B grandes, difuso | 2 | 1 | 3 | 1,0 |
| | Linfoma de Burkitt, SAI | 1 | 0 | 1 | 0,3 |
| | Linfoma esplénico de células B de la zona marginal | 0 | 2 | 2 | 0,7 |
| | Plasmocitoma, SAI | 1 | 0 | 1 | 0,3 |
| | Mieloma múltiple | 24 | 32 | 56 | 19,5 |
| | Leucemia de células plasmáticas | 0 | 1 | 1 | 0,3 |
| | Histiocitosis de células de Langerhans, diseminada | 0 | 1 | 1 | 0,3 |
| | Leucemia, SAI | 2 | 0 | 2 | 0,7 |
| | Leucemia aguda , SAI | 5 | 2 | 7 | 2,4 |
| | Leucemia linfocítica crónica de células B / linfoma linfocítico pequeño | 8 | 6 | 14 | 4,9 |
| | Leucemia de células de burkitt | 1 | 1 | 2 | 0,7 |
| | Leucemia / linfoma de células T del adulto | 1 | 0 | 1 | 0,3 |
| | Leucemia linfocítica granular de células T grandes | 1 | 0 | 1 | 0,3 |
| | Leucemia linfoblástica de células precursoras | 41 | 44 | 85 | 29,6 |
| | Leucemia mieloide aguda | 14 | 14 | 28 | 9,8 |
| | Leucemia mieloide crónica | 15 | 6 | 21 | 7,3 |
| | Leucemia promielocítica aguda | 3 | 0 | 3 | 1,0 |
| | Leucemia mieloide aguda con eosinofilia anormal de la médula | 1 | 0 | 1 | 0,3 |
| | Leucemia mielogenosa crónica, BRC ABL positivo | 7 | 2 | 9 | 3,1 |
| | Leucemia monocítica aguda | 1 | 0 | 1 | 0,3 |
| | Leucemia mieloide aguda | 6 | 6 | 12 | 4,2 |
| | Leucemia de células pilosas | 8 | 1 | 9 | 3,1 |
| | Leucemia mielomonocítica crónica | 1 | 0 | 1 | 0,3 |
| | Policitemia vera | 1 | 1 | 2 | 0,7 |
| | Enfermedad mieloproliferativa crónica | 1 | 0 | 1 | 0,3 |
| | Trombocitemia esencial | 0 | 1 | 1 | 0,3 |
| | Anemia refractaria | 1 | 0 | 1 | 0,3 |
| | Síndrome mielodisplásico | 6 | 2 | 8 | 2,8 |
| | Total | 159 | 128 | 287 | 100 |
| C44 Piel | | | | | |
| | Neoplasia, maligna | 1 | 0 | 1 | 0,1 |
| | Carcinoma verrugoso, SAI | 0 | 1 | 1 | 0,1 |
| | Carcinoma in situ de células escamosas | 24 | 34 | 58 | 4,0 |
| | Carcinoma de células escamosas | 120 | 81 | 201 | 13,7 |
| | Enfermedad de Bowen | 4 | 1 | 5 | 0,3 |
| | Carcinoma de células basales | 404 | 511 | 915 | 62,6 |

(continúa)

Tabla 6. Distribución de casos nuevos de cáncer por sexo, según localización primaria y diagnóstico histológico, INC, Colombia, 2013.

| CIEO-3 | Localización primaria y tipo histológico | Hombres | Mujeres | Total | % |
|------------|--|------------|------------|--------------|------------|
| | | No. | No. | No. | |
| | Carcinoma basoescamoso | 6 | 7 | 13 | 0,9 |
| | Carcinoma quístico adenoide | 1 | 2 | 3 | 0,2 |
| | Carcinoma de células de Merkel | 4 | 3 | 7 | 0,5 |
| | Hidradenoma nodular, maligno | 1 | 1 | 2 | 0,1 |
| | Carcinoma ductal esclerosante de las glándulas sudoríparas | 0 | 2 | 2 | 0,1 |
| | Poroma ecrino, maligno | 1 | 0 | 1 | 0,1 |
| | Adenocarcinoma sebáceo | 3 | 1 | 4 | 0,3 |
| | Enfermedad de paget extramamaria | 1 | 0 | 1 | 0,1 |
| | Carcinoma adenoescamoso | 3 | 0 | 3 | 0,2 |
| | Melanoma in situ | 18 | 39 | 57 | 3,9 |
| | Melanoma maligno | 50 | 78 | 128 | 8,8 |
| | Sarcoma de células fusiformes | 1 | 0 | 1 | 0,1 |
| | Sarcoma de células gigantes | 1 | 0 | 1 | 0,1 |
| | Histiocitoma fibroso maligno | 1 | 2 | 3 | 0,2 |
| | Dermatofibrosarcoma | 3 | 4 | 7 | 0,5 |
| | Leiomiomasarcoma | 3 | 2 | 5 | 0,3 |
| | Rabdomiosarcoma embrionario, SAI | 1 | 0 | 1 | 0,1 |
| | Hemangiosarcoma | 0 | 1 | 1 | 0,1 |
| | Sarcoma de Kaposi | 15 | 1 | 16 | 1,1 |
| | Hemangiopericitoma, maligno | 2 | 0 | 2 | 0,1 |
| | Linfoma maligno, SAI | 0 | 1 | 1 | 0,1 |
| | Linfoma maligno, no Hodgkin, SAI | 1 | 0 | 1 | 0,1 |
| | Linfoma maligno, células B grandes, difuso | 0 | 1 | 1 | 0,1 |
| | Linfoma folicular, SAI | 0 | 1 | 1 | 0,1 |
| | Micosis fungoide | 11 | 1 | 12 | 0,8 |
| | Linfoma de células T maduras, SAI | 0 | 1 | 1 | 0,1 |
| | Linfoma cutáneo de células T, SAI | 2 | 0 | 2 | 0,1 |
| | Trastorno linfoproliferativo de células t cd30+, cutáneo primario | 0 | 1 | 1 | 0,1 |
| | Total | 683 | 779 | 1.462 | 100 |
| C47 | Nervios periféricos y SNA | | | | |
| | Tumor maligno de la vaina del nervio periférico, con diferenciación rabdomioblástica | 1 | 0 | 1 | 50,0 |
| | Linfoma maligno, no hodgkin, SAI | 0 | 1 | 1 | 50,0 |
| | Total | 1 | 1 | 2 | 100 |
| C48 | Retroperitoneo y peritoneo | | | | |
| | Neoplasia, maligna | 0 | 1 | 1 | 3,3 |
| | Adenocarcinoma seroso, SAI | 0 | 1 | 1 | 3,3 |
| | Sarcoma, SAI | 2 | 0 | 2 | 6,7 |
| | Sarcoma de células fusiformes | 0 | 2 | 2 | 6,7 |
| | Liposarcoma | 5 | 4 | 9 | 30,0 |
| | Leiomiomasarcoma | 2 | 3 | 5 | 16,7 |

(continúa)

Tabla 6. Distribución de casos nuevos de cáncer por sexo, según localización primaria y diagnóstico histológico, INC, Colombia, 2013.

| CIEO-3 | Localización primaria y tipo histológico | Hombres | Mujeres | Total | % |
|---|---|-----------|-----------|-----------|------------|
| | | No. | No. | No. | |
| | Rabdomiosarcoma embrionario, SAI | 0 | 1 | 1 | 3,3 |
| | Germinoma | 2 | 0 | 2 | 6,7 |
| | Ganglioneuroblastoma | 2 | 0 | 2 | 6,7 |
| | Linfoma maligno, células B grandes, difuso, SAI | 2 | 1 | 3 | 10,0 |
| | Linfoma de Burkitt, SAI | 1 | 0 | 1 | 3,3 |
| | Linfoma folicular, SAI | 0 | 1 | 1 | 3,3 |
| | Total | 16 | 14 | 30 | 100 |
| C49 Tejidos conjuntivo, subcutáneo y otros tejidos blandos | | | | | |
| | Neoplasia, maligna | 0 | 1 | 1 | 1,0 |
| | Tumor maligno tipo células pequeñas | 1 | 0 | 1 | 1,0 |
| | Tumor maligno tipo células gigantes | 0 | 1 | 1 | 1,0 |
| | Sarcoma, SAI | 7 | 8 | 15 | 15,6 |
| | Sarcoma de células fusiformes | 3 | 2 | 5 | 5,2 |
| | Sarcoma de células gigantes | 1 | 1 | 2 | 2,1 |
| | Fibrosarcoma, SAI | 1 | 0 | 1 | 1,0 |
| | Fibromixosarcoma | 4 | 1 | 5 | 5,2 |
| | Liposarcoma | 8 | 12 | 20 | 20,8 |
| | Leiomiomasarcoma | 4 | 2 | 6 | 6,3 |
| | Rabdomiosarcoma | 4 | 5 | 9 | 9,4 |
| | Sarcoma sinovial | 4 | 5 | 9 | 9,4 |
| | Teratoma, maligno, SAI | 1 | 0 | 1 | 1,0 |
| | Hemangiosarcoma | 3 | 0 | 3 | 3,1 |
| | Hemangioendotelioma, maligno | 1 | 0 | 1 | 1,0 |
| | Sarcoma de Kaposi | 1 | 0 | 1 | 1,0 |
| | Hemangiopericitoma, maligno | 1 | 0 | 1 | 1,0 |
| | Condrosarcoma mixoide | 0 | 1 | 1 | 1,0 |
| | Tumor maligno de células gigantes de partes blandas | 0 | 1 | 1 | 1,0 |
| | Tumor neuroectodérmico periférico | 1 | 2 | 3 | 3,1 |
| | Tumor maligno de la vaina del nervio periférico | 0 | 2 | 2 | 2,1 |
| | Sarcoma de la parte blanda alveolar | 0 | 1 | 1 | 1,0 |
| | Linfoma maligno, células B grandes, difuso | 2 | 3 | 5 | 5,2 |
| | Linfoma folicular, SAI | 0 | 1 | 1 | 1,0 |
| | Total | 47 | 49 | 96 | 100 |
| C50 Mama | | | | | |
| | Neoplasia, maligna | 0 | 15 | 15 | 2,1 |
| | Carcinoma in situ, SAI | 0 | 7 | 7 | 1,0 |
| | Carcinoma, SAI | 0 | 33 | 33 | 4,6 |
| | Carcinoma de células grandes, SAI | 0 | 1 | 1 | 0,1 |
| | Carcinoma pleomórfico | 0 | 1 | 1 | 0,1 |
| | Carcinoma papilar in situ | 0 | 1 | 1 | 0,1 |

(continúa)

Tabla 6. Distribución de casos nuevos de cáncer por sexo, según localización primaria y diagnóstico histológico, INC, Colombia, 2013.

| CIEO-3 | Localización primaria y tipo histológico | Hombres | Mujeres | Total | % |
|-------------------|---|----------|------------|------------|------------|
| | | No. | No. | No. | |
| | Carcinoma papilar, SAI | 0 | 5 | 5 | 0,7 |
| | Carcinoma in situ de células escamosas | 0 | 1 | 1 | 0,1 |
| | Carcinoma de células escamosas | 0 | 2 | 2 | 0,3 |
| | Adenocarcinoma, SAI | 0 | 4 | 4 | 0,6 |
| | Adenocarcinoma tubular | 0 | 1 | 1 | 0,1 |
| | Adenocarcinoma mucinoso | 0 | 20 | 20 | 2,8 |
| | Carcinoma intraductal, no infiltrante | 0 | 20 | 20 | 2,8 |
| | Carcinoma ductal infiltrante | 3 | 555 | 558 | 78,5 |
| | Adenocarcinoma papilar intraductal no infiltrante | 0 | 2 | 2 | 0,3 |
| | Adenocarcinoma papilar intraductal con invasión | 0 | 1 | 1 | 0,1 |
| | Carcinoma micropapilar intraductal | 0 | 2 | 2 | 0,3 |
| | Carcinoma lobular in situ | 0 | 1 | 1 | 0,1 |
| | Carcinoma lobular, SAI | 0 | 17 | 17 | 2,4 |
| | Carcinoma ductular infiltrante | 0 | 7 | 7 | 1,0 |
| | Carcinoma intraductal y carcinoma lobular in situ | 0 | 2 | 2 | 0,3 |
| | Carcinoma ductal lobular e infiltrante | 0 | 3 | 3 | 0,4 |
| | Carcinoma ductal infiltrante mixto con otros tipos de carcinoma | 0 | 1 | 1 | 0,1 |
| | Carcinoma metaplásico, SAI | 0 | 1 | 1 | 0,1 |
| | Sarcoma de células fusiformes | 0 | 1 | 1 | 0,1 |
| | Sarcoma del estroma, SAI | 0 | 1 | 1 | 0,1 |
| | Tumor filodes, maligno | 0 | 2 | 2 | 0,3 |
| | Linfoma maligno, no Hodgkin, SAI | 0 | 1 | 1 | 0,1 |
| | Total | 3 | 708 | 711 | 100 |
| C51 Vulva | | | | | |
| | Carcinoma in situ | 0 | 2 | 2 | 9,1 |
| | Carcinoma, SAI | 0 | 1 | 1 | 4,5 |
| | Carcinoma in situ de células escamosas | 0 | 3 | 3 | 13,6 |
| | Carcinoma de células escamosas | 0 | 10 | 10 | 45,5 |
| | Neoplasia intraepitelial escamosa, grado III | 0 | 1 | 1 | 4,5 |
| | Melanoma maligno, SAI | 0 | 5 | 5 | 22,7 |
| | Total | 0 | 22 | 22 | 100 |
| C52 Vagina | | | | | |
| | Carcinoma in situ | 0 | 1 | 1 | 3,8 |
| | Carcinoma in situ de células escamosas | 0 | 4 | 4 | 15,4 |
| | Carcinoma de células escamosas | 0 | 14 | 14 | 53,8 |
| | Neoplasia intraepitelial escamosa, grado III | 0 | 5 | 5 | 19,2 |
| | Sarcoma de células gigantes | 0 | 1 | 1 | 3,8 |
| | Rabdomiosarcoma, SAI | 0 | 1 | 1 | 3,8 |
| | Total | 0 | 26 | 26 | 100 |

(continúa)

Tabla 6. Distribución de casos nuevos de cáncer por sexo, según localización primaria y diagnóstico histológico, INC, Colombia, 2013.

| CIEO-3 | Localización primaria y tipo histológico | Hombres No. | Mujeres No. | Total No. | % |
|-----------------------------|--|----------------|----------------|--------------|------------|
| C53 Cuello del útero | | | | | |
| | Neoplasia, maligna | 0 | 12 | 12 | 2,5 |
| | Carcinoma in situ, SAI | 0 | 9 | 9 | 1,9 |
| | Carcinoma, SAI | 0 | 7 | 7 | 1,4 |
| | Carcinoma de células grandes, SAI | 0 | 3 | 3 | 0,6 |
| | Carcinoma in situ de células escamosas | 0 | 65 | 65 | 13,5 |
| | Carcinoma de células escamosas | 0 | 274 | 274 | 56,7 |
| | Neoplasia intraepitelial escamosa, grado III | 0 | 42 | 42 | 8,7 |
| | Adenocarcinoma in situ | 0 | 6 | 6 | 1,2 |
| | Adenocarcinoma, SAI | 0 | 38 | 38 | 7,9 |
| | Carcinoma neuroendocrino, SAI | 0 | 1 | 1 | 0,2 |
| | Adenocarcinoma papilar, SAI | 0 | 1 | 1 | 0,2 |
| | Adenocarcinoma en adenoma vellosa | 0 | 2 | 2 | 0,4 |
| | Adenocarcinoma de células claras | 0 | 3 | 3 | 0,6 |
| | Adenocarcinoma endometriode | 0 | 4 | 4 | 0,8 |
| | Adenocarcinoma, tipo endocervical | 0 | 1 | 1 | 0,2 |
| | Adenocarcinoma mucinoso | 0 | 4 | 4 | 0,8 |
| | Carcinoma adenoescamoso | 0 | 8 | 8 | 1,7 |
| | Sarcoma, SAI | 0 | 1 | 1 | 0,2 |
| | Leiomiocarcinoma | 0 | 1 | 1 | 0,2 |
| | Carcinosarcoma, SAI | 0 | 1 | 1 | 0,2 |
| | Total | 0 | 483 | 483 | 100 |
| C54 Cuerpo del útero | | | | | |
| | Neoplasia, maligna | 0 | 2 | 2 | 1,6 |
| | Carcinoma, SAI | 0 | 3 | 3 | 2,3 |
| | Adenocarcinoma, SAI | 0 | 11 | 11 | 8,6 |
| | Adenocarcinoma vellosa | 0 | 1 | 1 | 0,8 |
| | Adenocarcinoma de células claras | 0 | 3 | 3 | 2,3 |
| | Adenocarcinoma endometriode | 0 | 94 | 94 | 73,4 |
| | Adenocarcinoma seroso papilar | 0 | 3 | 3 | 2,3 |
| | Leiomiocarcinoma | 0 | 3 | 3 | 2,3 |
| | Sarcoma del estroma endometrial | 0 | 5 | 5 | 3,9 |
| | Carcinosarcoma, SAI | 0 | 3 | 3 | 2,3 |
| | Total | 0 | 128 | 128 | 100 |
| C55 Útero, SAI | | | | | |
| | Carcinoma, SAI | 0 | 2 | 2 | 13,3 |
| | Adenocarcinoma, SAI | 0 | 1 | 1 | 6,7 |
| | Adenocarcinoma papilar, SAI | 0 | 1 | 1 | 6,7 |
| | Adenocarcinoma de células claras | 0 | 1 | 1 | 6,7 |
| | Carcinoma adenoescamoso | 0 | 1 | 1 | 6,7 |
| | Sarcoma, SAI | 0 | 1 | 1 | 6,7 |
| | Leiomiocarcinoma | 0 | 4 | 4 | 26,7 |

(continúa)

Tabla 6. Distribución de casos nuevos de cáncer por sexo, según localización primaria y diagnóstico histológico, INC, Colombia, 2013.

| CIEO-3 | Localización primaria y tipo histológico | Hombres No. | Mujeres No. | Total No. | % |
|--------------------------------|---|----------------|----------------|--------------|------------|
| | Carcinosarcoma | 0 | 4 | 4 | 26,7 |
| | Total | 0 | 15 | 15 | 100 |
| C56 Ovario | | | | | |
| | Neoplasia, maligna | 0 | 6 | 6 | 5,0 |
| | Carcinoma, SAI | 0 | 6 | 6 | 5,0 |
| | Carcinoma de células escamosas | 0 | 3 | 3 | 2,5 |
| | Carcinoma de células transicionales, SAI | 0 | 1 | 1 | 0,8 |
| | Adenocarcinoma, SAI | 0 | 15 | 15 | 12,6 |
| | Adenocarcinoma de células claras | 0 | 5 | 5 | 4,2 |
| | Adenocarcinoma endometriode | 0 | 7 | 7 | 5,9 |
| | Cistadenocarcinoma, SAI | 0 | 1 | 1 | 0,8 |
| | Cistadenocarcinoma seroso | 0 | 10 | 10 | 8,4 |
| | Cistadenocarcinoma seroso papilar | 0 | 25 | 25 | 21,0 |
| | Cistadenocarcinoma mucinoso | 0 | 7 | 7 | 5,9 |
| | Adenocarcinoma mucinoso | 0 | 12 | 12 | 10,1 |
| | Tumor de células de la granulosa, maligno | 0 | 5 | 5 | 4,2 |
| | Tumor de células de Sertoli-Leydig pobremente diferenciadas | 0 | 3 | 3 | 2,5 |
| | Sarcoma, SAI | 0 | 1 | 1 | 0,8 |
| | Disgerminoma | 0 | 4 | 4 | 3,4 |
| | Germinoma | 0 | 3 | 3 | 2,5 |
| | Teratoma, maligno, SAI | 0 | 2 | 2 | 1,7 |
| | Tumor mixto de células germinales | 0 | 2 | 2 | 1,7 |
| | Linfoma de Burkitt, SAI | 0 | 1 | 1 | 0,8 |
| | Total | 0 | 119 | 119 | 100 |
| C58 Placenta | | | | | |
| | Coriocarcinoma | 0 | 1 | 1 | 100,0 |
| | Total | 0 | 1 | 1 | 100 |
| C60 Pene | | | | | |
| | Neoplasia, maligna | 1 | 0 | 1 | 3,8 |
| | Carcinoma verrugoso, SAI | 1 | 0 | 1 | 3,8 |
| | Carcinoma in situ de células escamosas, SAI | 2 | 0 | 2 | 7,7 |
| | Carcinoma de células escamosas | 20 | 0 | 20 | 76,9 |
| | Eritroplasia de Queyrat | 1 | 0 | 1 | 3,8 |
| | Condrosarcoma mesenquimatoso | 1 | 0 | 1 | 3,8 |
| | Total | 26 | 0 | 26 | 100 |
| C61 Glándula prostática | | | | | |
| | Neoplasia, maligna | 45 | 0 | 45 | 8,4 |
| | Carcinoma, SAI | 5 | 0 | 5 | 0,9 |
| | Carcinoma de células pequeñas, SAI | 1 | 0 | 1 | 0,2 |
| | Carcinoma papilar, SAI | 1 | 0 | 1 | 0,2 |

(continúa)

Tabla 6. Distribución de casos nuevos de cáncer por sexo, según localización primaria y diagnóstico histológico, INC, Colombia, 2013.

| CIEO-3 | Localización primaria y tipo histológico | Hombres No. | Mujeres No. | Total No. | % |
|---|--|----------------|----------------|--------------|------------|
| | Carcinoma de células transicionales, SAI | 1 | 0 | 1 | 0,2 |
| | Adenocarcinoma, SAI | 65 | 0 | 65 | 12,2 |
| | Carcinoma de células acinosas | 415 | 0 | 415 | 77,7 |
| | Sarcoma, SAI | 1 | 0 | 1 | 0,2 |
| | Total | 534 | 0 | 534 | 100 |
| C62 Testículo | | | | | |
| | Neoplasia, maligna | 2 | 0 | 2 | 3,8 |
| | Rabdomiosarcoma embrionario, SAI | 2 | 0 | 2 | 3,8 |
| | Seminoma | 23 | 0 | 23 | 44,2 |
| | Germinoma | 5 | 0 | 5 | 9,6 |
| | Tumor de células germinales, no seminomatoso | 1 | 0 | 1 | 1,9 |
| | Carcinoma embrionario | 4 | 0 | 4 | 7,7 |
| | Teratoma, maligno | 5 | 0 | 5 | 9,6 |
| | Teratocarcinoma | 2 | 0 | 2 | 3,8 |
| | Tumor mixto de células germinales | 8 | 0 | 8 | 15,4 |
| | Total | 52 | 0 | 52 | 100 |
| C63 Otras localizaciones del aparato genital masculino | | | | | |
| | Carcinoma de células escamosas | 1 | 0 | 1 | 50 |
| | Liposarcoma, SAI | 1 | 0 | 1 | 50 |
| | Total | 2 | 0 | 2 | 100 |
| C64 Riñón | | | | | |
| | Neoplasia, maligna | 5 | 3 | 8 | 9,2 |
| | Tumor maligno, tipo células claras | 1 | 0 | 1 | 1,1 |
| | Carcinoma, SAI | 1 | 2 | 3 | 3,4 |
| | Carcinoma de células escamosas | 1 | 0 | 1 | 1,1 |
| | Carcinoma de células transicionales, SAI | 1 | 0 | 1 | 1,1 |
| | Adenocarcinoma papilar, SAI | 2 | 1 | 3 | 3,4 |
| | Adenocarcinoma de células claras | 15 | 13 | 28 | 32,2 |
| | Carcinoma de células renales | 15 | 13 | 28 | 32,2 |
| | Liposarcoma, SAI | 0 | 1 | 1 | 1,1 |
| | Leiomiomasarcoma, SAI | 0 | 1 | 1 | 1,1 |
| | Nefroblastoma | 6 | 4 | 10 | 11,5 |
| | Tumor rabdoide maligno | 1 | 0 | 1 | 1,1 |
| | Sarcoma de células claras del riñón | 1 | 0 | 1 | 1,1 |
| | Total | 49 | 38 | 87 | 100 |
| C66 Uréter | | | | | |
| | Carcinoma de células transicionales in situ, SAI | 1 | 0 | 1 | 100 |
| | Total | 1 | 0 | 1 | 100 |
| C67 Vejiga | | | | | |
| | Neoplasia, maligna | 1 | 0 | 1 | 1,5 |
| | Carcinoma, SAI | 1 | 0 | 1 | 1,5 |

(continúa)

Tabla 6. Distribución de casos nuevos de cáncer por sexo, según localización primaria y diagnóstico histológico, INC, Colombia, 2013.

| CIEO-3 | Localización primaria y tipo histológico | Hombres | Mujeres | Total | % |
|--|--|-----------|-----------|-----------|------------|
| | | No. | No. | No. | |
| | Carcinoma de células escamosas | 1 | 2 | 3 | 4,4 |
| | Carcinoma de células transicionales | 23 | 7 | 30 | 44,1 |
| | Carcinoma papilar de células transicionales | 21 | 5 | 26 | 38,2 |
| | Adenocarcinoma, SAI | 1 | 1 | 2 | 2,9 |
| | Carcinoma neuroendocrino, SAI | 0 | 1 | 1 | 1,5 |
| | Adenocarcinoma de células claras, SAI | 1 | 0 | 1 | 1,5 |
| | Adenocarcinoma mucinoso | 1 | 1 | 2 | 2,9 |
| | Leiomioma, SAI | 0 | 1 | 1 | 1,5 |
| | Total | 50 | 18 | 68 | 100 |
| C68 Otras localizaciones del aparato urinario | | | | | |
| | Carcinoma de células transicionales, SAI | 1 | 0 | 1 | 25,0 |
| | Adenocarcinoma, SAI | 0 | 2 | 2 | 50,0 |
| | Adenocarcinoma de células claras, SAI | 0 | 1 | 1 | 25,0 |
| | Total | 1 | 3 | 4 | 100 |
| C69 Ojos y anexos | | | | | |
| | Neoplasia, maligna | 0 | 2 | 2 | 2,2 |
| | Carcinoma in situ, SAI | 1 | 0 | 1 | 1,1 |
| | Carcinoma in situ de células escamosas | 9 | 1 | 10 | 10,8 |
| | Carcinoma de células escamosas | 9 | 13 | 22 | 23,7 |
| | Carcinoma quístico adenoide | 3 | 0 | 3 | 3,2 |
| | Melanoma in situ | 0 | 2 | 2 | 2,2 |
| | Melanoma maligno | 13 | 5 | 18 | 19,4 |
| | Rabdomiosarcoma embrionario, SAI | 1 | 1 | 2 | 2,2 |
| | Retinoblastoma | 7 | 13 | 20 | 21,5 |
| | Linfoma maligno, no Hodgkin, SAI | 2 | 1 | 3 | 3,2 |
| | Linfoma de células del manto | 1 | 0 | 1 | 1,1 |
| | Linfoma de Burkitt, SAI | 1 | 0 | 1 | 1,1 |
| | Linfoma de células B de la zona marginal | 3 | 4 | 7 | 7,5 |
| | Histiocitosis de células de Langerhans, diseminada | 0 | 1 | 1 | 1,1 |
| | Total | 50 | 43 | 93 | 100 |
| C70 Meninges | | | | | |
| | Meningioma, maligno | 1 | 7 | 8 | 100 |
| | Total | 1 | 7 | 8 | 100 |
| C71 Encéfalo | | | | | |
| | Neoplasia, maligna | 0 | 2 | 2 | 2,1 |
| | Tumor desmoplásico de células redondas pequeñas | 1 | 0 | 1 | 1,1 |
| | Germinoma | 1 | 1 | 2 | 2,1 |
| | Cordoma condroide | 0 | 1 | 1 | 1,1 |
| | Glioma, maligno | 3 | 2 | 5 | 5,3 |
| | Glioma mixto | 2 | 4 | 6 | 6,4 |
| | Ependimoma | 4 | 5 | 9 | 9,6 |

(continúa)

Tabla 6. Distribución de casos nuevos de cáncer por sexo, según localización primaria y diagnóstico histológico, INC, Colombia, 2013.

| CIEO-3 | Localización primaria y tipo histológico | Hombres | Mujeres | Total | % |
|--|--|-----------|------------|------------|------------|
| | | No. | No. | No. | |
| | Astrocitoma | 3 | 13 | 16 | 17,0 |
| | Glioblastoma | 13 | 10 | 23 | 24,5 |
| | Oligodendroglioma | 3 | 3 | 6 | 6,4 |
| | Meduloblastoma | 7 | 3 | 10 | 10,6 |
| | Tumor neuroectodérmico primitivo (PNET) | 1 | 2 | 3 | 3,2 |
| | Neuroblastoma | 2 | 1 | 3 | 3,2 |
| | Ganglioglioma, anaplásico | 1 | 2 | 3 | 3,2 |
| | Linfoma maligno, células B grandes, difuso | 0 | 1 | 1 | 1,1 |
| | Linfoma de Burkitt, SAI | 1 | 0 | 1 | 1,1 |
| | Linfoma de células B de la zona marginal | 1 | 0 | 1 | 1,1 |
| | Linfoma de células T maduras | 1 | 0 | 1 | 1,1 |
| | Total | 44 | 50 | 94 | 100 |
| C72 Médula espinal, nervios craneales del SNC | | | | | |
| | Linfoma maligno, linfocítico, células B pequeñas | 0 | 1 | 1 | 25,0 |
| | Linfoma maligno, células B grandes, difuso | 1 | 2 | 3 | 75,0 |
| | Total | 1 | 3 | 4 | 100 |
| C73 Glándula tiroides | | | | | |
| | Neoplasia, maligna | 0 | 5 | 5 | 1,1 |
| | Carcinoma, SAI | 2 | 2 | 4 | 0,9 |
| | Carcinoma de células grandes, SAI | 1 | 0 | 1 | 0,2 |
| | Carcinoma anaplásico, SAI | 0 | 6 | 6 | 1,3 |
| | Carcinoma papilar, SAI | 49 | 362 | 411 | 92,4 |
| | Adenocarcinoma oxifílico | 0 | 1 | 1 | 0,2 |
| | Adenocarcinoma folicular | 3 | 10 | 13 | 2,9 |
| | Carcinoma medular | 3 | 1 | 4 | 0,9 |
| | Total | 58 | 387 | 445 | 100 |
| C74 Glándula suprarrenal | | | | | |
| | Neoplasia, maligna | 0 | 1 | 1 | 14,3 |
| | Adenocarcinoma oxifílico | 0 | 1 | 1 | 14,3 |
| | Carcinoma de la corteza suprarrenal | 2 | 3 | 5 | 71,4 |
| | Total | 2 | 5 | 7 | 100 |
| C75 Otras glándulas endocrinas | | | | | |
| | Neoplasia, maligna | 0 | 3 | 3 | 37,5 |
| | Paraganglioma, maligno | 0 | 1 | 1 | 12,5 |
| | Germinoma | 3 | 0 | 3 | 37,5 |
| | Pineoblastoma | 0 | 1 | 1 | 12,5 |
| | Total | 3 | 5 | 8 | 100 |
| C77 Ganglios linfáticos | | | | | |
| | Linfoma maligno, SAI | 0 | 1 | 1 | 0,5 |
| | Linfoma maligno, no Hodgkin | 19 | 10 | 29 | 13,4 |
| | Linfoma de Hodgkin | 34 | 25 | 59 | 27,3 |

(continúa)

Tabla 6. Distribución de casos nuevos de cáncer por sexo, según localización primaria y diagnóstico histológico, INC, Colombia, 2013.

| CIEO-3 | Localización primaria y tipo histológico | Hombres No. | Mujeres No. | Total No. | % |
|--|---|----------------|----------------|--------------|------------|
| | Linfoma maligno, linfocítico, células B pequeñas | 2 | 3 | 5 | 2,3 |
| | Linfoma de células del manto | 8 | 0 | 8 | 3,7 |
| | Linfoma maligno, células B grandes, difuso | 34 | 36 | 70 | 32,3 |
| | Linfoma de Burkitt, SAI | 2 | 5 | 7 | 3,2 |
| | Linfoma folicular | 17 | 7 | 24 | 11,1 |
| | Linfoma de células B de la zona marginal | 2 | 1 | 3 | 1,4 |
| | Linfoma de células T maduras | 4 | 1 | 5 | 2,3 |
| | Linfoma angioinmunoblástico de células T | 1 | 0 | 1 | 0,5 |
| | Linfoma anáplásico de células grandes, tipo células T y células nulas | 0 | 1 | 1 | 0,5 |
| | Linfoma linfoblástico de células precursoras | 1 | 2 | 3 | 1,4 |
| | Linfoma linfoblástico de células B precursoras | 0 | 1 | 1 | 0,5 |
| | Total | 124 | 93 | 217 | 100 |
| C80 Localización primaria desconocida | | | | | |
| | Neoplasia, maligna | 10 | 19 | 29 | 26,6 |
| | Tumor maligno tipo células pequeñas | 0 | 1 | 1 | 0,9 |
| | Tumor maligno tipo células fusiformes | 1 | 0 | 1 | 0,9 |
| | Carcinoma, SAI | 4 | 3 | 7 | 6,4 |
| | Carcinoma de células grandes, SAI | 1 | 3 | 4 | 3,7 |
| | Carcinoma neuroendocrino de células grandes | 0 | 3 | 3 | 2,8 |
| | Carcinoma de células escamosas | 3 | 10 | 13 | 11,9 |
| | Adenocarcinoma, SAI | 9 | 16 | 25 | 22,9 |
| | Carcinoma neuroendocrino | 7 | 9 | 16 | 14,7 |
| | Carcinoma papilar de superficie serosa | 0 | 1 | 1 | 0,9 |
| | Adenocarcinoma mucinoso | 2 | 2 | 4 | 3,7 |
| | Carcinoma de células en anillo de sello | 0 | 1 | 1 | 0,9 |
| | Melanoma maligno, SAI | 1 | 1 | 2 | 1,8 |
| | Rabdomiosarcoma embrionario, SAI | 0 | 1 | 1 | 0,9 |
| | Sarcoma sinovial, células fusiformes | 0 | 1 | 1 | 0,9 |
| | Total | 38 | 71 | 109 | 100 |
| | Total | 2.771 | 3.856 | 6.627 | |

Fuente: Registro Institucional de Cáncer, INC.

Tabla 7. Distribución de casos nuevos de tumores de los tejidos hematopoyético y linfoide, según clasificación de la Organización Mundial de la Salud*, INC, Colombia, 2013.

| Grupos diagnósticos | Masculino | | Femenino | | Total | | |
|---|---|-----------|-------------|-----------|-------------|------------|-------------|
| | No. | % | No. | % | No. | % | |
| I. Neoplasias mieloproliferativas | Leucemia mielogenosa crónica, BCR/ABL 1 positivo | 7 | 2,1 | 2 | 0,7 | 9 | 1,5 |
| | Policitemia vera | 1 | 0,3 | 1 | 0,4 | 2 | 0,3 |
| | Trombocitopenia esencial | 0 | 0,0 | 1 | 0,4 | 1 | 0,2 |
| | Neoplasia mieloproliferativa, no clasificable | 16 | 4,8 | 6 | 2,2 | 22 | 3,7 |
| | Total I | 24 | 7,3 | 10 | 3,7 | 34 | 5,7 |
| II. Síndromes mielodisplásicos | Anemia refractaria | 1 | 0,3 | 0 | 0,0 | 1 | 0,2 |
| | Síndrome mielodisplásico, no clasificable | 6 | 1,8 | 2 | 0,7 | 8 | 1,3 |
| | Total III | 7 | 2,1 | 2 | 0,7 | 9 | 1,5 |
| III. Neoplasias mielodisplásicas y mieloproliferativas | Leucemia mielomonocítica crónica | 1 | 0,3 | 0 | 0,0 | 1 | 0,2 |
| | Total III | 1 | 0,3 | 0 | 0,0 | 1 | 0,2 |
| IV. Leucemias mieloides agudas y neoplasias precursoras relacionadas | Leucemia mieloides aguda | 5 | 1,5 | 4 | 1,5 | 9 | 1,5 |
| | Leucemia promieloelocítica aguda | 3 | 0,9 | 0 | 0,0 | 3 | 0,5 |
| | Leucemia mieloides aguda | 16 | 4,8 | 16 | 5,9 | 32 | 5,4 |
| | Leucemia monocítica y monocítica aguda (M5) | 1 | 0,3 | 0 | 0,0 | 1 | 0,2 |
| | Neoplasia de células dendríticas blásticas plasmocitoides | 43 | 13,0 | 47 | 17,5 | 90 | 15,0 |
| | Total IV | 68 | 20,5 | 67 | 25,0 | 135 | 22,5 |
| V. Leucemias de linaje ambiguo | Leucemia aguda indiferenciada | 7 | 2,1 | 2 | 0,7 | 9 | 1,5 |
| | Total V | 7 | 2,1 | 2 | 0,7 | 9 | 1,5 |
| VI. Neoplasias linfoides precursoras | | 0 | 0,0 | 0 | 0,0 | 0 | 0,0 |
| | Total VI | 0 | 0,0 | 0 | 0,0 | 0 | 0,0 |
| VII. Neoplasias de células B maduras | Leucemia linfocítica crónica/linfoma linfocítico pequeño | 12 | 3,6 | 12 | 4,5 | 24 | 4,0 |
| | Linfoma esplénico de células B de la zona marginal | 0 | 0,0 | 2 | 0,7 | 2 | 0,3 |
| | Leucemia de células pilosas | 8 | 2,4 | 1 | 0,4 | 9 | 1,5 |
| | Linfoma linfoplasmocítico | 1 | 0,3 | 0 | 0,0 | 1 | 0,2 |
| | Mieloma de células plasmáticas | 24 | 7,3 | 32 | 11,9 | 56 | 9,3 |
| | Plasmacitoma solitario del hueso | 3 | 0,9 | 1 | 0,4 | 4 | 0,7 |
| | Plasmacitoma extramedular | 0 | 0,0 | 1 | 0,4 | 1 | 0,2 |
| | Linfoma de células B de la zona marginal | 9 | 2,7 | 6 | 2,2 | 15 | 2,5 |
| | Linfoma folicular, SAI | 17 | 5,1 | 10 | 3,7 | 27 | 4,5 |
| | Linfoma de células del manto | 10 | 3,0 | 3 | 1,1 | 13 | 2,2 |

(continúa)

Tabla 7. Distribución de casos nuevos de tumores de los tejidos hematopoyético y linfoide, según clasificación de la Organización Mundial de la Salud*, INC, Colombia, 2013.

| Grupos diagnósticos | Masculino | | Femenino | | Total | |
|---|------------|-------------|------------|-------------|------------|--------------|
| | No. | % | No. | % | No. | % |
| Linfoma maligno, células B grandes, difuso, no especificado | 44 | 13,3 | 51 | 19,0 | 95 | 15,9 |
| Linfoma mediastinal o tímico de células B grandes | 0 | 0,0 | 1 | 0,4 | 1 | 0,2 |
| Linfoma plasmablastico | 1 | 0,3 | 0 | 0,0 | 1 | 0,2 |
| Linfoma de Burkitt | 8 | 2,4 | 7 | 2,6 | 15 | 2,5 |
| Linfoma de células B, no especificado | 26 | 7,9 | 19 | 7,1 | 45 | 7,5 |
| Leucemia de células plasmáticas | 0 | 0,0 | 1 | 0,4 | 1 | 0,2 |
| Total VII | 163 | 49,2 | 147 | 54,9 | 310 | 51,8 |
| VIII. Neoplasias de células T y células NK maduras | | | | | | |
| Leucemia linfocítica granular de células T grandes | 1 | 0,3 | 0 | 0,0 | 1 | 0,2 |
| Leucemia/linfoma de células T del adulto | 1 | 0,3 | 0 | 0,0 | 1 | 0,2 |
| Linfoma de células NK/T, tipo nasal extranodal | 0 | 0,0 | 3 | 1,1 | 3 | 0,5 |
| Micosis fungoide | 11 | 3,3 | 1 | 0,4 | 12 | 2,0 |
| Linfoma de células grandes, anaplásico, cutáneo primario | 0 | 0,0 | 1 | 0,4 | 1 | 0,2 |
| Linfoma cutáneo de células T | 2 | 0,6 | 0 | 0,0 | 2 | 0,3 |
| Linfoma de células T periféricas | 5 | 1,5 | 4 | 1,5 | 9 | 1,5 |
| Linfoma angioinmunoblástico de células T | 1 | 0,3 | 0 | 0,0 | 1 | 0,2 |
| Linfoma anaplásico de células grandes, ALK positivo | 0 | 0,0 | 2 | 0,7 | 2 | 0,3 |
| Total VIII | 21 | 6,3 | 11 | 4,1 | 32 | 5,3 |
| IX. Linfomas Hodgkin | | | | | | |
| Linfoma de Hodgkin, predominio linfocítico nodular | 1 | 0,3 | 0 | 0,0 | 1 | 0,2 |
| Linfoma de Hodgkin clásico | 15 | 4,5 | 13 | 4,9 | 28 | 4,7 |
| Linfoma de Hodgkin clásico, esclerosis nodular | 17 | 5,1 | 11 | 4,1 | 28 | 4,7 |
| Linfoma de Hodgkin clásico, rico en linfocitos | 1 | 0,3 | 0 | 0,0 | 1 | 0,2 |
| Linfoma de Hodgkin clásico, celularidad mixta | 4 | 1,2 | 0 | 0,0 | 4 | 0,7 |
| Linfoma de Hodgkin clásico, depleción linfocítica | 0 | 0 | 1 | 0,4 | 1 | 0,2 |
| Total IX | 38 | 11,5 | 25 | 9,3 | 63 | 10,5 |
| X. Neoplasias de células dendríticas e histiocíticas | | | | | | |
| Histiocitosis de células de Langerhans | 2 | 0,6 | 4 | 1,5 | 6 | 1,0 |
| Total X | 2 | 0,6 | 4 | 1,5 | 6 | 1,0 |
| Total | 331 | 99,9 | 268 | 99,9 | 599 | 100,1 |

* WHO. Classification of Tumours of Haematopoietic and Lymphoid Tissues, 4 ed.

Fuente: Registro Institucional de Cáncer, INC.

Tabla 8. Distribución de casos nuevos de cáncer por verificación histológica y grupos de edad, según la localización primaria, INC, Colombia, 2013.

| Localización primaria | Total | Casos con verificación histológica | | Grupos de edad de casos con verificación histológica | | |
|--|-------|------------------------------------|------|--|------------|----------|
| | No. | No. | % | 0-34 % | 35-64 % | 65+ % |
| C01 Base de la lengua | 3 | 3 | 100 | 33,3 | 33,3 | 33,3 |
| C02 Otras partes de la lengua | 23 | 23 | 100 | 13,0 | 34,8 | 52,2 |
| C03 Encía | 3 | 3 | 100 | 0,0 | 66,7 | 33,3 |
| C04 Suelo de la boca | 3 | 3 | 100 | 0,0 | 33 | 66,7 |
| C05 Paladar | 5 | 5 | 100 | 20,0 | 80,0 | 0,0 |
| C06 Otras partes de la boca | 8 | 8 | 100 | 0,0 | 50,0 | 50,0 |
| C07 Glándula parótida | 19 | 19 | 100 | 10,5 | 63,20 | 26,3 |
| C08 Otras glándulas salivares mayores | 5 | 5 | 100 | 0,0 | 100,0 | 0,0 |
| C09 Amígdala | 13 | 13 | 100 | 0,0 | 38,5 | 61,5 |
| C10 Orofaringe | 9 | 9 | 100 | 0,0 | 44,4 | 55,6 |
| C11 Nasofaringe | 12 | 12 | 100 | 25,0 | 50,0 | 25,0 |
| C13 Hipofaringe | 4 | 4 | 100 | 0,0 | 75,0 | 25,0 |
| C14 Otras localizaciones de labio, cavidad bucal y faringe | 3 | 3 | 100 | 0,0 | 33,3 | 66,7 |
| C15 Esófago | 75 | 75 | 100 | 1,3 | 30,7 | 68,0 |
| C16 Estómago | 418 | 418 | 100 | 3,3 | 48,8 | 47,8 |
| C17 Intestino delgado | 20 | 20 | 100 | 5,0 | 55,0 | 40,0 |
| C18 Colon | 226 | 226 | 100 | 5,3 | 47,8 | 46,9 |
| C19 Unión rectosigmoidea | 17 | 17 | 100 | 11,8 | 58,8 | 29,4 |
| C20 Recto | 162 | 162 | 100 | 3,7 | 41,4 | 54,9 |
| C21 Ano y canal anal | 22 | 22 | 100 | 0,0 | 63,6 | 36,4 |
| C22 Hígado y vías biliares intrahepáticas | 24 | 24 | 100 | 29,2 | 25,0 | 45,8 |
| C23 Vesícula biliar | 33 | 33 | 100 | 3,0 | 57,6 | 39,4 |
| C24 Otras partes de las vías biliares | 10 | 10 | 100 | 10,0 | 50,0 | 40,0 |
| C25 Páncreas | 69 | 68 | 98,6 | 2,9 | 53,6 | 43,5 |
| C26 Otras localizaciones del aparato digestivo | 3 | 3 | 100 | 33,3 | 33,3 | 33,3 |
| C30 Fosa nasal y oído medio | 6 | 6 | 100 | 16,7 | 66,7 | 16,7 |
| C31 Senos accesorios | 10 | 10 | 100 | 0,0 | 80,0 | 20,0 |
| C32 Laringe | 30 | 30 | 100 | 0,0 | 46,7 | 53,3 |
| C34 Bronquios y pulmón | 121 | 120 | 99,2 | 4,1 | 38,8 | 57,0 |
| C37 Timo | 10 | 10 | 100 | 10,0 | 90,0 | 0,0 |
| C38 Corazón, mediastino y pleura | 30 | 30 | 100 | 33,3 | 36,7 | 30,0 |
| C40 Huesos y articulaciones de las extremidades | 63 | 63 | 100 | 66,7 | 19,0 | 14,3 |
| C41 Huesos y articulaciones de otras localizaciones | 27 | 27 | 100 | 48,1 | 29,6 | 22,2 |
| C42 Sistema hematopoyético y reticuloendotelial | 287 | 286 | 100 | 38,0 | 41,8 | 20,2 |
| C44 Piel | 1.462 | 1.462 | 100 | 3,7 | 32,7 | 63,6 |
| C47 Nervios periféricos y SNA | 2 | 2 | 100 | 0,0 | 50,0 | 50,0 |
| C48 Retroperitoneo y peritoneo | 30 | 30 | 100 | 33,3 | 56,7 | 10,0 |

(continúa)

Tabla 8. Distribución de casos nuevos de cáncer por verificación histológica y grupos de edad, según la localización primaria, INC, Colombia, 2013.

| Localización primaria | Total | Casos con verificación histológica | | Grupos de edad de casos con verificación histológica | | |
|--|--------------|------------------------------------|-------------|--|-------------|-------------|
| | No. | No. | % | 0-34 % | 35-64 % | 65+ % |
| C49 Tejidos conjuntivo, subcutáneo y otros tejidos blandos | 96 | 96 | 100 | 28,1 | 42,7 | 29,2 |
| C50 Mama | 711 | 710 | 100 | 3,5 | 66,7 | 29,8 |
| C51 Vulva | 22 | 22 | 100 | 4,5 | 40,9 | 54,5 |
| C52 Vagina | 26 | 26 | 100 | 11,5 | 53,8 | 34,6 |
| C53 Cuello del útero | 483 | 483 | 100 | 14,5 | 70,8 | 14,7 |
| C54 Cuerpo del útero | 128 | 128 | 100 | 1,6 | 58,6 | 39,8 |
| C55 Útero, SAI | 15 | 15 | 100 | 6,7 | 86,7 | 6,7 |
| C56 Ovario | 119 | 119 | 100 | 15,1 | 63,9 | 21,0 |
| C58 Placenta | 1 | 1 | 100 | 100,0 | 0,0 | 0,0 |
| C60 Pene | 26 | 26 | 100 | 0,0 | 69,2 | 30,8 |
| C61 Glándula prostática | 534 | 533 | 100 | 0,2 | 32,6 | 67,2 |
| C62 Testículo | 52 | 52 | 100 | 69,2 | 28,8 | 1,9 |
| C63 Otras localizaciones aparato genital masculino | 2 | 2 | 100 | 0,0 | 50,0 | 50,0 |
| C64 Riñón | 87 | 87 | 100 | 13,8 | 62,1 | 24,1 |
| C66 Uréter | 1 | 1 | 100 | 0,0 | 0,0 | 100 |
| C67 Vejiga | 68 | 68 | 100 | 2,9 | 32,4 | 64,7 |
| C68 Otras localizaciones del aparato urinario | 4 | 4 | 100 | 0,0 | 50,0 | 50,0 |
| C69 Ojos y anexos | 93 | 93 | 100 | 31,2 | 35,5 | 33,3 |
| C70 Meninges | 8 | 7 | 87,5 | 0,0 | 62,5 | 38 |
| C71 Encéfalo | 94 | 94 | 100 | 45,7 | 44,7 | 9,6 |
| C72 Médula espinal, nervios craneales del SNC | 4 | 4 | 100 | 0,0 | 25,0 | 75,0 |
| C73 Glándula tiroides | 445 | 445 | 100 | 18,0 | 69,7 | 12,4 |
| C74 Glándula suprarrenal | 7 | 7 | 100 | 42,9 | 57,1 | 0,0 |
| C75 Otras glándulas endocrinas | 8 | 8 | 100 | 50,0 | 25,0 | 25,0 |
| C77 Ganglios linfáticos | 217 | 216 | 100 | 25,3 | 46,5 | 28,1 |
| C80 Localización primaria desconocida | 109 | 107 | 98,2 | 4,6 | 42,2 | 53,2 |
| Total | 6.627 | 6.618 | 99,9 | 10,9 | 47,7 | 41,4 |

Fuente: Registro Institucional de Cáncer, INC.

Tabla 9. Distribución de casos nuevos de cáncer por régimen de afiliación al SGSSS, según la localización primaria, INC, Colombia, 2013.

| Localización primaria | Contributivo | Subsidiado | No asegurado | Particular | Régimen especial | Total |
|--|--------------|------------|--------------|------------|------------------|-------|
| C01 Base de la lengua | 1 | 1 | 1 | 0 | 0 | 3 |
| C02 Otras partes de la lengua | 11 | 4 | 0 | 7 | 1 | 23 |
| C03 Encía | 1 | 1 | 0 | 1 | 0 | 3 |
| C04 Suelo de la boca | 0 | 2 | 0 | 1 | 0 | 3 |
| C05 Paladar | 2 | 1 | 1 | 1 | 0 | 5 |
| C06 Otras partes de la boca | 3 | 3 | 0 | 1 | 1 | 8 |
| C07 Glándula parótida | 5 | 9 | 1 | 4 | 0 | 19 |
| C08 Otras glándulas salivares mayores | 0 | 4 | 0 | 1 | 0 | 5 |
| C09 Amígdala | 4 | 6 | 1 | 2 | 0 | 13 |
| C10 Orofaringe | 4 | 5 | 0 | 0 | 0 | 9 |
| C11 Nasofaringe | 4 | 7 | 0 | 1 | 0 | 12 |
| C13 Hipofaringe | 3 | 0 | 0 | 1 | 0 | 4 |
| C14 Otras localizaciones de labio, cavidad bucal y faringe | 2 | 1 | 0 | 0 | 0 | 3 |
| C15 Esófago | 37 | 24 | 1 | 9 | 4 | 75 |
| C16 Estómago | 194 | 147 | 12 | 55 | 10 | 418 |
| C17 Intestino delgado | 8 | 7 | 2 | 3 | 0 | 20 |
| C18 Colon | 101 | 79 | 7 | 23 | 16 | 226 |
| C19 Unión rectosigmoidea | 6 | 10 | 0 | 0 | 1 | 17 |
| C20 Recto | 69 | 65 | 8 | 15 | 5 | 162 |
| C21 Ano y canal anal | 6 | 9 | 1 | 5 | 1 | 22 |
| C22 Hígado y vías biliares intrahepáticas | 12 | 9 | 0 | 3 | 0 | 24 |
| C23 Vesícula biliar | 16 | 14 | 1 | 2 | 0 | 33 |
| C24 Otras partes de las vías biliares | 3 | 6 | 0 | 0 | 1 | 10 |
| C25 Páncreas | 43 | 13 | 2 | 11 | 0 | 69 |
| C26 Otras localizaciones del aparato digestivo | 2 | 1 | 0 | 0 | 0 | 3 |
| C30 Fosa nasal y oído medio | 0 | 2 | 1 | 3 | 0 | 6 |
| C31 Senos accesorios | 6 | 2 | 0 | 1 | 1 | 10 |
| C32 Laringe | 14 | 13 | 1 | 1 | 1 | 30 |
| C34 Bronquios y pulmón | 62 | 32 | 10 | 14 | 3 | 121 |
| C37 Timo | 3 | 3 | 2 | 2 | 0 | 10 |
| C38 Corazón, mediastino y pleura | 13 | 10 | 1 | 5 | 1 | 30 |
| C40 Huesos y articulaciones de las extremidades | 22 | 26 | 4 | 8 | 3 | 63 |
| C41 Huesos y articulaciones de otras localizaciones | 13 | 10 | 0 | 3 | 1 | 27 |
| C42 Sistema hematopoyético y reticuloendotelial | 93 | 144 | 25 | 18 | 7 | 287 |
| C44 Piel | 848 | 393 | 26 | 164 | 31 | 1.462 |
| C47 Nervios periféricos y SNA | 1 | 1 | 0 | 0 | 0 | 2 |
| C48 Retroperitoneo y peritoneo | 13 | 9 | 1 | 2 | 5 | 30 |
| C49 Tejidos conjuntivo, subcutáneo y otros tejidos blandos | 46 | 33 | 1 | 13 | 3 | 96 |

(continúa)

Tabla 9. Distribución de casos nuevos de cáncer por régimen de afiliación al SGSSS, según la localización primaria, INC, Colombia, 2013.

| Localización primaria | Contributivo | Subsidiado | No asegurado | Particular | Régimen especial | Total |
|--|--------------|--------------|--------------|------------|------------------|--------------|
| C50 Mama | 267 | 309 | 24 | 83 | 28 | 711 |
| C51 Vulva | 9 | 9 | 1 | 2 | 1 | 22 |
| C52 Vagina | 9 | 11 | 1 | 4 | 1 | 26 |
| C53 Cuello del útero | 111 | 283 | 19 | 60 | 10 | 483 |
| C54 Cuerpo del útero | 55 | 44 | 5 | 20 | 4 | 128 |
| C55 Útero, SAI | 3 | 9 | 0 | 3 | 0 | 15 |
| C56 Ovario | 44 | 47 | 3 | 21 | 4 | 119 |
| C58 Placenta | 0 | 1 | 0 | 0 | 0 | 1 |
| C60 Pene | 9 | 9 | 0 | 8 | 0 | 26 |
| C61 Glándula prostática | 295 | 128 | 6 | 91 | 14 | 534 |
| C62 Testículo | 20 | 18 | 4 | 7 | 3 | 52 |
| C63 Otras localizaciones aparato genital masculino | 0 | 1 | 0 | 1 | 0 | 2 |
| C64 Riñón | 37 | 26 | 8 | 12 | 4 | 87 |
| C66 Uréter | 1 | 0 | 0 | 0 | 0 | 1 |
| C67 Vejiga | 34 | 24 | 0 | 8 | 2 | 68 |
| C68 Otras localizaciones del aparato urinario | 3 | 0 | 0 | 0 | 1 | 4 |
| C69 Ojos y anexos | 35 | 36 | 2 | 15 | 5 | 93 |
| C70 Meninges | 2 | 6 | 0 | 0 | 0 | 8 |
| C71 Encéfalo | 36 | 37 | 7 | 12 | 2 | 94 |
| C72 Médula espinal, nervios craneales del SNC | 3 | 1 | 0 | 0 | 0 | 4 |
| C73 Glándula tiroides | 196 | 151 | 6 | 64 | 28 | 445 |
| C74 Glándula suprarrenal | 3 | 3 | 0 | 1 | 0 | 7 |
| C75 Otras glándulas endocrinas | 2 | 3 | 1 | 2 | 0 | 8 |
| C77 Ganglios linfáticos | 90 | 85 | 7 | 27 | 8 | 217 |
| C80 Localización primaria desconocida | 49 | 35 | 7 | 15 | 3 | 109 |
| Total | 2.984 | 2.382 | 211 | 836 | 214 | 6.627 |

Fuente: Registro Institucional de Cáncer, INC.



Tabla 10. Distribución de casos nuevos de cáncer por régimen de afiliación al SGSSS, según departamento de residencia habitual, INC, Colombia, 2013.

| Departamento de residencia habitual | Contributivo | | Subsidiado | | No asegurado | | Particular | | Régimen especial | | Total | |
|-------------------------------------|--------------|------------|--------------|------------|--------------|------------|------------|------------|------------------|------------|--------------|------------|
| | No. | % | No. | % | No. | % | No. | % | No. | % | No. | % |
| 05 Antioquia | 11 | 0,4 | 21 | 0,9 | 1 | 0,5 | 6 | 0,7 | 1 | 0,5 | 40 | 0,6 |
| 08 Atlántico | 11 | 0,4 | 1 | 0,0 | 0 | 0,0 | 14 | 1,7 | 1 | 0,5 | 27 | 0,4 |
| 11 Bogotá, D. C. | 1.932 | 64,7 | 1.443 | 60,6 | 162 | 77 | 409 | 48,9 | 49 | 22,9 | 3.995 | 60,3 |
| 13 Bolívar | 10 | 0,3 | 17 | 0,7 | 3 | 1,4 | 8 | 1,0 | 0 | 0,0 | 38 | 0,6 |
| 15 Boyacá | 162 | 5,4 | 150 | 6,3 | 10 | 4,7 | 74 | 8,9 | 40 | 18,7 | 436 | 6,6 |
| 17 Caldas | 17 | 0,6 | 17 | 0,7 | 0 | 0,0 | 4 | 0,5 | 0 | 0,0 | 38 | 0,6 |
| 18 Caquetá | 8 | 0,3 | 10 | 0,4 | 3 | 1,4 | 2 | 0,2 | 7 | 3,3 | 30 | 0,5 |
| 19 Cauca | 3 | 0,1 | 11 | 0,5 | 0 | 0,0 | 5 | 0,6 | 1 | 0,5 | 20 | 0,3 |
| 20 Cesar | 15 | 0,5 | 8 | 0,3 | 0 | 0,0 | 10 | 1,2 | 5 | 2,3 | 38 | 0,6 |
| 23 Córdoba | 3 | 0,1 | 4 | 0,2 | 0 | 0,0 | 6 | 0,7 | 0 | 0,0 | 13 | 0,2 |
| 25 Cundinamarca | 430 | 14,4 | 194 | 8,1 | 5 | 2,4 | 78 | 9,3 | 12 | 5,6 | 719 | 10,8 |
| 27 Chocó | 3 | 0,1 | 36 | 1,5 | 0 | 0,0 | 1 | 0,1 | 1 | 0,5 | 41 | 0,6 |
| 41 Huila | 28 | 0,9 | 20 | 0,8 | 0 | 0,0 | 22 | 2,6 | 3 | 1,4 | 73 | 1,1 |
| 44 La Guajira | 4 | 0,1 | 18 | 0,8 | 0 | 0,0 | 8 | 1,0 | 0 | 0,0 | 30 | 0,5 |
| 47 Magdalena | 14 | 0,5 | 4 | 0,2 | 1 | 0,5 | 17 | 2,0 | 2 | 0,9 | 38 | 0,6 |
| 50 Meta | 71 | 2,4 | 88 | 3,7 | 12 | 5,7 | 39 | 4,7 | 28 | 13,1 | 238 | 3,6 |
| 52 Nariño | 10 | 0,3 | 16 | 0,7 | 0 | 0,0 | 5 | 0,6 | 4 | 1,9 | 35 | 0,5 |
| 54 Norte de Santander | 19 | 0,6 | 22 | 0,9 | 6 | 2,8 | 10 | 1,2 | 7 | 3,3 | 64 | 1,0 |
| 63 Quindío | 4 | 0,1 | 1 | 0,0 | 0 | 0,0 | 2 | 0,2 | 0 | 0,0 | 7 | 0,1 |
| 66 Risaralda | 12 | 0,4 | 7 | 0,3 | 0 | 0,0 | 11 | 1,3 | 0 | 0,0 | 30 | 0,5 |
| 68 Santander | 11 | 0,4 | 6 | 0,3 | 1 | 0,5 | 6 | 0,7 | 0 | 0,0 | 24 | 0,4 |
| 70 Sucre | 5 | 0,2 | 4 | 0,2 | 0 | 0,0 | 5 | 0,6 | 0 | 0,0 | 14 | 0,2 |
| 73 Tolima | 167 | 5,6 | 105 | 4,4 | 6 | 2,8 | 66 | 7,9 | 34 | 15,9 | 378 | 5,7 |
| 76 Valle del Cauca | 2 | 0,1 | 3 | 0,1 | 0 | 0,0 | 7 | 0,8 | 0 | 0,0 | 12 | 0,2 |
| 81 Arauca | 1 | 0,0 | 24 | 1,0 | 1 | 0,5 | 4 | 0,5 | 0 | 0,0 | 30 | 0,5 |
| 85 Casanare | 19 | 0,6 | 76 | 3,2 | 0 | 0,0 | 12 | 1,4 | 15 | 7,0 | 122 | 1,8 |
| 86 Putumayo | 4 | 0,1 | 26 | 1,1 | 0 | 0,0 | 0 | 0,0 | 3 | 1,4 | 33 | 0,5 |
| 88 San Andrés | 2 | 0,1 | 5 | 0,2 | 0 | 0,0 | 1 | 0,1 | 0 | 0,0 | 8 | 0,1 |
| 91 Amazonas | 1 | 0,0 | 8 | 0,3 | 0 | 0,0 | 0 | 0,0 | 0 | 0,0 | 9 | 0,1 |
| 94 Guainía | 0 | 0,0 | 6 | 0,3 | 0 | 0,0 | 0 | 0,0 | 0 | 0,0 | 6 | 0,1 |
| 95 Guaviare | 5 | 0,2 | 25 | 1,0 | 0 | 0,0 | 3 | 0,4 | 1 | 0,5 | 34 | 0,5 |
| 97 Vaupés | 0 | 0,0 | 1 | 0,0 | 0 | 0,0 | 0 | 0,0 | 0 | 0,0 | 1 | 0,0 |
| 99 Vichada | 0 | 0,0 | 5 | 0,2 | 0 | 0,0 | 1 | 0,1 | 0 | 0,0 | 6 | 0,1 |
| Total | 2.984 | 100 | 2.382 | 100 | 211 | 100 | 836 | 100 | 214 | 100 | 6.627 | 100 |

Fuente: Registro Institucional de Cáncer, INC.

Tabla 11. Distribución de casos nuevos de cáncer por clasificación de caso según localización primaria, INC, Colombia, 2013

| Localización primaria | 1(*) | | 2(*) | | 3(*) | | Total |
|--|------|------|------|-------|------|------|-------|
| | No. | % | No. | % | No. | % | No. |
| C01 Base de la lengua | 0 | 0,0 | 3 | 100,0 | 0 | 0,0 | 3 |
| C02 Otras partes de la lengua | 0 | 0,0 | 15 | 65,2 | 8 | 34,8 | 23 |
| C03 Encía | 0 | 0,0 | 2 | 66,7 | 1 | 33,3 | 3 |
| C04 Suelo de la boca | 0 | 0,0 | 2 | 66,7 | 1 | 33,3 | 3 |
| C05 Paladar | 0 | 0,0 | 3 | 60,0 | 2 | 40,0 | 5 |
| C06 Otras partes de la boca | 0 | 0,0 | 5 | 62,5 | 3 | 37,5 | 8 |
| C07 Glándula parótida | 0 | 0,0 | 8 | 42,1 | 11 | 57,9 | 19 |
| C08 Otras glándulas salivares mayores | 0 | 0,0 | 3 | 60,0 | 2 | 40,0 | 5 |
| C09 Amígdala | 0 | 0,0 | 8 | 61,5 | 5 | 38,5 | 13 |
| C10 Orofaringe | 0 | 0,0 | 4 | 44,4 | 5 | 55,6 | 9 |
| C11 Nasofaringe | 0 | 0,0 | 8 | 66,7 | 4 | 33,3 | 12 |
| C13 Hipofaringe | 0 | 0,0 | 3 | 75,0 | 1 | 25,0 | 4 |
| C14 Otras localizaciones de labio, cavidad bucal y faringe | 0 | 0,0 | 3 | 100,0 | 0 | 0,0 | 3 |
| C15 Esófago | 0 | 0,0 | 57 | 76,0 | 18 | 24,0 | 75 |
| C16 Estómago | 1 | 0,2 | 325 | 77,8 | 92 | 22,0 | 418 |
| C17 Intestino delgado | 0 | 0,0 | 13 | 65,0 | 7 | 35,0 | 20 |
| C18 Colon | 0 | 0,0 | 127 | 56,2 | 99 | 43,8 | 226 |
| C19 Unión rectosigmoidea | 0 | 0,0 | 12 | 70,6 | 5 | 29,4 | 17 |
| C20 Recto | 1 | 0,6 | 118 | 72,8 | 43 | 26,5 | 162 |
| C21 Ano y canal anal | 0 | 0,0 | 13 | 59,1 | 9 | 40,9 | 22 |
| C22 Hígado y vías biliares intrahepáticas | 1 | 4,2 | 17 | 70,8 | 6 | 25,0 | 24 |
| C23 Vesícula biliar | 0 | 0,0 | 21 | 63,6 | 12 | 36,4 | 33 |
| C24 Otras partes de las vías biliares | 0 | 0,0 | 6 | 60,0 | 4 | 40,0 | 10 |
| C25 Páncreas | 0 | 0,0 | 53 | 76,8 | 16 | 23,2 | 69 |
| C26 Otras localizaciones del aparato digestivo | 0 | 0,0 | 1 | 33,3 | 2 | 66,7 | 3 |
| C30 Fosa nasal y oído medio | 0 | 0,0 | 5 | 83,3 | 1 | 16,7 | 6 |
| C31 Senos accesorios | 0 | 0,0 | 7 | 70,0 | 3 | 30,0 | 10 |
| C32 Laringe | 2 | 6,7 | 18 | 60,0 | 10 | 33,3 | 30 |
| C34 Bronquios y pulmón | 3 | 2,5 | 95 | 78,5 | 23 | 19,0 | 121 |
| C37 Timo | 1 | 10,0 | 8 | 80,0 | 1 | 10,0 | 10 |
| C38 Corazón, mediastino y pleura | 0 | 0,0 | 20 | 66,7 | 10 | 33,3 | 30 |
| C40 Huesos y articulaciones de las extremidades | 3 | 4,8 | 49 | 77,8 | 11 | 17,5 | 63 |
| C41 Huesos y articulaciones de otras localizaciones | 0 | 0,0 | 19 | 70,4 | 8 | 29,6 | 27 |
| C42 Sistema hematopoyético y reticuloendotelial | 12 | 4,2 | 197 | 68,6 | 78 | 27,2 | 287 |
| C44 Piel | 70 | 4,8 | 1161 | 79,4 | 231 | 15,8 | 1.462 |
| C47 Nervios periféricos y SNA | 0 | 0,0 | 2 | 100,0 | 0 | 0,0 | 2 |
| C48 Retroperitoneo y peritoneo | 0 | 0,0 | 20 | 66,7 | 10 | 33,3 | 30 |
| C49 Tejidos conjuntivo, subcutáneo y otros tejidos blandos | 0 | 0,0 | 59 | 61,5 | 37 | 38,5 | 96 |
| C50 Mama | 7 | 1,0 | 451 | 63,4 | 253 | 35,6 | 711 |
| C51 Vulva | 2 | 9,1 | 15 | 68,2 | 5 | 22,7 | 22 |
| C52 Vagina | 1 | 3,8 | 12 | 46,2 | 13 | 50,0 | 26 |

(continúa)

Tabla 11. Distribución de casos nuevos de cáncer por clasificación de caso según localización primaria, INC, Colombia, 2013

| Localización primaria | 1(*) | | 2(*) | | 3(*) | | Total |
|--|------------|------------|--------------|-------------|--------------|-------------|--------------|
| | No. | % | No. | % | No. | % | No. |
| C53 Cuello del útero | 2 | 0,4 | 316 | 65,4 | 165 | 34,2 | 483 |
| C54 Cuerpo del útero | 2 | 1,6 | 74 | 57,8 | 52 | 40,6 | 128 |
| C55 Útero, SAI | 0 | 0,0 | 9 | 60,0 | 6 | 40,0 | 15 |
| C56 Ovario | 1 | 0,8 | 54 | 45,4 | 64 | 53,8 | 119 |
| C58 Placenta | 0 | 0,0 | 0 | 0,0 | 1 | 100,0 | 1 |
| C60 Pene | 0 | 0,0 | 16 | 61,5 | 10 | 38,5 | 26 |
| C61 Glándula prostática | 3 | 0,6 | 353 | 66,1 | 178 | 33,3 | 534 |
| C62 Testículo | 0 | 0,0 | 19 | 36,5 | 33 | 63,5 | 52 |
| C63 Otras localizaciones del aparato genital masculino | 0 | 0,0 | 1 | 50,0 | 1 | 50,0 | 2 |
| C64 Riñón | 2 | 2,3 | 49 | 56,3 | 36 | 41,4 | 87 |
| C66 Uréter | 1 | 100,0 | 0 | 0,0 | 0 | 0,0 | 1 |
| C67 Vejiga | 1 | 1,5 | 52 | 76,5 | 15 | 22,1 | 68 |
| C68 Otras localizaciones del aparato urinario | 0 | 0,0 | 3 | 75,0 | 1 | 25,0 | 4 |
| C69 Ojos y anexos | 1 | 1,1 | 67 | 72,0 | 25 | 26,9 | 93 |
| C70 Meninges | 0 | 0,0 | 4 | 50,0 | 4 | 50,0 | 8 |
| C71 Encéfalo | 1 | 1,1 | 47 | 50,0 | 46 | 48,9 | 94 |
| C72 Médula espinal, nervios craneales del SNC | 0 | 0,0 | 3 | 75,0 | 1 | 25,0 | 4 |
| C73 Glándula tiroides | 3 | 0,7 | 186 | 41,8 | 256 | 57,5 | 445 |
| C74 Glándula suprarrenal | 0 | 0,0 | 2 | 28,6 | 5 | 71,4 | 7 |
| C75 Otras glándulas endocrinas | 0 | 0,0 | 4 | 50,0 | 4 | 50,0 | 8 |
| C77 Ganglios linfáticos | 3 | 1,4 | 121 | 55,8 | 93 | 42,9 | 217 |
| C80 Localización primaria desconocida | 1 | 0,9 | 86 | 78,9 | 22 | 20,2 | 109 |
| Total | 125 | 1,9 | 4.434 | 66,9 | 2.068 | 31,2 | 6.627 |

(*)Clasificación de caso, % de fila

1 Diagnóstico y primer curso de tratamiento en el INC.

2 Diagnóstico en otra institución y primer curso de tratamiento en el INC.

3 Diagnóstico y primer curso de tratamiento en otra institución y tratamiento complementario en el INC.

Fuente: Registro Institucional de Cáncer, INC.

Tabla 12. Casos nuevos de cáncer por sexo, según grandes grupos de edad, INC, Colombia, 2013.

| Grupos de edad | Masculino | | Femenino | | Total | |
|----------------|--------------|------------|--------------|------------|--------------|------------|
| | No. | % | No. | % | No. | % |
| 0-14 | 111 | 4,0 | 97 | 2,5 | 208 | 3,1 |
| 15-44 | 359 | 13,0 | 695 | 18,0 | 1.054 | 15,9 |
| 45-54 | 320 | 11,5 | 814 | 21,1 | 1.134 | 17,1 |
| 55-64 | 611 | 22,0 | 878 | 22,8 | 1.489 | 22,5 |
| 65+ | 1.370 | 49,4 | 1372 | 35,6 | 2.742 | 41,4 |
| Total | 2.771 | 100 | 3.856 | 100 | 6.627 | 100 |

Fuente: Registro Institucional de Cáncer, INC.

Tabla 13. Casos nuevos de cáncer de mama, según estado clínico y régimen de afiliación al ingreso, INC, Colombia, 2013.

| Estado clínico | Contributivo | | Subsidiado | | No asegurado | | Particular | | Régimen especial | | TOTAL | |
|----------------|--------------|------------|------------|------------|--------------|------------|------------|------------|------------------|------------|------------|------------|
| | No. | % | No. | % | No. | % | No. | % | No. | % | No. | % |
| In situ | 15 | 5,6 | 12 | 3,9 | 1 | 4,2 | 5 | 6,0 | 3 | 10,7 | 36 | 5 |
| I | 17 | 6,4 | 9 | 2,9 | 1 | 4 | 7 | 8,4 | 5 | 17,9 | 39 | 5,5 |
| IIA | 57 | 21,3 | 31 | 10,0 | 3 | 12,5 | 10 | 12,0 | 1 | 3,6 | 102 | 14,3 |
| IIB | 33 | 12,4 | 50 | 16,2 | 3 | 12,5 | 17 | 20,5 | 3 | 10,7 | 106 | 14,9 |
| IIIA | 32 | 12,0 | 33 | 10,7 | 2 | 8,3 | 5 | 6,0 | 2 | 7,1 | 74 | 10,4 |
| IIIB | 53 | 19,9 | 85 | 27,5 | 6 | 25,0 | 10 | 12,0 | 6 | 21,4 | 160 | 22,5 |
| IIIC | 8 | 3,0 | 11 | 3,6 | 0 | 0,0 | 2 | 2,4 | 0 | 0,0 | 21 | 3,0 |
| IV | 24 | 9,0 | 44 | 14,2 | 4 | 16,7 | 4 | 4,8 | 1 | 3,6 | 77 | 10,8 |
| Sin dato | 28 | 10,5 | 34 | 11,0 | 4 | 16,7 | 23 | 27,7 | 7 | 25,0 | 96 | 13,5 |
| Total | 267 | 100 | 309 | 100 | 24 | 100 | 83 | 100 | 28 | 100 | 711 | 100 |

Fuente: Registro Institucional de Cáncer, INC.

Tabla 14. Casos nuevos de cáncer de cuello uterino, según estado clínico al ingreso, INC, Colombia, 2013.

| Estado clínico | Contributivo | | Subsidiado | | No asegurado | | Particular | | Régimen especial | | TOTAL | |
|----------------|--------------|------------|------------|------------|--------------|------------|------------|------------|------------------|------------|------------|------------|
| | No. | % | No. | % | No. | % | No. | % | No. | % | No. | % |
| In situ | 20 | 18,0 | 78 | 27,6 | 2 | 10,5 | 18 | 30,0 | 3 | 30,0 | 121 | 25,1 |
| IA | 6 | 5,4 | 13 | 4,6 | 0 | 0,0 | 1 | 1,7 | 0 | 0,0 | 20 | 4,1 |
| IB | 28 | 25,2 | 32 | 11,3 | 1 | 5,3 | 11 | 18,3 | 3 | 30,0 | 75 | 15,5 |
| IIA | 1 | 0,9 | 3 | 1,1 | 1 | 5,3 | 0 | 0,0 | 0 | 0,0 | 5 | 1,0 |
| IIB | 15 | 13,5 | 42 | 14,8 | 3 | 15,8 | 8 | 13,3 | 2 | 20,0 | 70 | 14,5 |
| IIIA | 0 | 0,0 | 2 | 0,7 | 0 | 0,0 | 0 | 0,0 | 0 | 0,0 | 2 | 0,4 |
| IIIB | 20 | 18,0 | 71 | 25,1 | 10 | 52,6 | 12 | 20,0 | 2 | 20,0 | 115 | 23,8 |
| IVA | 4 | 3,6 | 9 | 3,2 | 1 | 5,3 | 1 | 1,7 | 0 | 0,0 | 15 | 3,1 |
| IVB | 6 | 5,4 | 11 | 3,9 | 0 | 0,0 | 2 | 3,3 | 0 | 0,0 | 19 | 3,9 |
| Sin dato | 11 | 9,9 | 22 | 7,8 | 1 | 5,3 | 7 | 11,7 | 0 | 0,0 | 41 | 8,5 |
| Total | 111 | 100 | 283 | 100 | 19 | 100 | 60 | 100 | 10 | 100 | 483 | 100 |

Fuente: Registro Institucional de Cáncer, INC.

Tabla 15. Distribución de casos nuevos de melanoma maligno invasivo, según localización primaria, INC, Colombia, 2013.

| Localización primaria | No. | % |
|-----------------------------------|------------|------------|
| Esófago | 1 | 0,6 |
| Fosa nasal | 1 | 0,6 |
| Piel | 128 | 82,6 |
| Vulva | 5 | 3,2 |
| Ojos y anexos | 18 | 11,6 |
| Localización primaria desconocida | 2 | 1,3 |
| Total | 155 | 100 |

Fuente: Registro Institucional de Cáncer, INC.

Tabla 16. Distribución de casos nuevos de cáncer por tratamiento recibido en el INC, según localización primaria, INC, Colombia, 2013.

| Localización primaria | Cirugía | Quimio terapia | Radio terapia | Paliativo | Hormono terapia | Otros uniconjugados | Radioterapia Quimioterapia | Radio terapia y paliativo | Cirugía y quimio terapia | Otros biconjugados | Triconjugados | Tetra conjugados | Sin tratamiento | Total |
|--|---------|----------------|---------------|-----------|-----------------|---------------------|----------------------------|---------------------------|--------------------------|--------------------|---------------|------------------|-----------------|-------|
| C01 Base de la lengua | 0 | 0 | 0 | 1 | 0 | 0 | 1 | 0 | 0 | 0 | 0 | 1 | 0 | 3 |
| C02 Otras partes de la lengua | 0 | 0 | 1 | 1 | 0 | 0 | 0 | 0 | 0 | 1 | 3 | 2 | 15 | 23 |
| C03 Encía | 0 | 0 | 0 | 0 | 0 | 0 | 0 | 0 | 0 | 0 | 0 | 0 | 3 | 3 |
| C04 Suelo de la boca | 0 | 0 | 0 | 0 | 0 | 0 | 0 | 0 | 0 | 0 | 0 | 0 | 3 | 3 |
| C05 Paladar | 1 | 0 | 0 | 0 | 0 | 0 | 0 | 0 | 0 | 0 | 1 | 0 | 3 | 5 |
| C06 Otras partes de la boca | 0 | 0 | 0 | 0 | 0 | 0 | 0 | 0 | 0 | 0 | 2 | 1 | 5 | 8 |
| C07 Glándula parótida | 1 | 1 | 0 | 1 | 0 | 0 | 0 | 0 | 0 | 2 | 0 | 2 | 12 | 19 |
| C08 Otras glándulas salivares mayores | 0 | 0 | 0 | 1 | 0 | 0 | 0 | 0 | 0 | 0 | 1 | 0 | 3 | 5 |
| C09 Amígdala | 1 | 0 | 0 | 0 | 0 | 0 | 1 | 0 | 0 | 0 | 3 | 2 | 6 | 13 |
| C10 Orofaringe | 0 | 0 | 0 | 1 | 0 | 0 | 1 | 0 | 0 | 1 | 1 | 2 | 3 | 9 |
| C11 Nasofaringe | 0 | 1 | 0 | 0 | 0 | 0 | 0 | 0 | 0 | 2 | 3 | 1 | 5 | 12 |
| C13 Hipofaringe | 1 | 0 | 0 | 0 | 0 | 0 | 1 | 1 | 0 | 0 | 0 | 0 | 1 | 4 |
| C14 Otras localizaciones de labio, cavidad bucal y faringe | 0 | 0 | 1 | 0 | 0 | 0 | 0 | 0 | 0 | 0 | 2 | 0 | 0 | 3 |
| C15 Esófago | 1 | 0 | 3 | 8 | 0 | 0 | 7 | 2 | 0 | 3 | 11 | 4 | 36 | 75 |
| C16 Estómago | 32 | 24 | 10 | 42 | 0 | 1 | 6 | 2 | 11 | 38 | 43 | 16 | 193 | 418 |
| C17 Intestino delgado | 1 | 1 | 0 | 2 | 0 | 0 | 0 | 0 | 1 | 1 | 2 | 1 | 11 | 20 |
| C18 Colon | 32 | 22 | 2 | 10 | 0 | 1 | 2 | 0 | 19 | 10 | 25 | 10 | 93 | 226 |
| C19 Unión rectosigmoidea | 1 | 2 | 0 | 0 | 0 | 0 | 1 | 0 | 0 | 1 | 5 | 5 | 2 | 17 |
| C20 Recto | 11 | 6 | 2 | 5 | 0 | 0 | 10 | 1 | 3 | 9 | 25 | 15 | 75 | 162 |
| C21 Ano y canal anal | 0 | 1 | 1 | 0 | 0 | 0 | 4 | 0 | 0 | 2 | 0 | 2 | 12 | 22 |
| C22 Hígado y vías biliares intrahepáticas | 3 | 0 | 0 | 5 | 0 | 0 | 0 | 0 | 1 | 2 | 1 | 0 | 12 | 24 |
| C23 Vesícula biliar | 1 | 1 | 0 | 4 | 0 | 0 | 2 | 0 | 1 | 5 | 3 | 2 | 14 | 33 |
| C24 Otras partes de las vías biliares | 2 | 2 | 0 | 0 | 0 | 0 | 0 | 0 | 0 | 1 | 0 | 0 | 5 | 10 |

(continúa)



Tabla 16. Distribución de casos nuevos de cáncer por tratamiento recibido en el INC, según localización primaria, INC, Colombia, 2013.

| Localización primaria | Cirugía | Quimio terapia | Radio terapia | Paliativo | Hormono terapia | Otros uniconjugados | Radioterapia Quimioterapia | Radio terapia y paliativo | Cirugía y quimio terapia | Otros biconjugados | Triconjugados | Tetra conjugados | Sin tratamiento | Total |
|--|---------|----------------|---------------|-----------|-----------------|---------------------|----------------------------|---------------------------|--------------------------|--------------------|---------------|------------------|-----------------|-------|
| C25 Páncreas | 5 | 5 | 1 | 5 | 0 | 0 | 0 | 0 | 0 | 12 | 5 | 4 | 32 | 69 |
| C26 Otras localiza- ciones del aparato digestivo | 0 | 2 | 0 | 0 | 0 | 0 | 0 | 0 | 0 | 1 | 0 | 0 | 0 | 3 |
| C30 Fosa nasal y oído medio | 1 | 0 | 0 | 0 | 0 | 0 | 0 | 0 | 0 | 1 | 1 | 0 | 3 | 6 |
| C31 Senos accesorios | 0 | 0 | 0 | 0 | 0 | 0 | 1 | 0 | 0 | 2 | 1 | 0 | 6 | 10 |
| C32 Laringe | 0 | 1 | 3 | 2 | 0 | 0 | 4 | 0 | 0 | 2 | 4 | 1 | 13 | 30 |
| C34 Bronquios y pulmón | 4 | 11 | 8 | 15 | 0 | 0 | 1 | 0 | 2 | 8 | 9 | 1 | 62 | 121 |
| C37 Timo | 3 | 0 | 1 | 0 | 0 | 0 | 0 | 0 | 0 | 3 | 1 | 1 | 1 | 10 |
| C38 Corazón, medias- tino y pleura | 2 | 5 | 1 | 2 | 0 | 0 | 1 | 1 | 0 | 5 | 0 | 1 | 12 | 30 |
| C40 Huesos y articulaciones de las extremidades | 10 | 0 | 0 | 1 | 0 | 0 | 1 | 0 | 8 | 5 | 14 | 5 | 19 | 63 |
| C41 Huesos y arti- culaciones de otras localizaciones | 4 | 0 | 0 | 0 | 0 | 0 | 0 | 1 | 1 | 5 | 4 | 2 | 10 | 27 |
| C42 Sistema hematopoyético y reitculoendotelial | 1 | 142 | 8 | 1 | 0 | 0 | 4 | 0 | 8 | 33 | 16 | 3 | 71 | 287 |
| C44 Piel | 302 | 6 | 91 | 5 | 0 | 33 | 3 | 1 | 3 | 432 | 27 | 14 | 545 | 1.462 |
| C47 Nervios perifé- ricos y SNA | 0 | 1 | 0 | 0 | 0 | 0 | 0 | 0 | 0 | 0 | 0 | 0 | 1 | 2 |
| C48 Retroperitoneo y peritoneo | 11 | 4 | 0 | 0 | 0 | 0 | 0 | 0 | 1 | 5 | 3 | 0 | 6 | 30 |
| C49 Tejidos conjun- tivo, subcutáneo y otros tejidos blandos | 17 | 2 | 6 | 4 | 0 | 0 | 0 | 1 | 2 | 8 | 11 | 9 | 36 | 96 |
| C50 Mama | 42 | 52 | 53 | 6 | 1 | 2 | 20 | 2 | 24 | 82 | 113 | 90 | 224 | 711 |
| C51 Vulva | 6 | 1 | 0 | 0 | 0 | 0 | 0 | 0 | 0 | 4 | 2 | 2 | 7 | 22 |
| C52 Vagina | 0 | 1 | 4 | 2 | 0 | 0 | 3 | 2 | 0 | 0 | 1 | 1 | 12 | 26 |
| C53 Cuello del útero | 96 | 9 | 32 | 7 | 0 | 0 | 61 | 6 | 1 | 10 | 38 | 11 | 212 | 483 |

(continúa)

Tabla 16. Distribución de casos nuevos de cáncer por tratamiento recibido en el INC, según localización primaria, INC, Colombia, 2013.

| Localización primaria | Grugía | Quimio terapia | Radio terapia | Paliativo | Hormono terapia | Otros uniconjugados | Radioterapia Quimioterapia | Radio terapia y paliativo | Cirugía y quimio terapia | Otros biconjugados | Triconjugados | Tetra conjugados | Sin tratamiento | Total |
|--|------------|----------------|---------------|------------|-----------------|---------------------|----------------------------|---------------------------|--------------------------|--------------------|---------------|------------------|-----------------|--------------|
| C54 Cuerpo del útero | 20 | 3 | 11 | 3 | 0 | 0 | 7 | 0 | 3 | 15 | 11 | 2 | 53 | 128 |
| C55 Útero, SAI | 0 | 1 | 1 | 0 | 0 | 0 | 0 | 0 | 0 | 0 | 1 | 3 | 9 | 15 |
| C56 Ovario | 11 | 11 | 2 | 6 | 0 | 0 | 1 | 0 | 16 | 8 | 5 | 3 | 56 | 119 |
| C58 Placenta | 0 | 1 | 0 | 0 | 0 | 0 | 0 | 0 | 0 | 0 | 0 | 0 | 0 | 1 |
| C60 Pene | 8 | 0 | 0 | 0 | 0 | 0 | 0 | 0 | 1 | 3 | 1 | 1 | 12 | 26 |
| C61 Glándula prostática | 145 | 27 | 54 | 12 | 1 | 1 | 20 | 8 | 9 | 30 | 24 | 7 | 196 | 534 |
| C62 Testículo | 10 | 9 | 2 | 0 | 0 | 0 | 0 | 0 | 4 | 4 | 2 | 1 | 20 | 52 |
| C63 Otras localiza- ciones aparato genital masculino | 0 | 0 | 0 | 0 | 0 | 0 | 0 | 0 | 0 | 0 | 0 | 0 | 2 | 2 |
| C64 Riñón | 23 | 2 | 4 | 4 | 0 | 0 | 1 | 1 | 3 | 6 | 7 | 1 | 35 | 87 |
| C66 Uréter | 0 | 0 | 0 | 0 | 1 | 0 | 0 | 0 | 0 | 0 | 0 | 0 | 0 | 1 |
| C67 Vejiga | 31 | 2 | 1 | 1 | 0 | 0 | 0 | 0 | 2 | 2 | 4 | 0 | 25 | 68 |
| C68 Otras localiza- ciones del aparato urinario | 1 | 0 | 0 | 0 | 0 | 0 | 0 | 0 | 0 | 1 | 2 | 0 | 0 | 4 |
| C69 Ojos y anexos | 35 | 6 | 7 | 0 | 0 | 0 | 0 | 0 | 4 | 3 | 4 | 2 | 32 | 93 |
| C70 Meninges | 0 | 0 | 3 | 0 | 0 | 0 | 0 | 0 | 0 | 2 | 0 | 0 | 3 | 8 |
| C71 Encéfalo | 10 | 4 | 10 | 0 | 0 | 0 | 2 | 1 | 1 | 13 | 10 | 5 | 38 | 94 |
| C72 Médula espinal, nervios craneales del SNC | 0 | 3 | 0 | 0 | 0 | 0 | 0 | 0 | 0 | 0 | 0 | 0 | 1 | 4 |
| C73 Glándula tiroides | 37 | 2 | 2 | 4 | 0 | 101 | 0 | 0 | 0 | 63 | 9 | 1 | 226 | 445 |
| C74 Glándula suprarrenal | 2 | 1 | 0 | 0 | 0 | 0 | 0 | 0 | 0 | 2 | 0 | 0 | 2 | 7 |
| C75 Otras glándulas endocrinas | 0 | 0 | 1 | 0 | 0 | 0 | 0 | 0 | 0 | 2 | 0 | 0 | 5 | 8 |
| C77 Ganglios linfáticos | 8 | 65 | 6 | 1 | 0 | 0 | 13 | 0 | 15 | 16 | 15 | 2 | 76 | 217 |
| C80 Localización pri- maria desconocida | 3 | 6 | 2 | 10 | 0 | 0 | 2 | 0 | 2 | 9 | 2 | 0 | 73 | 109 |
| Total | 936 | 446 | 334 | 172 | 3 | 139 | 181 | 30 | 146 | 875 | 478 | 239 | 2.648 | 6.627 |

Fuente: Registro Institucional de Cáncer, INC.



Tabla 17. Distribución de casos nuevos de cáncer de residentes en Bogotá, por sexo y según localización primaria, INC, Colombia, 2013.

| Localización CIE0-3 agrupada | Hombres | | Mujeres | | Total | |
|--|------------|-------------|------------|-------------|------------|-------------|
| | No. | % | No. | % | No. | % |
| Labio, cavidad oral y faringe | | | | | | |
| C01 Base de la lengua | 0 | 0,0 | 2 | 0,1 | 2 | 0,1 |
| C02 Otras partes de la lengua | 5 | 0,3 | 8 | 0,3 | 13 | 0,3 |
| C03 Encía | 0 | 0,0 | 2 | 0,1 | 2 | 0,1 |
| C05 Paladar | 2 | 0,1 | 1 | 0,0 | 3 | 0,1 |
| C06 Otras partes de la boca | 2 | 0,1 | 2 | 0,1 | 4 | 0,1 |
| C07 Glándula parótida | 5 | 0,3 | 6 | 0,3 | 11 | 0,3 |
| C08 Otras glándulas salivares mayores | 2 | 0,1 | 0 | 0,0 | 2 | 0,1 |
| C09 Amígdala | 7 | 0,4 | 1 | 0,0 | 8 | 0,2 |
| C10 Orofaringe | 7 | 0,4 | 0 | 0,0 | 7 | 0,2 |
| C11 Nasofaringe | 5 | 0,3 | 2 | 0,1 | 7 | 0,2 |
| C13 Hipofaringe | 3 | 0,2 | 0 | 0,0 | 3 | 0,1 |
| C14 Otras localizaciones de labio, cavidad bucal y faringe | 2 | 0,1 | 0 | 0,0 | 2 | 0,1 |
| Total (C01-C14) | 40 | 2,4 | 24 | 1,0 | 64 | 1,6 |
| Sistema digestivo | | | | | | |
| C15 Esófago | 24 | 1,5 | 22 | 0,9 | 46 | 1,2 |
| C16 Estómago | 141 | 8,6 | 119 | 5,0 | 260 | 6,5 |
| C17 Intestino delgado | 6 | 0,4 | 3 | 0,1 | 9 | 0,2 |
| C18 Colon | 59 | 3,6 | 79 | 3,4 | 138 | 3,5 |
| C19 Unión rectosigmoidea | 5 | 0,3 | 3 | 0,1 | 8 | 0,2 |
| C20 Recto | 65 | 4,0 | 43 | 1,8 | 108 | 2,7 |
| C21 Ano y canal anal | 3 | 0,2 | 8 | 0,3 | 11 | 0,3 |
| C22 Hígado y vías biliares intrahepáticas | 10 | 0,6 | 6 | 0,3 | 16 | 0,4 |
| C23 Vesícula biliar | 2 | 0,1 | 21 | 0,9 | 23 | 0,6 |
| C24 Otras partes de las vías biliares | 1 | 0,1 | 4 | 0,2 | 5 | 0,1 |
| C25 Páncreas | 13 | 0,8 | 36 | 1,5 | 49 | 1,2 |
| C26 Otras localizaciones del aparato digestivo | 2 | 0,1 | 0 | 0,0 | 2 | 0,1 |
| Total (C15-C26) | 331 | 20,2 | 344 | 14,6 | 675 | 16,9 |
| Sistema respiratorio y órganos intratorácicos | | | | | | |
| C30 Fosa nasal y oído medio | 1 | 0,1 | 1 | 0,0 | 2 | 0,1 |
| C31 Senos accesorios | 2 | 0,1 | 0 | 0,0 | 2 | 0,1 |
| C32 Laringe | 10 | 0,6 | 3 | 0,1 | 13 | 0,3 |
| C34 Bronquios y pulmón | 49 | 3,0 | 35 | 1,5 | 84 | 2,1 |
| C37 Timo | 1 | 0,1 | 5 | 0,2 | 6 | 0,2 |
| C38 Corazón, mediastino y pleura | 16 | 1,0 | 4 | 0,2 | 20 | 0,5 |
| Total (C30-C38) | 79 | 4,8 | 48 | 2,0 | 127 | 3,2 |
| Huesos y articulaciones | | | | | | |
| C40 Huesos y articulaciones de las extremidades | 17 | 1,0 | 10 | 0,4 | 27 | 0,7 |
| C41 Huesos y articulaciones de otras localizaciones | 8 | 0,5 | 7 | 0,3 | 15 | 0,4 |
| Total (C40-C41) | 25 | 1,5 | 17 | 0,7 | 42 | 1,1 |
| Sistema hematopoyético y reticuloendotelial (C42) | | | | | | |
| Piel (C44) | 410 | 25,0 | 498 | 21,1 | 908 | 22,7 |

(continúa)

Tabla 17. Distribución de casos nuevos de cáncer de residentes en Bogotá, por sexo y según localización primaria, INC, Colombia, 2013.

| Localización CIE0-3 agrupada | Hombres | | Mujeres | | Total | |
|---|--------------|-------------|--------------|-------------|--------------|-------------|
| | No. | % | No. | % | No. | % |
| Tejido conjuntivo subcutáneo y otros tejidos blandos | | | | | | |
| C47 Nervios periféricos y SNA | 0 | 0,0 | 1 | 0,0 | 1 | 0,0 |
| C48 Retroperitoneo y peritoneo | 11 | 0,7 | 6 | 0,3 | 17 | 0,4 |
| C49 Tejidos conjuntivo, subcutáneo y otros tejidos blandos | 25 | 1,5 | 31 | 1,3 | 56 | 1,4 |
| Total (C47-C49) | 36 | 2,2 | 38 | 1,6 | 74 | 1,9 |
| Mama (C50) | 2 | 0,1 | 441 | 18,7 | 443 | 11,1 |
| Aparato genital femenino | | | | | | |
| C51 Vulva | 0 | 0,0 | 13 | 0,6 | 13 | 0,3 |
| C52 Vagina | 0 | 0,0 | 11 | 0,5 | 11 | 0,3 |
| C53 Cuello del útero | 0 | 0,0 | 272 | 11,5 | 272 | 6,8 |
| C54 Cuerpo del útero | 0 | 0,0 | 89 | 3,8 | 89 | 2,2 |
| C55 Útero, SAI | 0 | 0,0 | 11 | 0,5 | 11 | 0,3 |
| C56 Ovario | 0 | 0,0 | 71 | 3,0 | 71 | 1,8 |
| Total (C51-C56) | 0 | 0,0 | 467 | 19,8 | 467 | 11,7 |
| Aparato genital masculino | | | | | | |
| C60 Pene | 11 | 0,7 | 0 | 0,0 | 11 | 0,3 |
| C61 Glándula prostática | 333 | 20,3 | 0 | 0,0 | 333 | 8,3 |
| C62 Testículo | 34 | 2,1 | 0 | 0,0 | 34 | 0,9 |
| C63 Otras localizaciones del aparato genital masculino | 1 | 0,1 | 0 | 0,0 | 1 | 0,0 |
| Total (C60-C63) | 379 | 23,2 | 0 | 0,0 | 379 | 9,5 |
| Aparato urinario | | | | | | |
| C64 Riñón | 28 | 1,7 | 20 | 0,8 | 48 | 1,2 |
| C66 Uréter | 1 | 0,1 | 0 | 0,0 | 1 | 0,0 |
| C67 Vejiga | 21 | 1,3 | 9 | 0,4 | 30 | 0,8 |
| C68 Otras localizaciones del aparato urinario | 0 | 0,0 | 1 | 0,0 | 1 | 0,0 |
| Total (C64-C67) | 50 | 3,1 | 30 | 1,3 | 80 | 2,0 |
| Ojos y anexos (C69) | 27 | 1,6 | 18 | 0,8 | 45 | 1,1 |
| Encéfalo y sistema nervioso central | | | | | | |
| C70 Meninges | 1 | 0,1 | 5 | 0,2 | 6 | 0,2 |
| C71 Encéfalo | 27 | 1,6 | 26 | 1,1 | 53 | 1,3 |
| C72 Médula espinal, nervios craneales del SNC | 1 | 0,1 | 3 | 0,1 | 4 | 0,1 |
| Total (C70-C72) | 29 | 1,8 | 34 | 1,4 | 63 | 1,6 |
| Glándulas endocrinas | | | | | | |
| C73 Glándula tiroides | 31 | 1,9 | 217 | 9,2 | 248 | 6,2 |
| C74 Glándula suprarrenal | 1 | 0,1 | 3 | 0,1 | 4 | 0,1 |
| C75 Otras glándulas endocrinas | 1 | 0,1 | 3 | 0,1 | 4 | 0,1 |
| Total (C73-C75) | 33 | 2,0 | 223 | 9,5 | 256 | 6,4 |
| Ganglios linfáticos (C77) | 82 | 5,0 | 53 | 2,2 | 135 | 3,4 |
| Localización primaria desconocida (C80) | 22 | 1,3 | 46 | 2,0 | 68 | 1,7 |
| Total | 1.637 | 100 | 2.358 | 100 | 3.995 | 100 |

Fuente: Registro Institucional de Cáncer, INC.

Tabla 18. Distribución de casos nuevos de cáncer de residentes en Bogotá por régimen de afiliación al SGSSS, según localización primaria, INC, Colombia, 2013.

| Localización primaria | Contributivo | Subsidiado | No asegurado | Particular | Régimen especial | Total |
|--|--------------|------------|--------------|------------|------------------|-------|
| C01 Base de la lengua | 1 | 0 | 1 | 0 | 0 | 2 |
| C02 Otras partes de la lengua | 8 | 2 | 0 | 3 | 0 | 13 |
| C03 Encía | 1 | 1 | 0 | 0 | 0 | 2 |
| C05 Paladar | 1 | 1 | 1 | 0 | 0 | 3 |
| C06 Otras partes de la boca | 2 | 1 | 0 | 1 | 0 | 4 |
| C07 Glándula parótida | 4 | 4 | 1 | 2 | 0 | 11 |
| C08 Otras glándulas salivares mayores | 0 | 1 | 0 | 1 | 0 | 2 |
| C09 Amígdala | 3 | 3 | 1 | 1 | 0 | 8 |
| C10 Orofaringe | 4 | 3 | 0 | 0 | 0 | 7 |
| C11 Nasofaringe | 3 | 4 | 0 | 0 | 0 | 7 |
| C13 Hipofaringe | 3 | 0 | 0 | 0 | 0 | 3 |
| C14 Otras localizaciones de labio, cavidad bucal y faringe | 1 | 1 | 0 | 0 | 0 | 2 |
| C15 Esófago | 26 | 13 | 1 | 5 | 1 | 46 |
| C16 Estómago | 122 | 98 | 9 | 30 | 1 | 260 |
| C17 Intestino delgado | 4 | 2 | 2 | 1 | 0 | 9 |
| C18 Colon | 66 | 51 | 6 | 14 | 1 | 138 |
| C19 Unión rectosigmoidea | 3 | 5 | 0 | 0 | 0 | 8 |
| C20 Recto | 47 | 40 | 8 | 11 | 2 | 108 |
| C21 Ano y canal anal | 3 | 6 | 1 | 1 | 0 | 11 |
| C22 Hígado y vías biliares intrahepáticas | 9 | 5 | 0 | 2 | 0 | 16 |
| C23 Vesícula biliar | 11 | 10 | 1 | 1 | 0 | 23 |
| C24 Otras partes de las vías biliares | 3 | 2 | 0 | 0 | 0 | 5 |
| C25 Páncreas | 30 | 7 | 2 | 10 | 0 | 49 |
| C26 Otras localizaciones del aparato digestivo | 1 | 1 | 0 | 0 | 0 | 2 |
| C30 Fosa nasal y oído medio | 0 | 1 | 1 | 0 | 0 | 2 |
| C31 Senos accesorios | 1 | 0 | 0 | 1 | 0 | 2 |
| C32 Laringe | 5 | 7 | 0 | 1 | 0 | 13 |
| C34 Bronquios y pulmón | 43 | 23 | 9 | 7 | 2 | 84 |
| C37 Timo | 1 | 2 | 2 | 1 | 0 | 6 |
| C38 Corazón, mediastino y pleura | 10 | 8 | 1 | 1 | 0 | 20 |
| C40 Huesos y articulaciones de las extremidades | 14 | 6 | 2 | 4 | 1 | 27 |
| C41 Huesos y articulaciones de otras localizaciones | 8 | 6 | 0 | 1 | 0 | 15 |
| C42 Sistema hematopoyético y reticuloendotelial | 55 | 81 | 19 | 10 | 4 | 169 |
| C44 Piel | 589 | 232 | 17 | 69 | 1 | 908 |
| C47 Nervios periféricos y SNA | 1 | 0 | 0 | 0 | 0 | 1 |
| C48 Retroperitoneo y peritoneo | 8 | 4 | 1 | 1 | 3 | 17 |
| C49 Tejidos conjuntivo, subcutáneo y otros tejidos blandos | 31 | 17 | 1 | 6 | 1 | 56 |
| C50 Mama | 164 | 212 | 19 | 43 | 5 | 443 |
| C51 Vulva | 5 | 7 | 1 | 0 | 0 | 13 |
| C52 Vagina | 4 | 3 | 1 | 2 | 1 | 11 |
| C53 Cuello del útero | 64 | 174 | 11 | 21 | 2 | 272 |

(continúa)

| Localización primaria | Contributivo | Subsidiado | No asegurado | Particular | Régimen especial | Total |
|--|--------------|--------------|--------------|------------|------------------|--------------|
| C54 Cuerpo del útero | 38 | 34 | 5 | 12 | 0 | 89 |
| C55 Útero, SAI | 2 | 7 | 0 | 2 | 0 | 11 |
| C56 Ovario | 27 | 28 | 3 | 13 | 0 | 71 |
| C60 Pene | 4 | 3 | 0 | 4 | 0 | 11 |
| C61 Glándula prostática | 191 | 91 | 3 | 46 | 2 | 333 |
| C62 Testículo | 13 | 12 | 3 | 4 | 2 | 34 |
| C63 Otras localizaciones del aparato genital masculino | 0 | 0 | 0 | 1 | 0 | 1 |
| C64 Riñón | 20 | 14 | 7 | 5 | 2 | 48 |
| C66 Uréter | 1 | 0 | 0 | 0 | 0 | 1 |
| C67 Vejiga | 16 | 12 | 0 | 2 | 0 | 30 |
| C68 Otras localizaciones del aparato urinario | 1 | 0 | 0 | 0 | 0 | 1 |
| C69 Ojos y anexos | 21 | 17 | 2 | 3 | 2 | 45 |
| C70 Meninges | 2 | 4 | 0 | 0 | 0 | 6 |
| C71 Encéfalo | 21 | 17 | 5 | 9 | 1 | 53 |
| C72 Médula espinal, nervios craneales del SNC | 3 | 1 | 0 | 0 | 0 | 4 |
| C73 Glándula tiroides | 118 | 78 | 5 | 35 | 12 | 248 |
| C74 Glándula suprarrenal | 2 | 2 | 0 | 0 | 0 | 4 |
| C75 Otras glándulas endocrinas | 1 | 1 | 0 | 2 | 0 | 4 |
| C77 Ganglios linfáticos | 60 | 56 | 3 | 13 | 3 | 135 |
| C80 Localización primaria desconocida | 32 | 22 | 7 | 7 | 0 | 68 |
| Total | 1.932 | 1.443 | 162 | 409 | 49 | 3.995 |

Fuente: Registro Institucional de Cáncer, INC.



Tabla 19. Distribución de casos nuevos de cáncer de residentes en Bogotá, por sexo, según EPS, INC, Colombia, 2013.

| Pagador | Hombres | | Mujeres | | Total | |
|--|--------------|------------|--------------|------------|--------------|------------|
| | No. | % | No. | % | No. | % |
| Asociación Mutua Asmet Salud | 0 | 0,0 | 1 | 0,0 | 1 | 0,0 |
| Cafesalud S.A. | 6 | 0,4 | 10 | 0,4 | 16 | 0,4 |
| Caja de Compensación Cafam | 3 | 0,2 | 2 | 0,1 | 5 | 0,1 |
| Caja de Compensación Comfacundi Ars Unicajas | 1 | 0,1 | 0 | 0,0 | 1 | 0,0 |
| Caja de Compensación de Cundinamarca Comfacundi | 16 | 1,0 | 17 | 0,7 | 33 | 0,8 |
| Caja de Compensación de Boyacá Comfaboy | 0 | 0,0 | 1 | 0,0 | 1 | 0,0 |
| Capital Salud | 373 | 22,8 | 735 | 31,2 | 1.108 | 27,7 |
| Caprecom | 101 | 6,2 | 186 | 7,9 | 287 | 7,2 |
| Capresoca | 1 | 0,1 | 3 | 0,1 | 4 | 0,1 |
| Compensar | 12 | 0,7 | 12 | 0,5 | 24 | 0,6 |
| Convida | 3 | 0,2 | 1 | 0,0 | 4 | 0,1 |
| Cruz Blanca S.A. | 4 | 0,2 | 5 | 0,2 | 9 | 0,2 |
| Ecoopsos | 10 | 0,6 | 11 | 0,5 | 21 | 0,5 |
| Empresa de Teléfonos de Bogotá ETB | 0 | 0,0 | 1 | 0,0 | 1 | 0,0 |
| Famisanar Ltda. | 42 | 2,6 | 34 | 1,4 | 76 | 1,9 |
| Fondo Nacional de Prestaciones Sociales del Magisterio | 12 | 0,7 | 29 | 1,2 | 41 | 1,0 |
| Golden Group EPS | 4 | 0,2 | 6 | 0,3 | 10 | 0,3 |
| Humana Vivir S.A. | 6 | 0,4 | 9 | 0,4 | 15 | 0,4 |
| Nueva EPS | 624 | 38,1 | 793 | 33,6 | 1.417 | 35,5 |
| Particular | 162 | 9,9 | 254 | 10,8 | 416 | 10,4 |
| Policía Nacional | 11 | 0,7 | 1 | 0,0 | 12 | 0,3 |
| Salud Colmena S.A. | 16 | 1,0 | 15 | 0,6 | 31 | 0,8 |
| Salud Total S.A. | 79 | 4,8 | 58 | 2,5 | 137 | 3,4 |
| Saludcoop | 11 | 0,7 | 9 | 0,4 | 20 | 0,5 |
| Saludvida S.A. EPS | 2 | 0,1 | 3 | 0,1 | 5 | 0,1 |
| Sanitas S.A. | 48 | 2,9 | 61 | 2,6 | 109 | 2,7 |
| Secretaría Distrital de Salud de Bogotá | 77 | 4,7 | 84 | 3,6 | 161 | 4,0 |
| Servicio Occidental de Salud S.A. | 1 | 0,1 | 1 | 0,0 | 2 | 0,1 |
| Solsalud S.A. | 4 | 0,2 | 6 | 0,3 | 10 | 0,3 |
| Sura | 1 | 0,1 | 1 | 0,0 | 2 | 0,1 |
| Susalud | 7 | 0,4 | 9 | 0,4 | 16 | 0,4 |
| Total | 1.637 | 100 | 2.358 | 100 | 3.995 | 100 |

Fuente: Registro Institucional de Cáncer, INC.

Tabla 20. Distribución de casos nuevos de cáncer de la población no asegurada residente en Bogotá, por sexo, según localización, INC, Colombia, 2013.

| Localización primaria | Hombres | | Mujeres | | Total | |
|--|-----------|------------|-----------|------------|------------|------------|
| | No. | % | No. | % | No. | % |
| C01 Base de la lengua | 0 | 0,0 | 1 | 1,2 | 1 | 0,6 |
| C05 Paladar | 1 | 1,3 | 0 | 0,0 | 1 | 0,6 |
| C07 Glándula parótida | 0 | 0,0 | 1 | 1,2 | 1 | 0,6 |
| C09 Amígdala | 1 | 1,3 | 0 | 0,0 | 1 | 0,6 |
| C15 Esófago | 1 | 1,3 | 0 | 0,0 | 1 | 0,6 |
| C16 Estómago | 8 | 10,3 | 1 | 1,2 | 9 | 5,6 |
| C17 Intestino delgado | 2 | 2,6 | 0 | 0,0 | 2 | 1,2 |
| C18 Colon | 4 | 5,1 | 2 | 2,4 | 6 | 3,7 |
| C20 Recto | 6 | 7,7 | 2 | 2,4 | 8 | 4,9 |
| C21 Ano y canal anal | 1 | 1,3 | 0 | 0,0 | 1 | 0,6 |
| C23 Vesícula biliar | 0 | 0,0 | 1 | 1,2 | 1 | 0,6 |
| C25 Páncreas | 1 | 1,3 | 1 | 1,2 | 2 | 1,2 |
| C30 Fosa nasal y oído medio | 1 | 1,3 | 0 | 0,0 | 1 | 0,6 |
| C34 Bronquios y pulmón | 5 | 6,4 | 4 | 4,8 | 9 | 5,6 |
| C37 Timo | 0 | 0,0 | 2 | 2,4 | 2 | 1,2 |
| C38 Corazón, mediastino y pleura | 1 | 1,3 | 0 | 0,0 | 1 | 0,6 |
| C40 Huesos y articulaciones de las extremidades | 2 | 2,6 | 0 | 0,0 | 2 | 1,2 |
| C42 Sistema hematopoyético y reticuloendotelial | 16 | 20,5 | 3 | 3,6 | 19 | 11,7 |
| C44 Piel | 8 | 10,3 | 9 | 10,7 | 17 | 10,5 |
| C48 Retroperitoneo y peritoneo | 0 | 0,0 | 1 | 1,2 | 1 | 0,6 |
| C49 Tejidos conjuntivo, subcutáneo y otros tejidos blandos | 1 | 1,3 | 0 | 0,0 | 1 | 0,6 |
| C50 Mama | 0 | 0,0 | 19 | 22,6 | 19 | 11,7 |
| C51 Vulva | 0 | 0,0 | 1 | 1,2 | 1 | 0,6 |
| C52 Vagina | 0 | 0,0 | 1 | 1,2 | 1 | 0,6 |
| C53 Cuello del útero | 0 | 0,0 | 11 | 13,1 | 11 | 6,8 |
| C54 Cuerpo del útero | 0 | 0,0 | 5 | 6,0 | 5 | 3,1 |
| C56 Ovario | 0 | 0,0 | 3 | 3,6 | 3 | 1,9 |
| C61 Glándula prostática | 3 | 3,8 | 0 | 0,0 | 3 | 1,9 |
| C62 Testículo | 3 | 3,8 | 0 | 0,0 | 3 | 1,9 |
| C64 Riñón | 5 | 6,4 | 2 | 2,4 | 7 | 4,3 |
| C69 Ojos y anexos | 2 | 2,6 | 0 | 0,0 | 2 | 1,2 |
| C71 Encéfalo | 3 | 3,8 | 2 | 2,4 | 5 | 3,1 |
| C73 Glándula tiroides | 0 | 0,0 | 5 | 6,0 | 5 | 3,1 |
| C77 Ganglios linfáticos | 1 | 1,3 | 2 | 2,4 | 3 | 1,9 |
| C80 Localización primaria desconocida | 2 | 2,6 | 5 | 6,0 | 7 | 4,3 |
| Total | 78 | 100 | 84 | 100 | 162 | 100 |

Fuente: Registro Institucional de Cáncer, INC.

Tabla 21. Casos nuevos de cáncer de mama en pacientes residentes en Bogotá, según estado clínico al ingreso y régimen de afiliación, INC, Colombia, 2013.

| Estado clínico | Contributivo | | Subsidiado | | No asegurado | | Particular | | Régimen especial | | Total | |
|----------------|--------------|------------|------------|------------|--------------|------------|------------|------------|------------------|------------|------------|------------|
| | No. | % | No. | % | No. | % | No. | % | No. | % | No. | % |
| In situ | 6 | 3,7 | 9 | 4,2 | 1 | 5,3 | 4 | 9,3 | 0 | 0,0 | 20 | 4,5 |
| I | 11 | 6,7 | 8 | 3,8 | 1 | 5,3 | 5 | 11,6 | 0 | 0,0 | 25 | 5,6 |
| IIA | 34 | 20,7 | 22 | 10,4 | 1 | 5,3 | 4 | 9,3 | 0 | 0,0 | 61 | 13,8 |
| IIB | 19 | 11,6 | 32 | 15,1 | 3 | 15,8 | 9 | 20,9 | 1 | 20,0 | 64 | 14,4 |
| IIIA | 16 | 9,8 | 24 | 11,3 | 2 | 10,5 | 2 | 4,7 | 0 | 0,0 | 44 | 9,9 |
| IIIB | 37 | 22,6 | 58 | 27,4 | 5 | 26,3 | 4 | 9,3 | 1 | 20,0 | 105 | 23,7 |
| IIIC | 5 | 3,0 | 6 | 2,8 | 0 | 0,0 | 2 | 4,7 | 0 | 0,0 | 13 | 2,9 |
| IV | 18 | 11,0 | 26 | 12,3 | 3 | 15,8 | 1 | 2,3 | 0 | 0,0 | 48 | 10,8 |
| Sin dato | 18 | 11,0 | 27 | 12,7 | 3 | 15,8 | 12 | 27,9 | 3 | 60,0 | 63 | 14,2 |
| Total | 164 | 100 | 212 | 100 | 19 | 100 | 43 | 100 | 5 | 100 | 443 | 100 |

Fuente: Registro Institucional de Cáncer, INC.

Tabla 22. Casos nuevos de cáncer de cuello uterino en pacientes residentes en Bogotá, según estado clínico al ingreso y régimen de afiliación, INC, Colombia, 2013.

| Estado clínico | Contributivo | | Subsidiado | | No asegurado | | Particular | | Régimen especial | | Total | |
|----------------|--------------|------------|------------|------------|--------------|------------|------------|------------|------------------|------------|------------|------------|
| | No. | % | No. | % | No. | % | No. | % | No. | % | No. | % |
| In situ | 14 | 21,9 | 64 | 37 | 0 | 0,0 | 4 | 19,0 | 0 | 0 | 82 | 30,1 |
| IA | 3 | 4,7 | 11 | 6,3 | 0 | 0,0 | 0 | 0,0 | 0 | 0 | 14 | 5,1 |
| IB | 17 | 26,6 | 19 | 10,9 | 0 | 0,0 | 5 | 23,8 | 0 | 0,0 | 41 | 15,1 |
| IIA | 1 | 1,6 | 1 | 0,6 | 1 | 9,1 | 0 | 0,0 | 0 | 0,0 | 3 | 1,1 |
| IIB | 7 | 10,9 | 23 | 13,2 | 2 | 18,2 | 3 | 14,3 | 1 | 50,0 | 36 | 13,2 |
| IIIA | 0 | 0,0 | 2 | 1,1 | 0 | 0,0 | 0 | 0,0 | 0 | 0,0 | 2 | 0,7 |
| IIIB | 10 | 15,6 | 31 | 17,8 | 7 | 63,6 | 5 | 23,8 | 1 | 50,0 | 54 | 19,9 |
| IVA | 3 | 4,7 | 5 | 2,9 | 0 | 0,0 | 1,0 | 4,8 | 0 | 0,0 | 9 | 3,3 |
| IVB | 4 | 6,3 | 7 | 4,0 | 0 | 0,0 | 1,0 | 4,8 | 0 | 0,0 | 12 | 4,4 |
| Sin dato | 5 | 7,8 | 11 | 6,3 | 1 | 9,1 | 2 | 9,5 | 0 | 0,0 | 19 | 7,0 |
| Total | 64 | 100 | 174 | 100 | 11 | 100 | 21 | 100 | 2 | 100 | 272 | 100 |

Fuente: Registro Institucional de Cáncer, INC.



A large, stylized number '9' graphic in a darker shade of blue, positioned on the left side of the page. The '9' is composed of a thick, curved line that forms the top and right sides, with a smaller, solid circle at the bottom left, creating a sense of depth and movement.

El Registro de Mortalidad Institucional presenta la información anual sobre las muertes ocurridas en el **INC**, a partir de los de los certificados de defunción diligenciados.



2. Mortalidad Institucional

Anuario Estadístico

Tabla 23. Defunciones certificadas, por sitio de defunción, según sexo y grupos de edad, INC, Colombia, 2013.

| Sexo y grupos de edad | Sitio de defunción | | | | Total |
|-----------------------|--------------------|-------------|------------------|-------------|--------------|
| | Hospital | | Casa o domicilio | | |
| | No. | % | No. | % | |
| Hombres | | | | | |
| De 0 a 14 años | 15 | 93,8 | 1 | 6,3 | 16 |
| De 15 a 44 años | 66 | 81,5 | 15 | 18,5 | 81 |
| De 45 a 54 años | 56 | 74,7 | 19 | 25,3 | 75 |
| De 55 a 64 años | 102 | 79,1 | 27 | 20,9 | 129 |
| De 65 y más años | 185 | 71,4 | 74 | 28,6 | 259 |
| Total | 424 | 75,7 | 136 | 24,3 | 560 |
| Mujeres | | | | | |
| De 0 a 14 años | 19 | 100,0 | 0 | 0,0 | 19 |
| De 15 a 44 años | 67 | 89,3 | 8 | 10,7 | 75 |
| De 45 a 54 años | 84 | 84 | 16 | 16 | 100 |
| De 55 a 64 años | 112 | 71,8 | 44 | 28,2 | 156 |
| De 65 y más años | 179 | 69,1 | 80 | 30,9 | 259 |
| Total | 461 | 75,7 | 148 | 24,3 | 609 |
| Ambos sexos | | | | | |
| De 0 a 14 años | 34 | 97,1 | 1 | 2,9 | 35 |
| De 15 a 44 años | 133 | 85,3 | 23 | 14,7 | 156 |
| De 45 a 54 años | 140 | 80,0 | 35 | 20,0 | 175 |
| De 55 a 64 años | 214 | 75,1 | 71 | 24,9 | 285 |
| De 65 y más años | 364 | 70,3 | 154 | 29,7 | 518 |
| Total | 885 | 75,7 | 284 | 24,3 | 1.169 |

Fuente: Grupo Vigilancia Epidemiológica del Cáncer, INC.



Tabla 24. Mortalidad por sitio de defunción, según lugar de residencia habitual, INC, Colombia, 2013.

| Departamento de residencia habitual | Sitio de defunción | | | | Total |
|-------------------------------------|--------------------|-------------|------------------|-------------|--------------|
| | Hospital | | Casa o domicilio | | |
| | No. | % | No. | % | |
| Amazonas | 1 | 100 | 0 | 0,0 | 1 |
| Arauca | 6 | 100 | 0 | 0 | 6 |
| Atlántico | 2 | 100 | 0 | 0,0 | 2 |
| Bogotá, D. C. | 597 | 71,1 | 243 | 28,9 | 840 |
| Bolívar | 1 | 100 | 0 | 0,0 | 1 |
| Boyacá | 56 | 91,8 | 5 | 8,2 | 61 |
| Caldas | 1 | 100 | 0 | 0,0 | 1 |
| Caquetá | 7 | 100 | 0 | 0,0 | 7 |
| Casanare | 12 | 92,3 | 1 | 7,7 | 13 |
| Cauca | 1 | 100 | 0 | 0,0 | 1 |
| Cesar | 12 | 100 | 0 | 0,0 | 12 |
| Chocó | 2 | 100 | 0 | 0,0 | 2 |
| Cundinamarca | 104 | 83,2 | 21 | 16,8 | 125 |
| Guaviare | 3 | 100 | 0 | 0,0 | 3 |
| Huila | 2 | 100 | 0 | 0,0 | 2 |
| La Guajira | 1 | 100 | 0 | 0,0 | 1 |
| Magdalena | 1 | 100 | 0 | 0,0 | 1 |
| Meta | 18 | 94,7 | 1 | 5,3 | 19 |
| Nariño | 1 | 100 | 0 | 0 | 1 |
| Norte de Santander | 6 | 85,7 | 1 | 14,3 | 7 |
| Putumayo | 1 | 50 | 1 | 50,0 | 2 |
| San Andrés | 2 | 100 | 0 | 0,0 | 2 |
| Santander | 3 | 60 | 2 | 40 | 5 |
| Sucre | 1 | 100 | 0 | 0,0 | 1 |
| Tolima | 43 | 82,7 | 9 | 17,3 | 52 |
| Vaupés | 1 | 100 | 0 | 0,0 | 1 |
| Total | 885 | 75,7 | 284 | 24,3 | 1.169 |

Fuente: Grupo Vigilancia Epidemiológica del Cáncer, INC.



Tabla 25. Mortalidad por régimen de afiliación al SGSSS, según lugar de residencia habitual, INC, Colombia, 2013.

| Departamento de residencia habitual | Régimen de afiliación | | | | Total |
|-------------------------------------|-----------------------|------------|-----------|--------------|--------------|
| | Contributivo | Subsidiado | Excepción | No asegurado | |
| Amazonas | 0 | 1 | 0 | 0 | 1 |
| Arauca | 1 | 5 | 0 | 0 | 6 |
| Atlántico | 1 | 1 | 0 | 0 | 2 |
| Bogotá, D. C. | 0 | 1 | 0 | 1 | 2 |
| Bolívar | 367 | 414 | 1 | 58 | 840 |
| Boyacá | 0 | 0 | 1 | 0 | 1 |
| Caldas | 24 | 35 | 1 | 1 | 61 |
| Caquetá | 0 | 1 | 0 | 0 | 1 |
| Casanare | 0 | 6 | 1 | 0 | 7 |
| Cauca | 4 | 8 | 1 | 0 | 13 |
| Cesar | 0 | 1 | 0 | 0 | 1 |
| Chocó | 5 | 6 | 1 | 0 | 12 |
| Cundinamarca | 0 | 2 | 0 | 0 | 2 |
| Guaviare | 60 | 62 | 0 | 3 | 125 |
| Huila | 1 | 2 | 0 | 0 | 3 |
| La Guajira | 1 | 1 | 0 | 0 | 2 |
| Magdalena | 0 | 1 | 0 | 0 | 1 |
| Meta | 1 | 0 | 0 | 0 | 1 |
| Nariño | 8 | 6 | 4 | 1 | 19 |
| Norte de Santander | 0 | 1 | 0 | 0 | 1 |
| Putumayo | 3 | 3 | 0 | 1 | 7 |
| San Andrés | 1 | 0 | 1 | 0 | 2 |
| Santander | 2 | 3 | 0 | 0 | 5 |
| Sucre | 0 | 1 | 0 | 0 | 1 |
| Tolima | 19 | 27 | 2 | 4 | 52 |
| Vaupés | 0 | 0 | 1 | 0 | 1 |
| Total | 498 | 588 | 14 | 69 | 1.169 |

Fuente: Grupo Vigilancia Epidemiológica del Cáncer, INC.



Tabla 26. Mortalidad por sitio de defunción, según causa básica de defunción, hombres, INC, Colombia, 2013.

| Causa básica de defunción* | Sitio de defunción | | Total |
|--|--------------------|------------------|------------|
| | Hospital | Casa o domicilio | |
| Enfermedad por VIH | 2 | 1 | 3 |
| Tumores malignos de labio, boca y faringe | 19 | 7 | 26 |
| Tumor maligno del esófago | 21 | 9 | 30 |
| Tumor maligno del estómago | 68 | 31 | 99 |
| Tumor maligno del colon, recto y ano | 32 | 18 | 50 |
| Tumor maligno del hígado y vía biliar intrahepática | 6 | 1 | 7 |
| Tumor maligno del páncreas | 8 | 7 | 15 |
| Tumor maligno de la laringe | 8 | 1 | 9 |
| Tumor maligno de la tráquea, bronquios y pulmón | 27 | 4 | 31 |
| Melanoma maligno de la piel | 7 | 2 | 9 |
| Tumor maligno de la próstata | 41 | 16 | 57 |
| Tumor maligno de la vejiga urinaria | 8 | 1 | 9 |
| Tumor maligno de meninges, encéfalo y resto del SNC | 12 | 3 | 15 |
| Linfoma no Hodgkin | 41 | 3 | 44 |
| Mieloma múltiple y tumores malignos de células plasmáticas | 7 | 1 | 8 |
| Leucemia | 28 | 2 | 30 |
| Resto de tumores malignos | 73 | 28 | 101 |
| Anemias | 1 | 0 | 1 |
| Otras enfermedades del corazón | 1 | 0 | 1 |
| Enfermedades cerebrovasculares | 2 | 0 | 2 |
| Resto de enfermedades del sistema circulatorio | 1 | 0 | 1 |
| Neumonía | 2 | 0 | 2 |
| Enfermedades crónicas de las vías resp. inferiores | 2 | 0 | 2 |
| Enfermedades del hígado | 2 | 0 | 2 |
| Todas las demás enfermedades | 5 | 1 | 6 |
| Total | 424 | 136 | 560 |

*Agrupada según lista 2 para mortalidad de la Clasificación Estadística Internacional de Enfermedades y Problemas Relacionados con la Salud, décima revisión (CIE-10).

Fuente: Grupo Vigilancia Epidemiológica del Cáncer, INC.



Tabla 27. Mortalidad por sitio de defunción, según causa básica de defunción, mujeres, INC, Colombia, 2013.

| Causa básica de defunción* | Sitio de defunción | | Total |
|---|--------------------|------------------|------------|
| | Hospital | Casa o domicilio | |
| Hepatitis viral | 1 | 0 | 1 |
| Enfermedad por VIH | 0 | 1 | 1 |
| Tumores malignos de labio, boca y faringe | 8 | 2 | 10 |
| Tumor maligno del esófago | 7 | 5 | 12 |
| Tumor maligno del estómago | 35 | 29 | 64 |
| Tumor maligno del colon, recto y ano | 38 | 12 | 50 |
| Tumor maligno del hígado y vía biliar intrahepática | 4 | 0 | 4 |
| Tumor maligno del páncreas | 11 | 6 | 17 |
| Tumor maligno de la laringe | 2 | 0 | 2 |
| Tumor maligno de la tráquea, bronquios y pulmón | 13 | 6 | 19 |
| Melanoma maligno de la piel | 8 | 3 | 11 |
| Tumor maligno de la mama | 88 | 21 | 109 |
| Tumor maligno del cuello del útero | 40 | 16 | 56 |
| Tumor maligno de otros sitios del útero | 13 | 5 | 18 |
| Tumor maligno del ovario | 24 | 9 | 33 |
| Tumor maligno de la vejiga urinaria | 4 | 1 | 5 |
| Tumor maligno de meninges, encéfalo y resto del SNC | 12 | 0 | 12 |
| Linfoma no Hodgkin | 25 | 3 | 28 |
| Mieloma múltiple y tumores malignos de células plasmáticas | 8 | 1 | 9 |
| Leucemia | 35 | 1 | 36 |
| Resto de tumores malignos | 70 | 26 | 96 |
| Diabetes mellitus | 1 | 0 | 1 |
| Enfermedades hipertensivas | 2 | 0 | 2 |
| Enfermedades isquémicas del corazón | 1 | 0 | 1 |
| Otras enfermedades del corazón | 1 | 0 | 1 |
| Enfermedades crónicas de las vías resp. inferiores | 0 | 1 | 1 |
| Malformaciones congénitas deformidades y anomalías cromosómicas | 1 | 0 | 1 |
| Todas las demás enfermedades | 9 | 0 | 9 |
| Total | 461 | 148 | 609 |

*Agrupada según lista 2 para mortalidad de la Clasificación Estadística Internacional de Enfermedades y Problemas Relacionados con la Salud, décima revisión (CIE-10).

Fuente: Grupo Vigilancia Epidemiológica del Cáncer, INC.

Tabla 28. Mortalidad por régimen de afiliación al SGSSS, según causa básica de defunción, hombres, INC, Colombia, 2013.

| Causa básica de defunción* | Régimen de afiliación | | | | Total |
|--|-----------------------|------------|-----------|--------------|------------|
| | Contributivo | Subsidiado | Excepción | No asegurado | |
| Enfermedad por VIH | 0 | 0 | 0 | 3 | 3 |
| Tumores malignos de labio, boca y faringe | 11 | 0 | 1 | 14 | 26 |
| Tumor maligno del esófago | 13 | 0 | 4 | 13 | 30 |
| Tumor maligno del estómago | 52 | 1 | 6 | 40 | 99 |
| Tumor maligno del colon, recto y ano | 21 | 0 | 2 | 27 | 50 |
| Tumor maligno del hígado y vía biliar intrahepática | 2 | 0 | 1 | 4 | 7 |
| Tumor maligno del páncreas | 9 | 0 | 1 | 5 | 15 |
| Tumor maligno de la laringe | 4 | 0 | 0 | 5 | 9 |
| Tumor maligno de la tráquea, bronquios y pulmón | 17 | 0 | 3 | 11 | 31 |
| Melanoma maligno de la piel | 2 | 0 | 0 | 7 | 9 |
| Tumor maligno de la próstata | 35 | 0 | 2 | 20 | 57 |
| Tumor maligno de la vejiga urinaria | 5 | 0 | 1 | 3 | 9 |
| Tumor maligno de meninges, encéfalo y resto del SNC | 5 | 0 | 2 | 8 | 15 |
| Linfoma no Hodgkin | 14 | 1 | 3 | 26 | 44 |
| Mieloma múltiple y tumores malignos de células plasmáticas | 3 | 0 | 1 | 4 | 8 |
| Leucemia | 11 | 0 | 2 | 17 | 30 |
| Resto de tumores malignos | 39 | 1 | 8 | 53 | 101 |
| Anemias | 0 | 0 | 0 | 1 | 1 |
| Otras enfermedades del corazón | 0 | 0 | 0 | 1 | 1 |
| Enfermedades cerebrovasculares | 1 | 0 | 0 | 1 | 2 |
| Resto de enfermedades del sistema circulatorio | 1 | 0 | 0 | 0 | 1 |
| Neumonía | 1 | 0 | 0 | 1 | 2 |
| Enfermedades crónicas de las vías resp. inferiores | 2 | 0 | 0 | 0 | 2 |
| Enfermedades del hígado | 0 | 0 | 0 | 2 | 2 |
| Todas las demás enfermedades | 1 | 0 | 1 | 4 | 6 |
| Total | 249 | 3 | 38 | 270 | 560 |

*Agrupada según lista 2 para mortalidad de la Clasificación Estadística Internacional de Enfermedades y Problemas Relacionados con la Salud, décima revisión (CIE-10).

Fuente: Grupo Vigilancia Epidemiológica del Cáncer, INC.



Tabla 29. Mortalidad por régimen de afiliación al SGSSS, según causa básica de defunción, mujeres, INC, Colombia, 2013.

| Causa básica de defunción* | Régimen de afiliación | | | | Total |
|---|-----------------------|------------|-----------|--------------|------------|
| | Contributivo | Subsidiado | Excepción | No asegurado | |
| Hepatitis viral | 0 | 0 | 0 | 1 | 1 |
| Enfermedad por VIH | 0 | 0 | 0 | 1 | 1 |
| Tumores malignos de labio, boca y faringe | 6 | 0 | 0 | 4 | 10 |
| Tumor maligno del esófago | 7 | 0 | 0 | 5 | 12 |
| Tumor maligno del estómago | 25 | 1 | 3 | 35 | 64 |
| Tumor maligno del colon, recto y ano | 18 | 0 | 3 | 29 | 50 |
| Tumor maligno del hígado y vía biliar intrahepática | 1 | 0 | 0 | 3 | 4 |
| Tumor maligno del páncreas | 10 | 0 | 1 | 6 | 17 |
| Tumor maligno de la laringe | 0 | 0 | 0 | 2 | 2 |
| Tumor maligno de la tráquea, bronquios y pulmón | 7 | 1 | 2 | 9 | 19 |
| Melanoma maligno de la piel | 1 | 0 | 0 | 10 | 11 |
| Tumor maligno de la mama | 41 | 2 | 6 | 60 | 109 |
| Tumor maligno del cuello del útero | 13 | 0 | 1 | 42 | 56 |
| Tumor maligno de otros sitios del útero | 7 | 1 | 1 | 9 | 18 |
| Tumor maligno del ovario | 18 | 1 | 2 | 12 | 33 |
| Tumor maligno de la vejiga urinaria | 3 | 0 | 1 | 1 | 5 |
| Tumor maligno de meninges, encéfalo y resto del SNC | 5 | 0 | 1 | 6 | 12 |
| Linfoma no Hodgkin | 12 | 0 | 1 | 15 | 28 |
| Mieloma múltiple y tumores malignos de células plasmáticas | 7 | 1 | 0 | 1 | 9 |
| Leucemia | 10 | 1 | 1 | 24 | 36 |
| Resto de tumores malignos | 49 | 2 | 8 | 37 | 96 |
| Diabetes mellitus | 0 | 0 | 0 | 1 | 1 |
| Enfermedades hipertensivas | 0 | 0 | 0 | 2 | 2 |
| Enfermedades isquémicas del corazón | 1 | 0 | 0 | 0 | 1 |
| Otras enfermedades del corazón | 0 | 0 | 0 | 1 | 1 |
| Enfermedades crónicas de las vías resp. inferiores | 1 | 0 | 0 | 0 | 1 |
| Malformaciones congénitas deformidades y anomalías cromosómicas | 1 | 0 | 0 | 0 | 1 |
| Todas las demás enfermedades | 6 | 1 | 0 | 2 | 9 |
| Total | 249 | 11 | 31 | 318 | 609 |

*Agrupada según lista 2 para mortalidad de la Clasificación Estadística Internacional de Enfermedades y Problemas Relacionados con la Salud, décima revisión (CIE-10).

Fuente: Grupo Vigilancia Epidemiológica del Cáncer, INC.

Tabla 30. Mortalidad por área de residencia habitual, según causa básica de defunción, INC, Colombia, 2013.

| Causa básica de defunción* | Área de residencia habitual | | | Total |
|---|-----------------------------|----------------|----------------|--------------|
| | Cabecera municipal | Centro poblado | Rural disperso | |
| Hepatitis viral | 1 | 0 | 0 | 1 |
| Enfermedad por VIH | 4 | 0 | 0 | 4 |
| Tumores malignos de labio, boca y faringe | 30 | 2 | 4 | 36 |
| Tumor maligno del esófago | 36 | 1 | 5 | 42 |
| Tumor maligno del estómago | 151 | 0 | 12 | 163 |
| Tumor maligno del colon, recto y ano | 95 | 0 | 5 | 100 |
| Tumor maligno del hígado y vía biliar intrahepática | 11 | 0 | 0 | 11 |
| Tumor maligno del páncreas | 30 | 0 | 2 | 32 |
| Tumor maligno de la laringe | 11 | 0 | 0 | 11 |
| Tumor maligno de la tráquea, bronquios y pulmón | 48 | 0 | 2 | 50 |
| Melanoma maligno de la piel | 18 | 0 | 2 | 20 |
| Tumor maligno de la mama | 100 | 2 | 7 | 109 |
| Tumor maligno del cuello del útero | 49 | 0 | 7 | 56 |
| Tumor maligno de otros sitios útero y sitios no especificados | 16 | 0 | 2 | 18 |
| Tumor maligno del ovario | 32 | 0 | 1 | 33 |
| Tumor maligno de la próstata | 51 | 2 | 4 | 57 |
| Tumor maligno de la vejiga urinaria | 14 | 0 | 0 | 14 |
| Tumor maligno de meninges, encéfalo y resto SNC | 23 | 0 | 4 | 27 |
| Linfoma no Hodgkin | 64 | 0 | 8 | 72 |
| Mieloma múltiple y tumores malignos de cel. plasmáticas | 16 | 0 | 1 | 17 |
| Leucemia | 60 | 0 | 6 | 66 |
| Resto de tumores malignos | 177 | 3 | 17 | 197 |
| Anemias | 1 | 0 | 0 | 1 |
| Diabetes mellitus | 1 | 0 | 0 | 1 |
| Enfermedades hipertensivas | 2 | 0 | 0 | 2 |
| Enfermedades isquémicas del corazón | 1 | 0 | 0 | 1 |
| Otras enfermedades del corazón | 1 | 0 | 1 | 2 |
| Enfermedades cerebrovasculares | 0 | 0 | 2 | 2 |
| Resto de enfermedades del sistema circulatorio | 1 | 0 | 0 | 1 |
| Neumonía | 2 | 0 | 0 | 2 |
| Enfermedades crónicas de las vías resp. inferiores | 3 | 0 | 0 | 3 |
| Enfermedades del hígado | 2 | 0 | 0 | 2 |
| Malformaciones congénitas deformidades y anomalías cromosómicas | 1 | 0 | 0 | 1 |
| Todas las demás enfermedades | 13 | 0 | 2 | 15 |
| Total | 1.065 | 10 | 94 | 1.169 |

*Agrupada según lista 2 para mortalidad de la Clasificación Estadística Internacional de Enfermedades y Problemas Relacionados con la Salud, décima revisión (CIE-10).

Fuente: Grupo Vigilancia Epidemiológica del Cáncer, INC.

Tabla 31. Mortalidad por grandes grupos de edad, según causa básica de defunción, INC, Colombia, 2013.

| Causa básica de defunción* | Grupos de edad (años) | | | | | Total |
|---|-----------------------|------------|------------|------------|-------------|--------------|
| | De 0 a 14 | De 15 a 44 | De 45 a 54 | De 55 a 64 | De 65 y más | |
| Hepatitis viral | 0 | 0 | 0 | 1 | 0 | 1 |
| Enfermedad por VIH | 0 | 1 | 2 | 1 | 0 | 4 |
| Tumores malignos de labio, boca y faringe | 0 | 6 | 7 | 5 | 18 | 36 |
| Tumor maligno del esófago | 0 | 2 | 4 | 7 | 29 | 42 |
| Tumor maligno del estómago | 0 | 12 | 28 | 46 | 77 | 163 |
| Tumor maligno del colon, recto y ano | 0 | 11 | 11 | 28 | 50 | 100 |
| Tumor maligno del hígado y vía biliar intrahepática | 0 | 4 | 0 | 2 | 5 | 11 |
| Tumor maligno del páncreas | 0 | 2 | 4 | 8 | 18 | 32 |
| Tumor maligno de la laringe | 0 | 1 | 1 | 4 | 5 | 11 |
| Tumor maligno de la tráquea, bronquios y pulmón | 0 | 2 | 8 | 9 | 31 | 50 |
| Melanoma maligno de la piel | 0 | 3 | 2 | 5 | 10 | 20 |
| Tumor maligno de la mama | 0 | 13 | 28 | 34 | 34 | 109 |
| Tumor maligno del cuello del útero | 0 | 12 | 11 | 13 | 20 | 56 |
| Tumor maligno de otros sitios útero y sitios no especificados | 0 | 1 | 2 | 6 | 9 | 18 |
| Tumor maligno del ovario | 0 | 1 | 7 | 12 | 13 | 33 |
| Tumor maligno de la próstata | 0 | 0 | 2 | 8 | 47 | 57 |
| Tumor maligno de la vejiga urinaria | 0 | 1 | 2 | 3 | 8 | 14 |
| Tumor maligno de meninges, encéfalo y resto SNC | 9 | 13 | 2 | 3 | 0 | 27 |
| Linfoma no Hodgkin | 6 | 7 | 8 | 17 | 34 | 72 |
| Mieloma múltiple y tumores malignos de cel. plasmáticas | 0 | 1 | 2 | 6 | 8 | 17 |
| Leucemia | 15 | 24 | 6 | 10 | 11 | 66 |
| Resto de tumores malignos | 5 | 36 | 33 | 51 | 72 | 197 |
| Anemias | 0 | 1 | 0 | 0 | 0 | 1 |
| Diabetes mellitus | 0 | 0 | 0 | 0 | 1 | 1 |
| Enfermedades hipertensivas | 0 | 0 | 0 | 1 | 1 | 2 |
| Enfermedades isquémicas del corazón | 0 | 0 | 0 | 0 | 1 | 1 |
| Otras enfermedades del corazón | 0 | 0 | 0 | 0 | 2 | 2 |
| Enfermedades cerebrovasculares | 0 | 0 | 0 | 1 | 1 | 2 |
| Resto de enfermedades del sistema circulatorio | 0 | 0 | 0 | 0 | 1 | 1 |
| Neumonía | 0 | 0 | 1 | 0 | 1 | 2 |
| Enfermedades crónicas de las vías resp. inferiores | 0 | 0 | 0 | 1 | 2 | 3 |
| Enfermedades del hígado | 0 | 0 | 0 | 1 | 1 | 2 |
| Malformaciones congénitas deformidades y anomalías cromosómicas | 0 | 0 | 0 | 0 | 1 | 1 |
| Todas las demás enfermedades | 0 | 2 | 4 | 2 | 7 | 15 |
| Total | 35 | 156 | 175 | 285 | 518 | 1.169 |

*Agrupada según lista 2 para mortalidad de la Clasificación Estadística Internacional de Enfermedades y Problemas Relacionados con la Salud, décima revisión (CIE-10).

Fuente: Grupo Vigilancia Epidemiológica del Cáncer, INC

Tabla 32. Mortalidad por sitio de defunción, según mes de la defunción, INC, Colombia, 2013.

| Mes de la defunción | Sitio de defunción | | | Total |
|---------------------|--------------------|------------------|--------------|--------------|
| | Hospital | Casa o domicilio | Otros sitios | |
| Enero | 76 | 19 | | 95 |
| Febrero | 65 | 24 | | 89 |
| Marzo | 79 | 31 | | 110 |
| Abril | 82 | 19 | | 101 |
| Mayo | 86 | 24 | | 110 |
| Junio | 78 | 27 | | 105 |
| Julio | 65 | 27 | | 92 |
| Agosto | 72 | 23 | | 95 |
| Septiembre | 77 | 19 | | 96 |
| Octubre | 83 | 20 | | 103 |
| Noviembre | 59 | 24 | | 83 |
| Diciembre | 63 | 27 | | 90 |
| Total | 885 | 284 | | 1.169 |

Fuente: Grupo Vigilancia Epidemiológica del Cáncer, INC.

Tabla 33. Mortalidad por sitio de defunción, según nivel educativo, INC, Colombia, 2013.

| Nivel educativo | Sitio de defunción | | | Total |
|---------------------|--------------------|------------------|--------------|--------------|
| | Hospital | Casa o domicilio | Otros sitios | |
| Preescolar | 36 | 4 | | 40 |
| Básica primaria | 423 | 138 | | 561 |
| Básica secundaria | 127 | 26 | | 153 |
| Media académica | 72 | 11 | | 83 |
| Media técnica | 16 | 2 | | 18 |
| Normalista | 1 | 1 | | 2 |
| Técnica profesional | 15 | 9 | | 24 |
| Tecnológica | 16 | 2 | | 18 |
| Profesional | 41 | 11 | | 52 |
| Especialización | 3 | 1 | | 4 |
| Maestría | 2 | 0 | | 2 |
| Doctorado | 1 | 0 | | 1 |
| Ninguno | 61 | 27 | | 88 |
| Sin información | 71 | 52 | | 123 |
| Total | 885 | 284 | | 1.169 |

Fuente: Grupo Vigilancia Epidemiológica del Cáncer, INC.

Tabla 34. Mortalidad según horas de estancia hospitalaria, INC, Colombia, 2013.

| Estancia agrupada | 1er. trimestre | 2do. trimestre | 3er. trimestre | 4to. trimestre |
|---------------------------------------|----------------|----------------|----------------|----------------|
| Muertes ocurridas antes de 24 horas | 58 | 54 | 56 | 47 |
| Muertes ocurridas entre 24 y 48 horas | 31 | 31 | 28 | 37 |
| Muertes ocurridas después de 48 horas | 131 | 161 | 130 | 121 |
| Total mortalidad hospitalaria | 220 | 246 | 214 | 205 |

Fuente: Grupo Vigilancia Epidemiológica del Cáncer, INC.

Tabla 35. Mortalidad por localidad con residencia habitual en Bogotá, INC, Colombia, 2013.

| Localidad | Hombres | Mujeres | Total | % |
|----------------|------------|------------|------------|------------|
| Antonio Nariño | 4 | 8 | 12 | 1,4 |
| Barrios Unidos | 8 | 8 | 16 | 1,9 |
| Bosa | 41 | 37 | 78 | 9,3 |
| Chapinero | 6 | 9 | 15 | 1,8 |
| Ciudad Bolívar | 39 | 52 | 91 | 10,8 |
| Engativá | 37 | 47 | 84 | 10,0 |
| Fontibón | 13 | 12 | 25 | 3,0 |
| Kennedy | 44 | 41 | 85 | 10,1 |
| La Candelaria | 3 | 1 | 4 | 0,5 |
| Los Mártires | 7 | 7 | 14 | 1,7 |
| Puente Aranda | 28 | 20 | 48 | 5,7 |
| Rafael Uribe | 33 | 47 | 80 | 9,5 |
| San Cristóbal | 34 | 37 | 71 | 8,5 |
| Santafé | 10 | 14 | 24 | 2,9 |
| Suba | 35 | 48 | 83 | 9,9 |
| Teusaquillo | 3 | 4 | 7 | 0,8 |
| Tunjuelito | 21 | 25 | 46 | 5,5 |
| Usaquén | 4 | 5 | 9 | 1,1 |
| Usme | 29 | 19 | 48 | 5,7 |
| Total | 399 | 441 | 840 | 100 |

Fuente: Grupo Vigilancia Epidemiológica del Cáncer, INC.



A large, stylized number '3' is rendered in a dark orange color, positioned on the left side of the page. The number is composed of thick, rounded strokes, with the top and bottom loops being semi-circular. The background is a solid, lighter orange color.

La Producción Hospitalaria presenta la información anual de las actividades y los indicadores sobre la prestación de la atención oncológica en el **INC**.



3. Producción Hospitalaria

Anuario Estadístico

Tabla 36. Producción trimestral consolidada según tipo de actividades e indicadores, INC, Colombia, 2013.

| Actividades asistenciales e indicadores | 1er. trimestre | 2o. trimestre | 3er. trimestre | 4o. trimestre | Total |
|---|----------------|---------------|----------------|---------------|---------|
| Consultas totales | 30.188 | 32.988 | 31.646 | 28.778 | 123.600 |
| Consultas de urgencias | 2.914 | 2.954 | 3.168 | 2.943 | 11.979 |
| Consultas de urgencias pediátricas | 246 | 305 | 253 | 248 | 1.052 |
| Consultas de control | 19.053 | 21.023 | 20.188 | 18.527 | 78.791 |
| Interconsultas GAICA* | 211 | 233 | 175 | 192 | 811 |
| Interconsultas hospitalarias | 4.925 | 5.208 | 4.899 | 4.302 | 19.334 |
| Junta de decisiones | 971 | 1.204 | 1.049 | 946 | 4.170 |
| Pacientes primera vez en la vida | 1.868 | 2.061 | 1.914 | 1.620 | 7.463 |
| Concentración consulta externa | 16,2 | 16,0 | 16,5 | 17,8 | 16,6 |
| Egresos hospitalarios | 1.228 | 1.401 | 1.400 | 1.537 | 5.566 |
| Total días estancia egresos | 13.048 | 14.945 | 15.049 | 15.678 | 58.720 |
| Promedio estancia | 10,6 | 10,7 | 10,7 | 10,2 | 10,5 |
| Relación consulta egreso | 24,6 | 23,5 | 22,6 | 18,7 | 22,2 |
| Días cama disponible | 14.728 | 15.755 | 16.006 | 15.932 | 62.421 |
| Días cama utilizada | 13.114 | 14.197 | 14.618 | 14.091 | 56.020 |
| Días cama desocupada | 1.614 | 1.558 | 1.388 | 1.841 | 6.401 |
| Porcentaje de ocupación | 89,0 | 90,1 | 91,3 | 88,4 | 89,7 |
| Porcentaje de desocupación | 11,0 | 9,9 | 8,7 | 11,6 | 10,3 |
| Giro cama | 2,6 | 3,0 | 3,0 | 3,2 | 2,9 |
| Intervalo de sustitución | 1,3 | 1,2 | 1,0 | 1,3 | 1,2 |

* Grupo de Atención Inmediata en Cáncer

Fuente: Oficina Asesora de Planeación, INC.



Tabla 37. Producción trimestral de consulta externa, según servicio, INC, Colombia, 2013.

| Servicio | 1er. trimestre | 2o. trimestre | 3er. trimestre | 4o. trimestre | Total |
|-----------------------------------|----------------|---------------|----------------|---------------|----------------|
| Anestesia | 1.210 | 1.280 | 1.253 | 1.058 | 4.801 |
| Cardiología | 1.006 | 1.058 | 1.125 | 988 | 4.177 |
| Cirugía de cabeza y cuello | 1.437 | 1.390 | 1.145 | 977 | 4.949 |
| Cirugía de seno y tejidos blandos | 2.264 | 2.451 | 2.504 | 1.981 | 9.200 |
| Cirugía de tórax | 478 | 498 | 586 | 383 | 1.945 |
| Cirugía vascular | 63 | 76 | 64 | 65 | 268 |
| Clínica de piel | 1.450 | 2.000 | 1.847 | 1.794 | 7.091 |
| Cuidado crítico | 167 | 207 | 166 | 153 | 693 |
| Cuidados paliativos | 1.171 | 1.183 | 1.399 | 1.423 | 5.176 |
| Endocrinología | 847 | 935 | 1.027 | 958 | 3.767 |
| Gastroenterología | 2.853 | 3.175 | 3.188 | 2.946 | 12.162 |
| Ginecología | 2.225 | 2.276 | 2.313 | 1.965 | 8.779 |
| Grupo reconstructivo | 1.512 | 1.588 | 1.742 | 1.807 | 6.649 |
| Hematología | 2.070 | 2.142 | 2.262 | 2.200 | 8.674 |
| Infectología | 85 | 76 | 77 | 87 | 325 |
| Medicina interna | 496 | 571 | 491 | 428 | 1.986 |
| Medicina nuclear | 384 | 489 | 980 | 1834 | 3.687 |
| Neumología | 574 | 642 | 638 | 680 | 2.534 |
| Neurocirugía | 356 | 361 | 374 | 317 | 1.408 |
| Neurología | 106 | 151 | 170 | 131 | 558 |
| Odontología | 173 | 170 | 269 | 339 | 951 |
| Oftalmología | 545 | 571 | 573 | 531 | 2.220 |
| Oncología clínica | 9.593 | 10.988 | 11.142 | 10.965 | 42.688 |
| Oncología pediátrica | 1.199 | 1.440 | 1.287 | 1.342 | 5.268 |
| Ortopedia | 790 | 783 | 790 | 792 | 3.155 |
| Otorrinolaringología | 0 | 0 | 97 | 152 | 249 |
| Pediatría cirugía | 133 | 121 | 107 | 94 | 455 |
| Pediatría urgencias | 246 | 305 | 253 | 248 | 1.052 |
| Psicología | 188 | 234 | 258 | 241 | 921 |
| Radioterapia | 1.277 | 1.348 | 1.289 | 1.039 | 4.953 |
| Rehabilitación | 2.862 | 3.707 | 3.934 | 3.917 | 14.420 |
| Salud mental | 205 | 242 | 252 | 225 | 924 |
| Soporte metabólico | 334 | 399 | 423 | 375 | 1.531 |
| Terapia respiratoria | 427 | 459 | 467 | 478 | 1.831 |
| Urgencias | 2.914 | 2.954 | 3.168 | 2.943 | 11.979 |
| Urología | 2.011 | 2.036 | 1.993 | 2.196 | 8.236 |
| Total | 43.651 | 48.306 | 49.653 | 48.052 | 189.662 |

Fuente: Oficina Asesora de Planeación, INC.

Tabla 38. Producción trimestral de radioterapia, según tipo de procedimientos, INC, Colombia, 2013.

| Procedimientos | 1er. trimestre | 2o. trimestre | 3er. trimestre | 4o. trimestre | Total |
|--|----------------|---------------|----------------|---------------|---------------|
| Pacientes nuevos atendidos en teleterapia | 424 | 402 | 510 | 396 | 1.732 |
| Sesiones de radioterapia | | | | | |
| Sesiones de teleterapia con acelerador | 8.879 | 9.077 | 11.580 | 9.373 | 38.909 |
| Sesiones de teleterapia con cobzalto | 0 | 0 | 0 | 0 | 0 |
| Total sesiones | 8.879 | 9.077 | 11.580 | 9.373 | 38.909 |
| Simulaciones convencionales | 480 | 437 | 513 | 378 | 1.808 |
| Aplicaciones de braquiterapia de baja tasa | 0 | 0 | 0 | 0 | 0 |
| Aplicaciones de braquiterapia de alta tasa | 189 | 108 | 211 | 141 | 649 |
| Total aplicaciones de braquiterapia | 189 | 108 | 211 | 141 | 649 |

Fuente: Grupo Radioterapia, INC.

Tabla 39. Producción trimestral según tipo de procedimientos de quimioterapia, INC, Colombia, 2013.

| Procedimientos de quimioterapia | 1er. trimestre | 2o. trimestre | 3er. trimestre | 4o. trimestre | Total |
|---------------------------------|----------------|---------------|----------------|---------------|---------------|
| Monoquimioterapia | 907 | 1.069 | 1.133 | 1.124 | 4.233 |
| Poliquimioterapia | 1.595 | 1.836 | 1.794 | 1.866 | 7.091 |
| Quimioterapia intratecal | 137 | 128 | 180 | 226 | 671 |
| Total | 2.639 | 3.033 | 3.107 | 3.216 | 11.995 |

Fuente: Oficina Asesora de Planeación, INC.

Tabla 40. Producción trimestral de procedimientos quirúrgicos, según servicio, INC, Colombia, 2013.

| Servicio | 1er. trimestre | 2o. trimestre | 3er. trimestre | 4o. trimestre | Total |
|------------------------|----------------|---------------|----------------|---------------|---------------|
| Cabeza y cuello | 185 | 251 | 191 | 156 | 783 |
| Cirugía de tórax | 188 | 226 | 171 | 136 | 721 |
| Cirugía pediátrica | 63 | 49 | 27 | 37 | 176 |
| Cirugía plástica | 432 | 475 | 519 | 582 | 2.008 |
| Dermatología | 25 | 44 | 46 | 42 | 157 |
| Gastroenterología | 258 | 225 | 273 | 254 | 1.010 |
| Ginecología | 174 | 206 | 192 | 162 | 734 |
| Neumología | 87 | 110 | 92 | 82 | 371 |
| Neurocirugía | 44 | 51 | 45 | 31 | 171 |
| Oftalmología | 77 | 70 | 86 | 37 | 270 |
| Ortopedia | 104 | 129 | 133 | 98 | 464 |
| Pediatría | 289 | 289 | 273 | 422 | 1.273 |
| Seno y tejidos blandos | 343 | 385 | 348 | 312 | 1.388 |
| Urología | 137 | 174 | 143 | 144 | 598 |
| Total | 2.406 | 2.684 | 2.539 | 2.495 | 10.124 |

Fuente: Grupo Salas de Cirugía y UCI, INC.

Tabla 41. Producción trimestral del laboratorio clínico, INC, Colombia, 2013.

| Laboratorio clínico | 1er. trimestre | 2o. trimestre | 3er. trimestre | 4o. trimestre | Total |
|----------------------------------|----------------|----------------|----------------|----------------|----------------|
| Exámenes de microbiología | 12.071 | 7.058 | 11.734 | 10.977 | 41.840 |
| Pruebas especiales* | 6.929 | 7.906 | 9.677 | 7.357 | 31.869 |
| Pruebas de coagulación | 9.869 | 10.582 | 10.878 | 9.870 | 41.199 |
| Pruebas de hematología | 15.453 | 15.527 | 15.565 | 15.159 | 61.704 |
| Pruebas de microscopía | 2.250 | 2.283 | 2.198 | 2.205 | 8.936 |
| Química sanguínea | 102.452 | 107.161 | 109.002 | 101.506 | 420.121 |
| Total exámenes realizados | 149.024 | 150.517 | 159.054 | 147.074 | 605.669 |

* Incluye: hormonas, marcadores tumorales, serología de infecciones, inmunoglobulinas.

Fuente: Grupo Laboratorio, INC.

Tabla 42. Producción trimestral del servicio de imágenes diagnósticas, según tipo de examen, INC, Colombia, 2013.

| Imágenes diagnósticas | 1er. trimestre | 2o. trimestre | 3er. trimestre | 4o. trimestre | Total |
|------------------------|----------------|---------------|----------------|---------------|---------------|
| Angiografía | 0 | 0 | 0 | 0 | 0 |
| Biopsia por ecografía | 366 | 469 | 458 | 419 | 1.712 |
| Biopsia por mamografía | 10 | 27 | 39 | 30 | 106 |
| Biopsia por TAC | 23 | 29 | 14 | 29 | 95 |
| Ecografía | 2.898 | 3.181 | 3.550 | 3.303 | 12.932 |
| Mamografía | 578 | 570 | 612 | 599 | 2.359 |
| Rayos X | 5.015 | 5.398 | 5.430 | 5.253 | 21.096 |
| Resonancias | 869 | 915 | 1081 | 899 | 3.764 |
| TAC | 3.061 | 3.656 | 3.663 | 3.343 | 13.723 |
| Total | 12.820 | 14.245 | 14.847 | 13.875 | 55.787 |

Fuente: Grupo de imágenes diagnósticas, INC.

Tabla 43. Producción trimestral de exámenes diagnósticos y otros procedimientos, INC, Colombia, 2013.

| Exámenes diagnósticos y procedimientos | 1er. trimestre | 2o. trimestre | 3er. trimestre | 4o. trimestre | Total |
|--|----------------|---------------|----------------|---------------|-------|
| Estudios de medicina nuclear | 1.531 | 1.246 | 1.177 | 1.913 | 5.867 |
| Exámenes de genética | 658 | 758 | 762 | 650 | 2.828 |
| Electrocardiogramas | 896 | 956 | 1.041 | 945 | 3.838 |
| Ecocardiogramas | 115 | 162 | 120 | 97 | 494 |
| Nutrición enteral total | 1.397 | 1.435 | 953 | 762 | 4.547 |
| Nutrición parenteral | 210 | 94 | 201 | 203 | 708 |
| Endoscopias vías digestivas altas | 292 | 326 | 382 | 325 | 1.325 |
| Colonoscopias | 170 | 222 | 232 | 181 | 805 |
| Rectosigmoidoscopia | 44 | 49 | 55 | 57 | 205 |

Fuente: Grupos del Área de Oncología Médica, INC.

Tabla 44. Producción trimestral de la unidad de cuidado crítico, INC, Colombia, 2013.

| Indicador | 1er. trimestre | 2o. trimestre | 3er. trimestre | 4o. trimestre | Total |
|-------------------------------------|----------------|---------------|----------------|---------------|-------|
| Ingreso de pacientes UCI - Adulto | 160 | 174 | 161 | 138 | 633 |
| Ingreso pacientes UCI Pediátrica | 38 | 49 | 43 | 39 | 169 |
| Egresos | 203 | 216 | 202 | 185 | 806 |
| Días estancia egresos pacientes UCI | 1.752 | 1.679 | 1.644 | 1.570 | 6.645 |
| Promedio días estancia paciente | 26,0 | 23,3 | 24,5 | 25,7 | 24,9 |
| Giro cama | 3,2 | 3,4 | 3,2 | 2,9 | 3,2 |
| % Ocupación | 74 | 71 | 67 | 67 | 70 |
| % Mortalidad <de 24 horas | 5,9 | 7,4 | 6,4 | 8,1 | 7,0 |
| % Mortalidad entre 24 y 48 horas | 0,5 | 0,5 | 0,5 | 2,2 | 0,9 |
| % Mortalidad >de 48 horas | 11,3 | 10,6 | 8,4 | 9,2 | 9,9 |
| % Mortalidad total | 17,7 | 18,5 | 15,3 | 19,5 | 17,8 |
| % Infección intrahospitalaria | 7,9 | 4,6 | 5,0 | 7,6 | 6,3 |

Fuente: Grupo Salas de Cirugía y UCI, INC.

Tabla 45. Producción trimestral de sesiones de rehabilitación y terapias respiratorias, INC, Colombia, 2013.

| Tipo de sesiones | 1er. trimestre | 2o. trimestre | 3er. trimestre | 4o. trimestre | Total |
|----------------------|----------------|---------------|----------------|---------------|----------------|
| Fisioterapia | 1.564 | 2.141 | 2.326 | 2.034 | 8.065 |
| Fonoaudiología | 744 | 772 | 815 | 758 | 3.089 |
| Terapia ocupacional | 433 | 428 | 585 | 698 | 2.144 |
| Terapia respiratoria | 33.039 | 44.055 | 44.857 | 40.988 | 162.939 |
| Total | 35.780 | 47.396 | 48.583 | 44.478 | 176.237 |

Fuente: Grupo de Rehabilitación, INC.

Tabla 46. Producción trimestral del banco de sangre, según procedimiento, INC, Colombia, 2013.

| Tipo de procedimiento | 1er. trimestre | 2o. trimestre | 3er. trimestre | 4o. trimestre | Total |
|---------------------------|----------------|---------------|----------------|---------------|----------------|
| Aféresis | 33 | 38 | 53 | 55 | 179 |
| Donaciones recibidas | 2.354 | 2.345 | 2.142 | 2.069 | 8.910 |
| Inmunoematología | 11.391 | 11.269 | 11.444 | 10.595 | 44.699 |
| Pruebas infecciosas* | 17.018 | 16.955 | 15.534 | 15.023 | 64.530 |
| Separación de componentes | 8.239 | 8.206 | 7.497 | 7.240 | 31.182 |
| Unidades transfundidas | 4.329 | 4.234 | 5.018 | 4.388 | 17.969 |
| Total | 43.364 | 43.047 | 41.688 | 39.370 | 167.469 |

* Hepatitis B, Hepatitis C, Chagas, HIV, HTLV, Anticore, VDRL

Fuente: Grupo Banco de Sangre, INC.

Tabla 47. Producción trimestral de clínica de hematología y trasplante de médula ósea, INC, Colombia, 2013.

| Tipo de procedimiento | 1er. trimestre | 2o. trimestre | 3er. trimestre | 4o. trimestre | Total |
|----------------------------|----------------|---------------|----------------|---------------|--------------|
| Biopsia de médula ósea | 195 | 200 | 209 | 210 | 814 |
| Mielogramas de médula ósea | 195 | 200 | 209 | 210 | 814 |
| Punción lumbar diagnóstica | 52 | 42 | 60 | 66 | 220 |
| Trasplante de médula ósea | 7 | 3 | 5 | 1 | 16 |
| Total | 449 | 445 | 483 | 487 | 1.864 |

Fuente: Grupo de Hematología Oncológica, INC.

Tabla 48. Producción trimestral del servicio de patología y citología, INC, Colombia, 2013.

| Tipo de procedimiento | 1er. trimestre | 2o. trimestre | 3er. trimestre | 4o. trimestre | Total |
|---|----------------|---------------|----------------|---------------|----------------|
| Estudio histopatológico en biopsias y especímenes institucionales | 1.674 | 1.950 | 2.015 | 1.868 | 7.507 |
| Estudio histopatológico en biopsias y especímenes extrainstitucionales | 1.021 | 1.084 | 1.088 | 925 | 4.118 |
| Citologías cérvico-vaginales | 595 | 624 | 648 | 547 | 2.414 |
| Citologías en líquidos corporales y aspirados con aguja fina (ACAF) | 810 | 837 | 864 | 912 | 3.423 |
| Marcadores de inmunohistoquímica | 6.397 | 6.765 | 6.592 | 5.491 | 25.245 |
| Estudio de coloración histoquímica | 437 | 209 | 561 | 552 | 1.759 |
| Histoquímica con coloración de rutina (HE) | 13.038 | 15.140 | 15.224 | 12.036 | 55.438 |
| Inmunofenotipos por citometría de flujo | 359 | 359 | 426 | 385 | 1.529 |
| Pruebas en morfología hematológica (lectura de frotis de sangre periférica y mielogramas) | 351 | 381 | 248 | 328 | 1.308 |
| Estudio de coloración histoquímica en morfología hematológica | 54 | 115 | 128 | 42 | 339 |
| Total | 24.736 | 27.464 | 27.794 | 23.086 | 103.080 |

Fuente: Grupo de Patología, INC.



Las Infecciones Asociadas al Cuidado de la Salud recopilan la información anual sobre aquellas infecciones adquiridas por el paciente, mientras recibe tratamiento para alguna condición médica o quirúrgica después del ingreso y durante la estancia hospitalaria.



4. Infecciones Asociadas al Cuidado de la Salud

Anuario Estadístico

Tabla 49. Índice global de infecciones asociadas al cuidado de la salud, INC, Colombia, 2013.

| Mes | Total IACS* | Egresos | Índice global (%) |
|--------------|-------------|--------------|-------------------|
| Enero | 37 | 387 | 9,6 |
| Febrero | 38 | 401 | 9,5 |
| Marzo | 47 | 441 | 10,7 |
| Abril | 46 | 472 | 9,7 |
| Mayo | 49 | 481 | 10,2 |
| Junio | 40 | 448 | 8,9 |
| Julio | 43 | 486 | 8,8 |
| Agosto | 29 | 451 | 6,4 |
| Septiembre | 38 | 463 | 8,2 |
| Octubre | 47 | 451 | 10,4 |
| Noviembre | 40 | 606 | 6,6 |
| Diciembre | 40 | 480 | 8,3 |
| Total | 494 | 5.567 | 8,9 |

*IACS: Infecciones asociadas al cuidado de la salud

Fuente: Comité de Infecciones Asociadas al Cuidado de la Salud, INC.

Tabla 50. Tasa global de infecciones asociadas al cuidado de la salud, INC, Colombia, 2013.

| Mes | Total IACS* | Días estancia hospitalaria | Tasa ** |
|--------------|-------------|----------------------------|------------|
| Enero | 37 | 5.602 | 6,6 |
| Febrero | 38 | 4.823 | 7,9 |
| Marzo | 47 | 5.061 | 9,3 |
| Abril | 46 | 8.154 | 5,6 |
| Mayo | 49 | 5.910 | 8,3 |
| Junio | 40 | 5.507 | 7,3 |
| Julio | 43 | 6.449 | 6,7 |
| Agosto | 29 | 4.823 | 6,0 |
| Septiembre | 38 | 5.446 | 7,0 |
| Octubre | 47 | 5.963 | 7,9 |
| Noviembre | 40 | 5.873 | 6,8 |
| Diciembre | 40 | 6.699 | 6,0 |
| Total | 494 | 70.310 | 7,0 |

*IACS: Infecciones asociadas al cuidado de la salud

** Por mil días estancia hospitalaria

Fuente: Comité de Infecciones Asociadas al Cuidado de la Salud, INC.

Tabla 51. Infecciones asociadas al cuidado de la salud por mes, según especialidad médica, INC, Colombia, 2013.

| Especialidad médica | Enero | | Febrero | | Marzo | | Abril | | Mayo | | Junio | | Julio | | Agosto | | Septiembre | | Octubre | | Noviembre | | Diciembre | | Total | |
|--------------------------------|-----------|------------|-----------|------------|-----------|------------|-----------|------------|-----------|------------|-----------|------------|-----------|------------|-----------|------------|------------|------------|-----------|------------|-----------|------------|-----------|------------|------------|------------|
| | n | % | n | % | n | % | n | % | n | % | n | % | n | % | n | % | n | % | n | % | n | % | n | % | n | % |
| Cirugía cabeza y cuello | 3 | 8,1 | 0 | 0,0 | 1 | 2,1 | 1 | 2,2 | 2 | 4,1 | 1 | 2,6 | 1 | 2,3 | 0 | 0,0 | 0 | 0,0 | 1 | 2,1 | 1 | 2,5 | 1 | 2,6 | 12 | 2,4 |
| Cirugía de tórax | 0 | 0,0 | 1 | 2,6 | 2 | 4,3 | 0 | 0,0 | 0 | 0,0 | 0 | 0,0 | 2 | 4,7 | 0 | 0,0 | 3 | 7,9 | 1 | 2,1 | 2 | 5,0 | 1 | 2,6 | 12 | 2,4 |
| Cirugía pediátrica | 3 | 8,1 | 1 | 2,6 | 0 | 0,0 | 0 | 0,0 | 1 | 2,0 | 0 | 0,0 | 1 | 2,3 | 0 | 0,0 | 0 | 0,0 | 0 | 0,0 | 0 | 0,0 | 1 | 2,6 | 7 | 1,4 |
| Cirugía plástica | 1 | 2,7 | 0 | 0,0 | 4 | 8,5 | 2 | 4,3 | 1 | 2,0 | 3 | 7,7 | 2 | 4,7 | 3 | 10,3 | 1 | 2,6 | 2 | 4,3 | 0 | 0,0 | 2 | 5,3 | 21 | 4,3 |
| Cirugía seno y tejidos blandos | 0 | 0,0 | 5 | 13,2 | 6 | 12,8 | 6 | 13,0 | 2 | 4,1 | 1 | 2,6 | 2 | 4,7 | 3 | 10,3 | 1 | 2,6 | 2 | 4,3 | 4 | 10,0 | 10 | 26,3 | 42 | 8,5 |
| Cuidados paliativos | 2 | 5,4 | 3 | 7,9 | 2 | 4,3 | 5 | 10,9 | 3 | 6,1 | 1 | 2,6 | 1 | 2,3 | 2 | 6,9 | 2 | 5,3 | 3 | 6,4 | 1 | 2,5 | 0 | 0,0 | 25 | 5,1 |
| Gastroenterología | 0 | 0,0 | 2 | 5,3 | 2 | 4,3 | 6 | 13,0 | 7 | 14,3 | 2 | 5,1 | 5 | 11,6 | 6 | 20,7 | 7 | 18,4 | 5 | 10,6 | 7 | 17,5 | 5 | 13,2 | 54 | 10,9 |
| Ginecología | 1 | 2,7 | 0 | 0,0 | 1 | 2,1 | 0 | 0,0 | 3 | 6,1 | 0 | 0,0 | 2 | 4,7 | 0 | 0,0 | 0 | 0,0 | 0 | 0,0 | 2 | 5,0 | 1 | 2,6 | 10 | 2,0 |
| Hematología | 7 | 18,9 | 8 | 21,1 | 11 | 23,4 | 8 | 17,4 | 11 | 22,4 | 9 | 23,1 | 10 | 23,3 | 5 | 17,2 | 5 | 13,2 | 7 | 14,9 | 8 | 20,0 | 5 | 13,2 | 94 | 19,0 |
| Medicina interna | 4 | 10,8 | 4 | 10,5 | 8 | 17,0 | 10 | 21,7 | 8 | 16,3 | 6 | 15,4 | 6 | 14,0 | 2 | 6,9 | 5 | 13,2 | 8 | 17,0 | 3 | 7,5 | 1 | 2,6 | 65 | 13,2 |
| Neurocirugía | 0 | 0,0 | 0 | 0,0 | 1 | 2,1 | 0 | 0,0 | 0 | 0,0 | 1 | 2,6 | 0 | 0,0 | 1 | 3,4 | 1 | 2,6 | 1 | 2,1 | 0 | 0,0 | 1 | 2,6 | 6 | 1,2 |
| Oftalmología | 0 | 0,0 | 0 | 0,0 | 0 | 0,0 | 0 | 0,0 | 0 | 0,0 | 0 | 0,0 | 0 | 0,0 | 0 | 0,0 | 0 | 0,0 | 0 | 0,0 | 0 | 0,0 | 0 | 0,0 | 0 | 0,0 |
| Oncología | 4 | 10,8 | 4 | 10,5 | 1 | 2,1 | 0 | 0,0 | 2 | 4,1 | 4 | 10,3 | 2 | 4,7 | 1 | 3,4 | 3 | 7,9 | 4 | 8,5 | 1 | 2,5 | 0 | 0,0 | 26 | 5,3 |
| Ortopedia | 0 | 0,0 | 0 | 0,0 | 0 | 0,0 | 3 | 6,5 | 1 | 2,0 | 0 | 0,0 | 0 | 0,0 | 2 | 6,9 | 3 | 7,9 | 0 | 0,0 | 2 | 5,0 | 1 | 2,6 | 12 | 2,4 |
| Pediatría | 6 | 16,2 | 4 | 10,5 | 1 | 2,1 | 1 | 2,2 | 5 | 10,2 | 4 | 10,3 | 3 | 7,0 | 2 | 6,9 | 1 | 2,6 | 6 | 12,8 | 4 | 10,0 | 2 | 5,3 | 42 | 8,5 |
| UCI-Adulto | 5 | 13,5 | 6 | 15,8 | 4 | 8,5 | 3 | 6,5 | 1 | 2,0 | 3 | 7,7 | 2 | 4,7 | 1 | 3,4 | 3 | 7,9 | 3 | 6,4 | 3 | 7,5 | 4 | 10,5 | 38 | 7,7 |
| UCI-Pediátrica | 0 | 0,0 | 0 | 0,0 | 1 | 2,1 | 1 | 2,2 | 1 | 2,0 | 1 | 2,6 | 2 | 4,7 | 0 | 0,0 | 2 | 5,3 | 3 | 6,4 | 0 | 0,0 | 2 | 5,3 | 13 | 2,6 |
| Urología | 1 | 2,7 | 0 | 0,0 | 2 | 4,3 | 0 | 0,0 | 1 | 2,0 | 3 | 7,7 | 2 | 4,7 | 1 | 3,4 | 1 | 2,6 | 1 | 2,1 | 2 | 5,0 | 1 | 2,6 | 15 | 3,0 |
| Total | 37 | 100 | 38 | 100 | 47 | 100 | 46 | 100 | 49 | 100 | 39 | 100 | 43 | 100 | 29 | 100 | 38 | 100 | 47 | 100 | 40 | 100 | 38 | 100 | 494 | 100 |

Fuente: Comité de Infecciones Asociadas al Cuidado de la Salud, INC.

Tabla 52. Infecciones asociadas al cuidado de la salud por mes, según tipo de infección, INC, Colombia, 2013.

| Especialidad médica | Enero | | Febrero | | Marzo | | Abril | | Mayo | | Junio | | Julio | | Agosto | | Septiembre | | Octubre | | Noviembre | | Diciembre | | Total | | | |
|--|-----------|------------|-----------|------------|-----------|------------|-----------|------------|-----------|------------|-----------|------------|-----------|------------|-----------|------------|------------|------------|-----------|------------|-----------|------------|-----------|------------|-----------|------------|------------|------------|
| | n | % | n | % | n | % | n | % | n | % | n | % | n | % | n | % | n | % | n | % | n | % | n | % | n | % | | |
| Infección sintomática del tracto urinario asociado a catéter urinario | 4 | 10,8 | 7 | 18,4 | 6 | 12,8 | 9 | 19,6 | 6 | 12,2 | 5 | 12,5 | 6 | 14,0 | 1 | 3,4 | 1 | 2,6 | 4 | 8,5 | 3 | 7,5 | 0 | 0,0 | 0 | 0,0 | 52 | 10,5 |
| Infección sintomática del tracto urinario no asociado a catéter urinario | 0 | 0,0 | 4 | 10,5 | 2 | 4,3 | 6 | 13,0 | 4 | 8,2 | 4 | 10,0 | 3 | 7,0 | 3 | 10,3 | 6 | 15,8 | 6 | 12,8 | 1 | 2,5 | 2 | 5,0 | 4 | 10,0 | 41 | 8,3 |
| Infección del torrente sanguíneo confirmada por laboratorio | 7 | 18,9 | 4 | 10,5 | 7 | 14,9 | 3 | 6,5 | 9 | 18,4 | 10 | 25,0 | 8 | 18,6 | 2 | 6,9 | 5 | 13,2 | 9 | 19,1 | 4 | 10,0 | 4 | 10,0 | 4 | 10,0 | 72 | 14,6 |
| Infección del torrente sanguíneo asociada a catéter central | 3 | 8,1 | 4 | 10,5 | 1 | 2,1 | 2 | 4,3 | 2 | 4,1 | 0 | 0,0 | 2 | 4,7 | 1 | 3,4 | 4 | 10,5 | 1 | 2,1 | 3 | 7,5 | 3 | 7,5 | 3 | 7,5 | 26 | 5,3 |
| Infección arterial o venosa | 1 | 2,7 | 1 | 2,6 | 1 | 2,1 | 0 | 0,0 | 3 | 6,1 | 1 | 2,5 | 0 | 0,0 | 0 | 0,0 | 0 | 0,0 | 3 | 6,4 | 0 | 0,0 | 0 | 0,0 | 0 | 0,0 | 10 | 2,0 |
| Neumonía definida clínicamente | 7 | 18,9 | 5 | 13,2 | 9 | 19,1 | 7 | 15,2 | 4 | 8,2 | 6 | 15,0 | 4 | 9,3 | 3 | 10,3 | 4 | 10,5 | 8 | 17,0 | 10 | 25,0 | 6 | 15,0 | 6 | 15,0 | 73 | 14,8 |
| Neumonía asociada a ventilador | 0 | 0,0 | 1 | 2,6 | 2 | 4,3 | 0 | 0,0 | 0 | 0,0 | 1 | 2,5 | 0 | 0,0 | 0 | 0,0 | 0 | 0,0 | 0 | 0,0 | 0 | 0,0 | 0 | 0,0 | 1 | 2,5 | 5 | 1,0 |
| Infecciones de piel y tejidos blandos | 3 | 8,1 | 1 | 2,6 | 0 | 0,0 | 0 | 0,0 | 2 | 4,1 | 1 | 2,5 | 3 | 7,0 | 0 | 0,0 | 0 | 0,0 | 2 | 4,3 | 2 | 5,0 | 2 | 5,0 | 2 | 5,0 | 16 | 3,2 |
| Infecciones úlceras por decúbito | 0 | 0,0 | 0 | 0,0 | 0 | 0,0 | 0 | 0,0 | 0 | 0,0 | 0 | 0,0 | 0 | 0,0 | 1 | 3,4 | 0 | 0,0 | 0 | 0,0 | 0 | 0,0 | 0 | 0,0 | 0 | 0,0 | 1 | 0,2 |
| Infección de sitio quirúrgico superficial | 9 | 24,3 | 4 | 10,5 | 10 | 21,3 | 9 | 19,6 | 7 | 14,3 | 8 | 20,0 | 11 | 25,6 | 12 | 41,4 | 9 | 23,7 | 7 | 14,9 | 7 | 17,5 | 15 | 37,5 | 15 | 37,5 | 108 | 21,9 |
| Infección de sitio quirúrgico profunda | 0 | 0,0 | 1 | 2,6 | 7 | 14,9 | 4 | 8,7 | 4 | 8,2 | 2 | 5,0 | 2 | 4,7 | 2 | 6,9 | 2 | 5,3 | 2 | 4,3 | 6 | 15,0 | 2 | 5,0 | 2 | 5,0 | 34 | 6,9 |
| Infección de sitio quirúrgico órgano-espacio | 0 | 0,0 | 2 | 5,3 | 1 | 2,1 | 2 | 4,3 | 3 | 6,1 | 2 | 5,0 | 0 | 0,0 | 1 | 3,4 | 4 | 10,5 | 3 | 6,4 | 1 | 2,5 | 3 | 7,5 | 3 | 7,5 | 22 | 4,5 |
| Infección intrabdominal | 0 | 0,0 | 2 | 5,3 | 0 | 0,0 | 3 | 6,5 | 4 | 8,2 | 0 | 0,0 | 4 | 9,3 | 0 | 0,0 | 2 | 5,3 | 1 | 2,1 | 1 | 2,5 | 1 | 2,5 | 1 | 2,5 | 18 | 3,6 |
| Conjuntivitis | 0 | 0,0 | 0 | 0,0 | 0 | 0,0 | 0 | 0,0 | 0 | 0,0 | 0 | 0,0 | 0 | 0,0 | 1 | 3,4 | 0 | 0,0 | 0 | 0,0 | 0 | 0,0 | 0 | 0,0 | 0 | 0,0 | 1 | 0,2 |
| Sinusitis | 0 | 0,0 | 0 | 0,0 | 0 | 0,0 | 0 | 0,0 | 0 | 0,0 | 0 | 0,0 | 0 | 0,0 | 0 | 0,0 | 0 | 0,0 | 0 | 0,0 | 0 | 0,0 | 0 | 0,0 | 0 | 0,0 | 0 | 0,0 |
| Otitis | 0 | 0,0 | 0 | 0,0 | 0 | 0,0 | 0 | 0,0 | 0 | 0,0 | 0 | 0,0 | 0 | 0,0 | 0 | 0,0 | 0 | 0,0 | 1 | 2,1 | 0 | 0,0 | 0 | 0,0 | 0 | 0,0 | 1 | 0,2 |
| Gastroenteritis | 0 | 0,0 | 0 | 0,0 | 0 | 0,0 | 0 | 0,0 | 0 | 0,0 | 0 | 0,0 | 0 | 0,0 | 0 | 0,0 | 0 | 0,0 | 0 | 0,0 | 0 | 0,0 | 0 | 0,0 | 0 | 0,0 | 0 | 0,0 |
| Osteomielitis | 2 | 5,4 | 0 | 0,0 | 1 | 2,1 | 0 | 0,0 | 0 | 0,0 | 0 | 0,0 | 0 | 0,0 | 1 | 3,4 | 0 | 0,0 | 0 | 0,0 | 0 | 0,0 | 0 | 0,0 | 0 | 0,0 | 4 | 0,8 |
| Traqueobronquitis | 1 | 2,7 | 1 | 2,6 | 0 | 0,0 | 1 | 2,2 | 1 | 2,0 | 0 | 0,0 | 0 | 0,0 | 1 | 3,4 | 1 | 2,6 | 0 | 0,0 | 0 | 0,0 | 0 | 0,0 | 0 | 0,0 | 6 | 1,2 |
| Otras | 0 | 0,0 | 1 | 2,6 | 0 | 0,0 | 0 | 0,0 | 0 | 0,0 | 0 | 0,0 | 0 | 0,0 | 0 | 0,0 | 0 | 0,0 | 0 | 0,0 | 2 | 5,0 | 1 | 2,5 | 4 | 10,0 | 4 | 0,8 |
| Total | 37 | 100 | 38 | 100 | 47 | 100 | 46 | 100 | 49 | 100 | 40 | 100 | 43 | 100 | 29 | 100 | 38 | 100 | 47 | 100 | 40 | 100 | 40 | 100 | 40 | 100 | 494 | 100 |

Fuente: Comité de Infecciones Asociadas al Cuidado de la Salud, INC.

Tabla 53. Índice de mortalidad por infecciones asociadas al cuidado de la salud por mes, INC, Colombia, 2013.

| Mes | Total muertes por IACS* | Total IACS* | Índice de mortalidad (%) |
|--------------|-------------------------|-------------|--------------------------|
| Enero | 6 | 37 | 16,2 |
| Febrero | 6 | 38 | 15,8 |
| Marzo | 5 | 47 | 10,6 |
| Abril | 4 | 46 | 8,7 |
| Mayo | 4 | 49 | 8,2 |
| Junio | 5 | 40 | 12,5 |
| Julio | 5 | 43 | 11,6 |
| Agosto | 3 | 29 | 10,3 |
| Septiembre | 2 | 38 | 5,3 |
| Octubre | 2 | 47 | 4,3 |
| Noviembre | 3 | 40 | 7,5 |
| Diciembre | 2 | 40 | 5,0 |
| Total | 47 | 494 | 9,5 |

*IACS: Infecciones asociadas al cuidado de la salud

Fuente: Comité de Infecciones Asociadas al Cuidado de la Salud, INC.

Tabla 54 . Índice de infecciones asociadas al cuidado de la salud por especialidad médica, INC, Colombia, 2013.

| Especialidad médica | Total IACS* | Total egresos | Índice IACS *(%) |
|--------------------------------|-------------|---------------|------------------|
| Cirugía cabeza y cuello | 12 | 396 | 3,0 |
| Cirugía de tórax | 12 | 145 | 8,3 |
| Cirugía pediátrica | 7 | 33 | 21,2 |
| Cirugía plástica | 21 | 179 | 11,7 |
| Cirugía seno y tejidos blandos | 42 | 325 | 12,9 |
| Cuidados paliativos | 25 | 164 | 15,2 |
| Gastroenterología | 54 | 761 | 7,1 |
| Ginecología | 10 | 363 | 2,8 |
| Hematología | 94 | 795 | 11,8 |
| Medicina interna | 65 | 379 | 17,2 |
| Neurocirugía | 6 | 92 | 6,5 |
| Oftalmología | 0 | 16 | 0,0 |
| Oncología | 26 | 136 | 19,1 |
| Ortopedia | 12 | 180 | 6,7 |
| Pediatría | 42 | 819 | 5,1 |
| UCI-Adulto | 38 | 361 | 10,5 |
| UCI-Pediátrica | 13 | 36 | 36,1 |
| Urología | 15 | 342 | 4,4 |
| Otros | 0 | 45 | 0,0 |
| Total | 494 | 5.567 | 8,9 |

*IACS: Infecciones asociadas al cuidado de la salud

Fuente: Comité de Infecciones Asociadas al Cuidado de la Salud, INC.

Tabla 55. Infecciones asociadas al cuidado de la salud por tipo de muestra, según microorganismo aislado, INC, Colombia, 2013.

| Microorganismo aislado* | Aislamientos | | | | | | | | | |
|---|--------------|------------|-----------|-----------|-------------------|--------------------|-----------------------|-----------|-----------|-------------|
| | n | (%) | Orina | Sangre | Líquido abdominal | Secreción traqueal | Lavado broncoalveolar | Herida Qx | Catéteres | Secreciones |
| <i>Acinetobacter baumannii</i> | 0 | 0,0 | 0 | 0 | 0 | 0 | 0 | 0 | 0 | 0 |
| <i>Candida albicans</i> | 9 | 3,0 | 2 | 1 | 1 | 0 | 1 | 0 | 0 | 1 |
| <i>Candida glabrata</i> | 0 | 0,0 | 0 | 0 | 0 | 0 | 0 | 0 | 0 | 0 |
| <i>Candida krusei</i> | 1 | 0,3 | 1 | 0 | 0 | 0 | 0 | 0 | 0 | 0 |
| <i>Candida parapsilopsis</i> | 1 | 0,3 | 0 | 0 | 0 | 0 | 0 | 0 | 0 | 0 |
| <i>Candida tropicalis</i> | 5 | 1,6 | 3 | 0 | 1 | 1 | 0 | 0 | 0 | 0 |
| <i>Citrobacter freundii</i> | 1 | 0,3 | 0 | 1 | 0 | 0 | 0 | 0 | 0 | 0 |
| <i>Enterobacter cloacae</i> | 11 | 3,6 | 4 | 3 | 2 | 0 | 0 | 0 | 0 | 1 |
| <i>Enterococcus faecalis</i> | 11 | 3,6 | 1 | 4 | 1 | 0 | 0 | 1 | 0 | 2 |
| <i>Enterococcus faecium</i> | 9 | 3,0 | 4 | 0 | 0 | 0 | 0 | 1 | 0 | 0 |
| <i>Escherichia coli</i> | 62 | 20,3 | 11 | 23 | 4 | 1 | 0 | 2 | 0 | 3 |
| <i>Escherichia coli</i> BLEE | 8 | 2,6 | 1 | 3 | 0 | 0 | 0 | 0 | 0 | 0 |
| <i>Klebsiella pneumoniae</i> ss. pneumonia | 38 | 12,5 | 15 | 15 | 2 | 2 | 0 | 0 | 0 | 2 |
| <i>Klebsiella pneumoniae</i> ss. pneumonia BLEE | 8 | 2,6 | 0 | 2 | 2 | 0 | 0 | 0 | 0 | 0 |
| <i>Morganella morganii</i> ss. morganii | 12 | 3,9 | 1 | 5 | 1 | 0 | 0 | 1 | 0 | 3 |
| <i>Proteus mirabilis</i> | 3 | 1,0 | 0 | 0 | 0 | 0 | 0 | 1 | 0 | 2 |
| <i>Pseudomonas aeruginosa</i> | 27 | 8,9 | 8 | 8 | 0 | 1 | 0 | 1 | 0 | 0 |
| <i>Serratia marcescens</i> | 4 | 1,3 | 0 | 1 | 0 | 1 | 0 | 0 | 0 | 0 |
| <i>Staphylococcus aureus</i> | 43 | 14,1 | 14 | 2 | 0 | 2 | 0 | 2 | 0 | 6 |
| <i>Staphylococcus epidermidis</i> | 9 | 3,0 | 6 | 0 | 1 | 1 | 0 | 0 | 0 | 0 |
| <i>Stenotrophomonas maltophi</i> | 4 | 1,3 | 0 | 3 | 0 | 0 | 1 | 0 | 0 | 0 |
| Otros | 38 | 12,7 | 20 | 5 | 2 | 4 | 0 | 1 | 0 | 9 |
| Total | 304 | 100 | 91 | 76 | 17 | 13 | 2 | 10 | 0 | 29 |

Microorganismos aislados más importantes del total de aislamientos INC 2013

Fuente: Laboratorio Clínico, Área de Microbiología, INC.

Tabla 56. Patrón de susceptibilidad de los principales bacilos Gram negativos aislados en infecciones asociadas al cuidado de la salud, INC, Colombia, 2013.

| Antibiótico | Microorganismo y porcentaje de susceptibilidad de acuerdo con el número de aislamientos | | | | | |
|-------------------|---|-----------------------|-------------------|------------------------|----------------------|---------------------|
| | Escherichia coli | Klebsiella pneumoniae | Proteus mirabilis | Pseudomonas aeruginosa | Enterobacter cloacae | Serratia marcescens |
| | n = 68, % | n = 40, % | n = 3, % | n = 28, % | n = 11, % | n = 4, % |
| Ampicilina | 23,5 | 0,0 | 66,7 | 0,0 | 9,1 | 0,0 |
| Aztreonam | 70,1 | 65,0 | 100,0 | 50,0 | 36,4 | 100,0 |
| Cefepime | 73,5 | 65,0 | 100,0 | 71,4 | 63,6 | 100,0 |
| Cefoxitina | 80,9 | 77,5 | 100,0 | 0,0 | 0,0 | 25,0 |
| Ceftazidima | 83,3 | 73,9 | 100,0 | 66,7 | 50,0 | 100,0 |
| Ceftriaxona | 73,6 | 67,5 | 100,0 | 0,0 | 36,4 | 100,0 |
| Cefuroxima | 82,4 | 50,0 | N/A | 0,0 | 33,3 | 0,0 |
| Ertapenem | 98,6 | 80,0 | 100,0 | 0,0 | 63,7 | 100,0 |
| Gentamicina | 79,4 | 87,5 | 66,7 | 67,9 | 63,6 | 100,0 |
| Imipenem | 100,0 | 89,7 | 100,0 | 77,8 | 75,0 | 100,0 |
| Meropenem | 98,5 | 92,5 | 100,0 | 78,6 | 81,8 | 100,0 |
| Piperacilina/Tazo | 72,1 | 55,0 | 100,0 | 64,3 | 36,4 | 100,0 |
| Trimetropin/sulfa | 48,5 | 55,0 | 66,7 | 22,2 | 63,6 | 100,0 |
| ESBL | 85,0 | 80,0 | N/A | N/A | N/A | N/A |

n: número de cepas del microorganismo probadas al antibiótico

#: porcentaje de susceptibilidad

Fuente: Laboratorio Clínico, Área de Microbiología, INC.

Tabla 57. Patrón de susceptibilidad de los principales cocos Gram positivos aislados en infecciones asociadas al cuidado de la salud, INC, Colombia, 2013.

| Antibiótico | Microorganismo y porcentaje de susceptibilidad de acuerdo con el número de aislamientos | | | |
|-------------------------|---|----------------------------|-----------------------|----------------------|
| | Staphylococcus aureus | Staphylococcus epidermidis | Enterococcus faecalis | Enterococcus faecium |
| | n = 44, % | n = 11, % | n = 11, % | n = 9, % |
| Ampicilina | 4,6 | 0,0 | 100,0 | 0 |
| Clindamicina | 88,7 | 36,4 | N/A | N/A |
| Eritromicina | 81,8 | 0,0 | N/A | N/A |
| Gentamicina altas dosis | N/A | N/A | 85,7 | 83,3 |
| Oxacilina | 65,9 | 27,3 | N/A | N/A |
| Linezolid | 100,0 | 100,0 | 100,0 | 88,9 |
| Vancomicina | 100,0 | 100,0 | 100,0 | 11,1 |

n: número de cepas del microorganismo probadas al antibiótico

#: porcentaje de susceptibilidad

N/A: este antibiótico no está indicado para el tipo de microorganismo aislado

Fuente: Laboratorio Clínico, Área de Microbiología, INC.



5. Proyectos Institucionales de Investigación

Anuario Estadístico

Tabla 58. Proyectos institucionales de investigación aprobados, en curso o terminados, según línea de investigación, INC, Colombia, 2013.

| Línea | No. | Nombre del proyecto | Investigador principal y contacto | Estado |
|---|---|--|--|----------|
| Diagnóstico y tratamiento del cáncer en Colombia | 56 | Manejo quirúrgico del carcinoma basocelular, aplicación del protocolo de manejo del Instituto Nacional de Cancerología por cirugía plástica | Álvaro Enrique Acosta Madiedo de Hart aacosta@cancer.gov.co | Aprobado |
| | | Comportamiento del estado nutricional del paciente hemato-oncológico y su relación con la duración de la hospitalización | Andrés Leonardo González Rangel algonzalez@cancer.gov.co | Aprobado |
| | | Tratamiento del dermatofibrosarcoma protuberans con cirugía micrográfica de Mohs: experiencia del Instituto Nacional de Cancerología, 2002-2012 | Álvaro Enrique Acosta Madiedo de Hart aacosta@cancer.gov.co | Aprobado |
| | | Caracterización y curso clínico de los pacientes con diagnóstico de carcinoma basocelular de bajo riesgo, llevados a criocirugía en el Instituto Nacional de Cancerología entre enero de 2009 y enero de 2013 | Álvaro Enrique Acosta Madiedo de Hart aacosta@cancer.gov.co | Aprobado |
| | | Marcadores tumorales para cáncer de ovario en pacientes con masas anexiales atendidas en el Instituto Nacional de Cancerología ESE: Estudio observacional prospectivo | Mauricio González Castañeda mgonzalezc@cancer.gov.co | Aprobado |
| | | Perfil de expresión de micro-RNAs (miRNAs) en suero, plasma y tejido en pacientes con cáncer colorrectal | Martha Lucía Serrano López mlserrano@cancer.gov.co | Aprobado |
| | | Cirugía laparoscópica en el tratamiento del cáncer de cuello uterino y del cáncer endometrial. Experiencia del INC (2008-2013) | Jesús Antonio Acosta Peñaloza jacosta@cancer.gov.co | Aprobado |
| | | Cáncer de mama en hombres en el Instituto Nacional de Cancerología. Revisión de casos en un periodo de 15 años | Javier Ángel Aristizábal jaangel@cancer.gov.co | Aprobado |
| | | Experiencia del Instituto Nacional de Cancerología en la respuesta a primera y segunda línea de tratamiento en tumores neuroendocrinos | Jesús Oswaldo Sánchez jsanchez@cancer.gov.co | Aprobado |
| | | Manejo reconstructivo en pacientes con cáncer de mama avanzado o recurrente | Alejandro Duque Restrepo adunque@cancer.gov.co | Aprobado |
| | | Características epidemiológicas clínicas de los pacientes con cáncer de próstata resistente a la castración, en progresión de la enfermedad después del tratamiento en primera línea con terapia hormonal en el Instituto Nacional de Cancerología | Ricardo Elías Brujes Maya rbruges@cancer.gov.co | Aprobado |
| | | Principales características de los pacientes con obstrucción intestinal maligna completa en manejo médico paliativo en el Instituto Nacional de Cancerología, Bogotá - Colombia | Claudia Patricia Agámez Insignares cagamezi@cancer.gov.co | Aprobado |
| | | Traducción y adaptación transcultural del Pathway de Liverpool para el cuidado del paciente con inminencia de fallecimiento en el Instituto Nacional de Cancerología | Carlos Hernán Rodríguez pallios@yahoo.com | Aprobado |
| | | Experiencia en cirugía colorrectal video asistida en el Instituto Nacional de Cancerología ESE | Nadim Asimbra Lemus nlemus@cancer.gov.co | Aprobado |
| Desenlaces del manejo no quirúrgico posterior a neoadyuvancia del cáncer localmente avanzado de recto | Ricardo Oliveros roliveros@cancer.gov.co | Aprobado | | |
| Comportamiento bioquímico de pacientes sometidos a prostatectomía radical más linfadenectomía ampliada con valor de PSA mayor 20 ng/ml en el Instituto Nacional de Cancerología | Rodolfo Varela Ramírez rvarela@cancer.gov.co | Aprobado | | |

(continúa)

Tabla 58. Proyectos institucionales de investigación aprobados, en curso o terminados, según línea de investigación, INC, Colombia, 2013.

| Línea | No. | Nombre del proyecto | Investigador principal y contacto | Estado |
|-------|-----|---|--|----------|
| | | Características clínicas de los pacientes con linfoma de células del manto atendidos en el Instituto Nacional de Cancerología en el periodo 2007 – 2011 | Martha Leticia Suárez Acuña msuarez@cancer.gov.co | Aprobado |
| | | Seguridad y efectividad de sorafenib en pacientes con cáncer avanzado de tiroides: un estudio clínico fase II | Gloria Garavito González ggaravito@cancer.gov.co | En curso |
| | | Evaluación de la experiencia en mastectomías realizadas por el servicio de seno y tumores de tejidos blandos del Instituto Nacional de Cancerología en el periodo 1998-2008 | Javier Ángel Aristizábal jaangel@cancer.gov.co | En curso |
| | | Comparación de las técnicas para diagnóstico de lesiones no palpables de seno: localización radioguiada vs. localización con arpón | Carlos Duarte cduarte@cancer.gov.co | En curso |
| | | ¿Cuál es la efectividad terapéutica del renio 188-HED para el tratamiento de dolor óseo de origen metastásico en pacientes con carcinoma de próstata? | Augusto Enrique Llamas allamas@cancer.gov.co | En curso |
| | | Quimioterapia-radioterapia concomitante versus radioterapia en cáncer de cérvix localmente avanzado (estadio IIIB-IVA) en pacientes del INC | Rosalba Ospino rospino@cancer.gov.co | En curso |
| | | Utilidad de la técnica de ganglio centinela en cáncer de seno localmente avanzado posterior a neoadyuvancia | Javier Ángel Aristizábal jaangel@cancer.gov.co | En curso |
| | | Expresión de IGF-IR, GAPDH, HIF-1alfa, Survivina, ERCC1, GLUT1 y Polimorfismo ARG72PRO de p53 como biomarcadores de respuesta a tratamiento en pacientes con cáncer escamocelular invasivo de cuello uterino | Pablo Moreno Acosta pmoreno@cancer.gov.co | En curso |
| | | Cáncer diferenciado de tiroides: estudio de serie de casos de terapia con I-131 en pacientes con tiroglobulina elevada sin lesiones detectables | Augusto Enrique Llamas allamas@cancer.gov.co | En curso |
| | | Eficacia de la terapia con radionúclidos 177-Lu-DOTA 0,Tyr 3 octreotate para tumores neuroendocrinos metastásicos inoperables. | Carmen Amelia de los Reyes creyes@cancer.gov.co | En curso |
| | | Frecuencia de eventos tromboembólicos en pacientes con neoplasias en el INC | Leonardo José Enciso lenciso@cancer.gov.co | En curso |
| | | Quimioterapia neoadyuvante basada en el esquema ciclofosfamida, doxorubicina en pacientes con cáncer de mama localmente avanzado | Jesús Oswaldo Sánchez jsanchez@cancer.gov.co | En curso |
| | | Reconstrucción mamaria postmastectomía en pacientes con cáncer de mama, diez años de experiencia del Instituto Nacional de Cancerología | Sandra Díaz Casas sdiazcasas@yahoo.es | En curso |
| | | Factores pronósticos y supervivencia en pacientes con rhabdomyosarcoma tratados en la clínica de oncología pediátrica del Instituto Nacional de Cancerología de Colombia | Amaranto Suárez Mattos asuarez@cancer.gov.co | En curso |
| | | Caracterización clínica y radiológica del tumor óseo de células gigantes en pacientes del INC de 1979 a 2010 | Germán Barbosa gbarbosa@cancer.gov.co | En curso |
| | | Evaluación del tratamiento OEPA/COPE en niños y adolescentes con linfoma de Hodgkin en la clínica de oncología pediátrica del Instituto Nacional de Cancerología de Colombia (INC) en el periodo 2000 al 2005 | Jhon Edgar Lopera Marin jlopera@cancer.com.co | En curso |
| | | Evaluación de la experiencia del servicio de seno y tumores de tejidos blandos del Instituto Nacional de Cancerología en cirugía conservadora en cáncer de mama entre los años 2000 a 2006 | Javier Ángel Aristizábal jaangel@cancer.gov.co | En curso |

(continúa)

Tabla 58. Proyectos institucionales de investigación aprobados, en curso o terminados, según línea de investigación, INC, Colombia, 2013.

| Línea | No. | Nombre del proyecto | Investigador principal y contacto | Estado |
|-------|-----|--|---|----------|
| | | Perfusión aislada de extremidades con melfalan en pacientes con tumores de tejidos blandos y pie: una serie de casos del Instituto Nacional de Cancerología | Carlos Alfonso Duarte cduarte@cancer.gov.co | En curso |
| | | Determinantes de mortalidad de los niños con cáncer y neutropenia febril | Amaranto Suárez Mattos asuarez@cancer.gov.co | En curso |
| | | Experiencia en el Instituto Nacional de Cancerología con el protocolo de quimioterapia Rizzoli en pacientes con osteosarcoma de extremidad de alto grado, entre 2007 y 2010 | Carlos Eduardo Bonilla González ilrk@yahoo.com | En curso |
| | | Utilización de aloinjertos óseos en pacientes con patología tumoral ósea: Experiencia del Instituto Nacional de Cancerología | Camilo Soto Montoya csoto@cydbank.org | En curso |
| | | Tumor de células gigantes en el Instituto Nacional de Cancerología | Camilo Soto Montoya csoto@cydbank.org | En curso |
| | | Interferón como tratamiento adyuvante en pacientes con melanoma de tronco y extremidades. Experiencia de 10 años INC, desde enero de 1999 hasta diciembre de 2009 | Mauricio García Mora maurogmora@hotmail.com | En curso |
| | | Melanoma acral lentiginosos en el Instituto Nacional de Cancerología: Una serie de casos 2003-2006 | Carlos Alfonso Duarte cduarte@cancer.gov.co | En curso |
| | | Quimioterapia neoadyuvante en pacientes con cáncer de mama localmente avanzada en el esquema ciclofosfamida, doxorubicina, taxanos con y sin trastuzumab, de acuerdo a la sobreexpresión del HER2 en el Instituto Nacional de Cancerología. Bogotá, Colombia | Jesús Oswaldo Sánchez jsanchez@cancer.gov.co | En curso |
| | | Cáncer epitelial de ovario en estadios avanzados, experiencia del Instituto Nacional de Cancerología (1997-2011) | Mauricio Gonzáles Castañeda mgonzalezc@cancer.gov.co | En curso |
| | | Experiencia en la inserción de prótesis autoexpandibles esofágicas en pacientes adultos con tumores malignos del tracto digestivo en el Instituto Nacional de Cancerología por el servicio de cirugía gastrointestinal y endoscopia digestiva | Ricardo Oliveros roliveros@cancer.gov.co | En curso |
| | | Experiencia en tumores retroperitoneales en el Instituto Nacional de Cancerología en un periodo de 11 años (2000-2011) | Mauricio García Mora maurogmora@hotmail.com | En curso |
| | | Experiencia del INC en el manejo de obstrucción del tracto de salida gástrico y del colon con prótesis metálicas autoexpandibles (SMAE) | Ricardo Oliveros roliveros@cancer.gov.co | En curso |
| | | Niveles de procalcitonina y su relación con la documentación de bacteriemia en pacientes adultos con neoplasias hematológicas y neutropenia febril de alto riesgo inducida por quimioterapia en el Instituto Nacional de Cancerología | Sonia Isabel Cuervo scuervo@cancer.gov.co | En curso |
| | | Reconstrucción de labio superior con colgajo musculocutáneo nasolabial de orbicularis oris de Yotsuyanagi en el Instituto Nacional de Cancerología. Julio 2010 - julio 2012 | Alejandro Duque Restrepo aduke@cancer.gov.co | En curso |
| | | Supervivencia de los pacientes menores de 21 años con osteosarcoma en el INC | Amaranto Suárez Mattos asuarez@cancer.gov.co | En curso |
| | | Tratamiento de rescate de leucemia mieloide aguda refractaria o en recaída con el régimen IDA- FLAG: experiencia en el Instituto Nacional de Cancerología, Bogotá, Colombia | Leonardo José Enciso lenciso@cancer.gov.co | En curso |

(continúa)

Tabla 58. Proyectos institucionales de investigación aprobados, en curso o terminados, según línea de investigación, INC, Colombia, 2013.

| Línea | No. | Nombre del proyecto | Investigador principal y contacto | Estado |
|---|-----|---|---|-----------|
| | | Micosis fungoides en población menor de 15 años en el Instituto Nacional de Cancerología entre los años 1996 y 2006 | Marian Rolón mrolon@cancer.gov.co | Terminado |
| | | Estudio de serie de casos de pacientes con tumores de tejidos blandos y piel llevados a amputaciones mayores en el Instituto Nacional de Cancerología entre los años 1998 y 2008 | Sandra Díaz Casas sdiazcasas@yahoo.es | Terminado |
| | | Prevalencia de pacientes con cáncer de mama triple negativo y basal-like atendidas en el Instituto Nacional de Cancerología y Hospital de San José en el año 2006 con diagnóstico de novo de cáncer de mama | Óscar Armando García osaga72@gmail.com | Terminado |
| | | Farmacocinética piperacilina-tazobactam en pacientes con neutropenia febril post-quimioterapia en el Instituto Nacional de Cancerología | Sonia Isabel Cuervo scuervo@cancer.gov.co | Terminado |
| | | Uso de dacarbazina en melanoma metastásico como primera línea de tratamiento en el Instituto Nacional de Cancerología | Carlos Eduardo Bonilla González ilrk@yahoo.com | Terminado |
| | | Evaluación de la señal de ruido y la resolución de espectros de resonancia magnética in vivo de voxel único generados con la secuencia PRESS | Alfonso Javier Lozano Castillo ajlozanoc@bt.unan.edu.co | Terminado |
| | | Uso de bevacizumab en pacientes con cáncer de colon metastásico en el Instituto Nacional de Cancerología | Alejandro Garrido Serrano agarrido@cancer.gov.co agarrido@telmex.net.co | Terminado |
| Aspectos psicosociales y calidad de vida | 9 | Factores asociados con la participación de las personas en ensayos clínicos en cáncer | José Alexander Carreño jcarreno@cancer.gov.co | Aprobado |
| | | Adherencia al protocolo de manejo institucional de las pacientes con cáncer de mama, atendidas en el Instituto Nacional de Cancerología | Nory Rodríguez Cruz nrodriguezr@cancer.gov.co | Aprobado |
| | | Validación de las escalas Quality of Life Index- Cáncer Scale (CQOLC), sobrecarga del cuidado de Zarit, Life Orientation Test (LOT-R), escala de autoestima de Rosenberg y escala general de autoeficacia, para medición de calidad de vida, sobrecarga, optimismo, autoestima y autoeficacia en cuidadores de pacientes con cáncer en Colombia | Juan Sebastián Castillo jcastillo@cancer.gov.co | Aprobado |
| | | Percepción del soporte social en cuidadores de niños en situación de enfermedad oncológica por lugar de pernoctación en una institución de salud de Bogotá, Colombia | Rocío López Rangel rlopezr@cancer.gov.co | Aprobado |
| | | Validación de la escala PedsQL para evaluar la calidad de vida de los pacientes pediátricos con cáncer en Colombia | Juan Sebastián Castillo jcastillo@cancer.gov.co | Aprobado |
| | | Evaluación de la eficacia y efectividad de una intervención espiritualidad en pacientes con cáncer de mama: ensayo clínico aleatorizado | Ricardo Sánchez Pedraza rsanchezpe@unal.edu.co | En curso |
| | | Validación para la utilización en Colombia de la escala FACIT-E para evaluación de la calidad de vida de los pacientes con cáncer de esófago | Ricardo Sánchez Pedraza rsanchezpe@unal.edu.co | En curso |
| | | Calidad de vida relacionada con el tratamiento quirúrgico en pacientes con cánceres de mama, cuello uterino, próstata, estómago, colon y recto | Juan Sebastián Castillo jcastillo@cancer.gov.co | En curso |
| | | Validación para la utilización en Colombia de la escala FACT-P para la medición de calidad de vida en pacientes con cáncer de próstata | Ricardo Sánchez Pedraza rsanchezpe@unal.edu.co | Terminado |

(continúa)

Tabla 58. Proyectos institucionales de investigación aprobados, en curso o terminados, según línea de investigación, INC, Colombia, 2013.

| Línea | No. | Nombre del proyecto | Investigador principal y contacto | Estado |
|---|---|--|---|----------|
| Biología del cáncer en la población colombiana (Mecanismos moleculares y celulares) | 20 | Tipificación de virus de papiloma humano en cáncer de cérvix de histopatología adversa en pacientes atendidas en la clínica de ginecología del Instituto Nacional de Cancerología entre los años 2007 y 2012 | Mauricio Gonzáles Castañeda mgonzalezc@cancer.gov.co | Aprobado |
| | | Uso del pez cebra para la evaluación in vivo de progenitores leucémicos derivados de pacientes con leucemias agudas en Colombia: un camino hacia el tratamiento personalizado | Martha Leticia Suárez Acuña msuarez@cancer.gov.co | Aprobado |
| | | Validación de la medición de VPH en orina como técnica para el monitoreo de vacuna | Alba Lucía Cómbita acombita@cancer.gov.co | Aprobado |
| | | Polimorfismos en el islote de patogenicidad cag de helicobacter pylori y su asociación con lesiones preneoplásicas y cáncer gástrico | María Mercedes Bravo mbravo@cancer.gov.co | Aprobado |
| | | Identificación de perfil de expresión génica asociados a la respuesta clínica al tratamiento quimioterapéutico de inducción en pacientes con leucemia aguda (LA) | Alba Lucía Cómbita acombita@cancer.gov.co | En curso |
| | | Análisis exploratorio de posibles biomarcadores séricos en cáncer de colon | Alba Lucía Cómbita acombita@cancer.gov.co | En curso |
| | | Presencia de la mutación v600e Braf en carcinomas papilares de tiroides de pacientes atendidos en el INC y descripción de las características clínicas e histopatológicas | Natalia Olaya Morales nolaya@cancer.gov.co | En curso |
| | | Exploración de potenciales biomarcadores predictores del pronóstico en pacientes con diagnóstico de cáncer de próstata (CaP) | María Carolina Sanabria csanabria@cancer.gov.co | En curso |
| | | Cáncer de colon en Colombia, obesidad y factores de riesgo asociados | Gustavo Hernández gahernandez@cancer.gov.co | En curso |
| | | Evaluación de la respuesta inmune hacia las cápsides del virus del papiloma humano 16,18,31,45 y 58 en un grupo de mujeres que serán vacunados con la vacuna de VPH. Un estudio de seguimiento postvacuna | Alba Lucía Cómbita acombita@cancer.gov.co | En curso |
| | | Estudio exploratorio sobre la utilidad de los bloques de parafina del archivo de patología del INC como material base en técnicas moleculares en investigación y aplicación clínica | Juan Carlos Mejía Henao cmejia@cancer.gov.co | En curso |
| | | Niveles de expresión del gen E2 de virus de papiloma humano tipo 16 y su asociación con progresión neoplásica cervical | María Mercedes Bravo mbravo@cancer.gov.co | En curso |
| | | Estado de metilación del Gen hTERT y expresión de la proteína hTERT en tejidos incluidos en parafina de pacientes con cáncer cervical invasivo | Pablo Moreno Acosta pmoreno@cancer.gov.co | En curso |
| | | Restablecimiento de la expresión de moléculas de HLA-I en células tumorales y su aplicación en el tratamiento del cáncer | Alba Lucía Cómbita acombita@cancer.gov.co | En curso |
| | | Estudio de regulación de la expresión genética en el gen KRAS en cáncer de colon en Colombia | Martha Lucía Serrano López mlserrano@cancer.gov.co | En curso |
| Perfiles de expresión de microRNAs en pacientes con leucemia linfoblástica aguda tratados con esquema Hiper-CVAD: efecto de las tasas de respuestas y supervivencia | Leonardo José Enciso lenciso@cancer.gov.co | En curso | | |

(continúa)

Tabla 58. Proyectos institucionales de investigación aprobados, en curso o terminados, según línea de investigación, INC, Colombia, 2013.

| Línea | No. | Nombre del proyecto | Investigador principal y contacto | Estado |
|--|-----|---|---|---------------|
| | | Patrones de rearrreglos de inmunoglobulinas y del receptor de linfocitos T en proliferaciones linfoides de pacientes del INC por medio de pruebas basadas en PCR | Natalia Olaya Morales nolaya@cancer.gov.co | No realizado* |
| | | El metabolismo intermediario como un blanco terapéutico en leucemias: estudios celulares y moleculares | Leonardo José Enciso lenciso@cancer.gov.co | No realizado* |
| | | Virus del papiloma humano en cáncer del tracto aerodigestivo superior | Mónica Molano mmolano@cancer.gov.co | No realizado* |
| | | Identificación de potenciales biomarcadores de respuesta a la terapia neoadyuvante en pacientes con cáncer de mama mediante análisis de perfiles de expresión génica | Alba Lucía Cómbita acombita@cancer.gov.co | No realizado* |
| Control del riesgo y detección precoz del cáncer en Colombia | 9 | Estudio piloto para la implementación de estrategias de detección temprana de cáncer de mama en Colombia | Raúl Hernando Murillo rmurillo@cancer.gov.co | En curso |
| | | Evaluación de la eficacia del tratamiento a mujeres con lesiones preneoplásicas y neoplásicas de cuello uterino en el marco del programa estrategia ver y tratar en Colombia, 2011-2012 | Carolina Wiesner cwiesner@cancer.gov.co | En curso |
| | | Estudio costo-efectividad de las estrategias de tamización y prevención primaria para el cáncer colorrectal en Colombia | Óscar Gamboa ogamboa@cancer.gov | En curso |
| | | Estudio de implementación de un programa alternativo para la tamización de cáncer de cuello uterino en Colombia basado en la prueba de ADN de VPH, a realizarse en un área demostrativa de 2009 a 2012 | Carolina Wiesner cwiesner@cancer.gov.co | En curso |
| | | Evaluación de la costo-efectividad de la vacunación contra el virus del papiloma humano (VPH) en un programa de tamización en cáncer de cuello uterino para Colombia | Óscar Gamboa ogamboa@cancer.gov | En curso |
| | | Validación de la matriz de exposición laboral (MEL-ACE-GAR10) para trabajadores colombianos | María Teresa Espinosa mtespinosa@cancer.gov.co | En curso |
| | | Clasificación de mujeres positivas a las pruebas de ADN-VPH para su adecuada remisión a diagnóstico colposcópico | Raúl Hernando Murillo rmurillo@cancer.gov.co | En curso |
| | | Estudio multicéntrico para el tamizaje de cáncer de cuello uterino y triage con las pruebas del virus del papiloma humano | Raúl Hernando Murillo rmurillo@cancer.gov.co | En curso |
| | | Pepsinógeno I, PGI/PGII, anticuerpos IgG anti Cag A de Helicobacter pylori, polimorfismos IL 1B-511 e IL-1RN y gen reprimido y la prevalencia de lesiones neoplásicas gástricas en poblaciones de riesgo alto y bajo para cáncer gástrico en Colombia | Teresa Martínez Palomino tmartinez@cancer.gov.co | En curso |
| Epidemiología descriptiva y sistemas de vigilancia del cáncer | 8 | Experiencia en el Instituto Nacional de Cancerología en la reconstrucción de las subunidades estéticas nasales después de resección tumorales. Marzo 2012 – Enero de 2013 | Alejandro Duque Restrepo aduque@cancer.gov.co | Aprobado |
| | | Antecedentes ocupacionales, documentados en las historias clínicas de pacientes con cáncer pulmonar | Óscar Gamboa ogamboa@cancer.gov.co | En curso |
| | | Reproducibilidad y validez de cuestionarios de frecuencia de consumo para estudiar la relación dieta-cáncer en Colombia | Martha Patricia Rojas mprojas@cancer.gov.co | En curso |
| | | Cambios en el estado nutricional posteriores al tratamiento quimioterapéutico ambulatorio en pacientes con cánceres colorrectal de mama o de próstata | Ricardo Sánchez Pedraza rsanchezpe@unal.edu.co | En curso |

(continúa)

Tabla 58. Proyectos institucionales de investigación aprobados, en curso o terminados, según línea de investigación, INC, Colombia, 2013.

| Línea | No. | Nombre del proyecto | Investigador principal y contacto | Estado |
|--|--|---|--|---------------|
| | | Serie de casos: mujeres con cáncer de mama localmente avanzado atendidas en el Instituto Nacional de Cancerología | Fabio Olivella Arzuaga folivella@cancer.gov.co | En curso |
| | | Características demográficas, clínicas y patológicas de pacientes con carcinoma escamocelular de cabeza y cuello localmente avanzado, irsecables manejadas en el Instituto Nacional de Cancerología entre los años 2006-2011 | Ricardo Elías Brujes Maya rbruges@cancer.gov.co | En curso |
| | | Tendencia de la incidencia del cáncer de piel en el INC, Colombia 1996-2009 | Álvaro Enrique Acosta Madiedo de Hart aacosta@cancer.gov.co | En curso |
| | | Caracterización de las pacientes intervenidas por adenocarcinoma de endometrio en el Instituto Nacional de Cancerología entre 2007-2012 | Mauricio Gonzáles Castañeda mgonzalezc@cancer.gov.co | En curso |
| Etiología del cáncer en Colombia | 5 | Factores de riesgo para melanoma lentiginoso acral: un estudio de casos y controles en población colombiana | Carlos Alfonso Duarte cduarte@cancer.gov.co | Aprobado |
| | | Perfil molecular de cáncer de mama en dos poblaciones colombianas | Juan Carlos Mejía Henao cmejia@cancer.gov.co | En curso |
| | | Epidemiología del melanoma en dos centros de referencia en Bogotá –Colombia | Álvaro Enrique Acosta Madiedo de Hart aacosta@cancer.gov.co | En curso |
| | | Supervivencia libre de enfermedad a 2 años en pacientes con adenocarcinoma gástrico que reciben quimioterapia adyuvante tratados en el Instituto Nacional de Cancerología en el 2009 | Ricardo Elías Brujes Maya rbruges@cancer.gov.co | En Curso |
| | | Asociación entre la exposición a gas radón intradomiciliario, cancerígenos ocupacionales y estilos de vida con cánceres de pulmón, tráquea y bronquios en tres ciudades colombianas | Teresa Martínez Palomino tmartinez@cancer.gov.co | No realizado* |
| Servicios oncológicos en Colombia | 10 | Determinar la viabilidad de la implementación y sostenibilidad de un programa nacional único bajo la estrategia de Atención Primaria en Salud, para la detección temprana y el tratamiento del cáncer de mama y las lesiones premalignas del cuello uterino | Jesús Alexander Cotes jacotes@cancer.gov.co | Aprobado |
| | | Estudio de caracterización de oferta y demanda de servicios oncológicos en Colombia año 2012 - 2013 | Jairo Aguilera López jaguilera@cancer.gov.co | Aprobado |
| | | Percepción del cuidado de enfermería dado a los pacientes con cáncer | Narda Patricia Santamaría Mosquera | Aprobado |
| | | Caracterización y acceso al tratamiento de cáncer mediante acción de tutela y autorización por comité técnico científico, año 2009 | Edgar Augusto Salgerol esalguero@cancer.gov.co | En curso |
| | | La atención del cáncer en Colombia: representaciones e imaginarios médicos | Carolina Wiesner cwiesner@cancer.gov.co | En curso |
| | | Problemas relacionados con la formulación de quimioterapia en pacientes ambulatorios durante el 2011 en el Instituto Nacional de Cancerología | José Alexander Carreño jcarreno@cancer.gov.co | En curso |
| | | Características clínicas y abordaje del cáncer de próstata en instituciones prestadoras de servicios oncológicos en tres ciudades colombianas | Marion Piñeros mpineros@cancer.gov.co | En curso |
| Pacientes con cáncer de recto localmente avanzado en tratamiento neoadyuvante con quimioterapia en el Instituto Nacional de Cancerología | Fabio Alejandro Olivella Cicero acorde79@yahoo.es | Terminado | | |

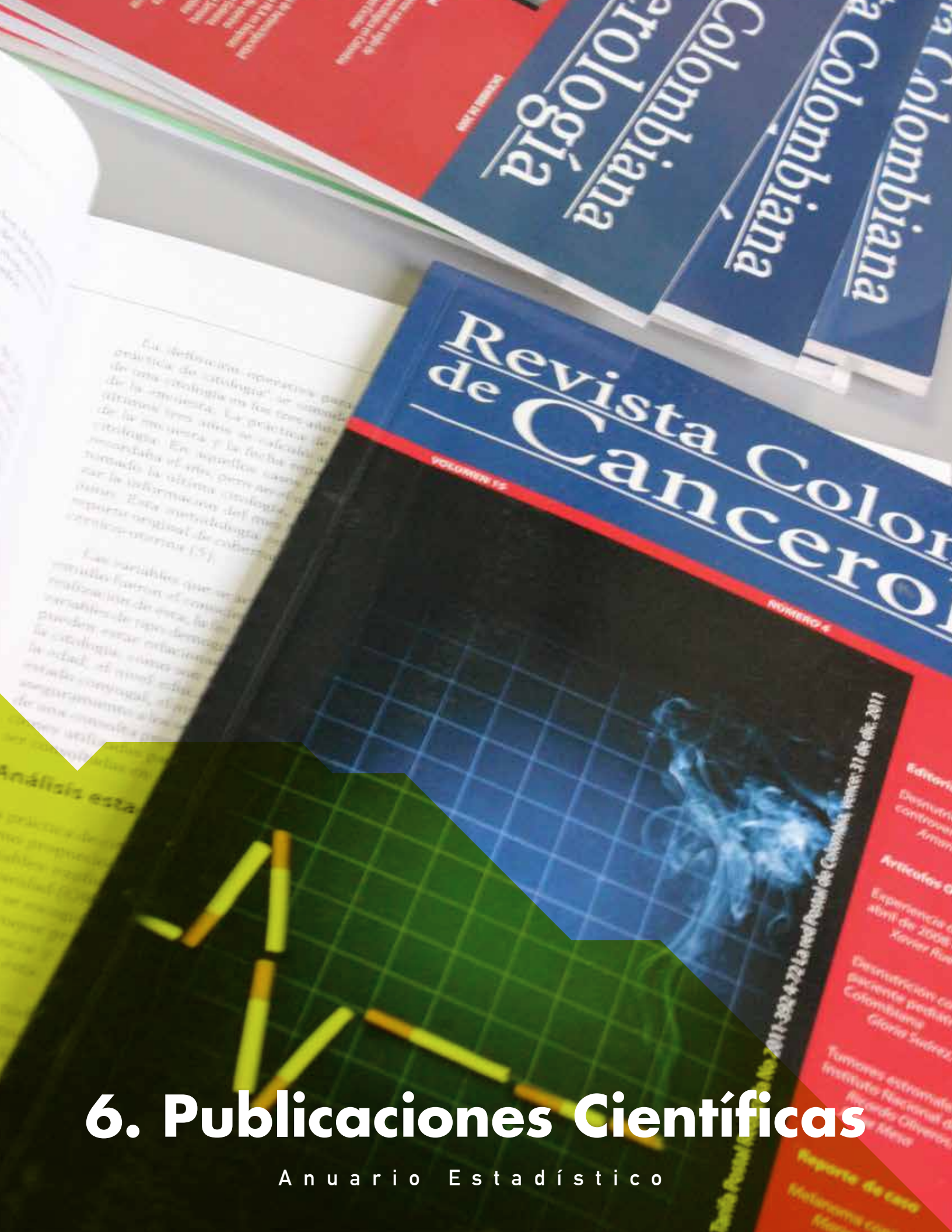
(continúa)

Tabla 58. Proyectos institucionales de investigación aprobados, en curso o terminados, según línea de investigación, INC, Colombia, 2013.

| Línea | No. | Nombre del proyecto | Investigador principal y contacto | Estado |
|--------------|------------|--|---|---------------|
| | | Estudio sobre la armonización del derecho interno del control de tabaco con las obligaciones establecidas en los convenios internacionales vinculantes ratificados por el Estado colombiano, para asegurar el goce de los derechos reconocidos y establecidos en virtud de las obligaciones internacionales asumidas | Diana Rivera drivera@cancer.gov.co | No realizado* |
| | | Análisis de la visibilidad pública del cáncer de cuello uterino en Colombia. Periodo 2007- 2012 | Alejandro Leonardo Niño Bedoya anino@cancer.gov.co | No realizado* |
| Total | 117 | | | |

* No realizados por viabilidad financiera
Fuente: Monitoría de Investigaciones, INC.





6. Publicaciones Científicas

Anuario Estadístico

Tabla 59. Publicaciones científicas, según grupo o servicio, INC, Colombia, 2013.

| Publicaciones internacionales | | | |
|---|--|---|--|
| Nombre de la publicación | Medio de publicación | Autores | Grupo/servicio |
| Follicular thyroid carcinoma with signet ring cell, morphology: Fine-Needle aspiration cytology, histopathology, and munohistochemistry | Endocr Pathol. 2013;24(4):239-45 | Alfredo E. Romero-Rojas1 Julio A. Díaz-Pérez1,3 Melina Mastrodimos2 Sandra I. Chinchilla1 | 1 National Institute of Cancer, Bogotá, Colombia 2 University of California, Stein Clinical Research Building 3 University of Santander, Bucaramanga, Colombia |
| Long-Term follow-up observation of the safety, immunogenicity, and effectiveness of gardasilTM in adult women | PLoS ONE. 2013;8(12):e008343. doi:10.1371 | Joaquín Luna1 Manuel Plata2 Mauricio González1 Alfonso Correa3 Ivete Maldonado4 Claudia Nossa5 David Radley6 Scott Vuocolo6 Richard M. Haupt6 Alfred Saahó | 1 Instituto Nacional de Cancerología, Colombia 2 Fundación Cardioinfantil, Colombia 3 Clínica del Country, Colombia 4 Fundación Santa Fe, Colombia 5 Cafam, Colombia 6 Merck Sharp & Dohme Corp, USA |
| Primary gliosarcoma of the brain: Radiologic and histopathologic features | Neuroradiol J. 2013;26(6):639-48 | Alfredo E. Romero-Rojas1 Julio A. Díaz-Pérez2,3 Lina M. Ariza-Serrano2 Deirdre Amaro2 Alfonso Lozano-Castillo1 | 1 National Institute of Cancer, Colombia 2 University of California, USA 3 University of Santander, Colombia |
| Desmoplastic infantile ganglioglioma with late presentation a clinical, radiological and histopathological analysis | Neuroradiol J. 2013;26(6):649-54 | Alfredo E. Romero-Rojas1 Julio A. Díaz-Pérez1,2,3 Alfonso Lozano-Castillo4 | 1 Division of Neuropathology, National Institute of Cancer, Colombia 2 Department of Pathology, University of Santander, Colombia 3 Moores Cancer Center, University of California, USA 4 Division of Neuroradiology, National University of Colombia |
| Histopathological and immunohistochemical profile in anaplastic gangliogliomas | Neurocirugia. 2013;24(6):237-43 | Romero-Rojas A.E1 Chinchilla-Olaya S.I1 Restrepo-Escobar L.I1 Díaz-Pérez J.A.2,3 Amaro D2 Lozano-Castillo A4 | 1 Division of Neuropathology, National Cancer Institute, Colombia 2 Department of Pathology, University of California, San Diego, USA 3 Department of Pathology, Universidad de Santander, Colombia 4 Division of Neuroradiology, National University of Colombia |
| CagA EPIYA polymorphisms in Colombian Helicobacter pylori strains and their influence on disease-associated cellular responses | World J Gastrointest Oncol. 2013;5(3):50-9 | Carlos Alberto Fajardo1 Andrés Javier Quiroga1 Andrea Coronado1 Karen Labrador1 Nicole Acosta2 Pilar Delgado2 Carlos Jaramillo2 María Mercedes Bravo1 | 1 Cancer and Infectious Agents Research Group, National Cancer Institute, Colombia 2 Molecular Diagnostics and Bioinformatics Laboratory, Biological Sciences Department, Los Andes University, Bogotá, Colombia |
| Vertebral bone primary angiosarcoma: A case report | Orthop Surg. 2013;5(2):146-8 | Alfredo E Romero-Rojas1 Julio A Díaz-Pérez1,3 Lina M Ariza-Serrano3 Fabian E Neira-Escobar2 | 1 National Institute of Cancer, Colombia 2 Department of Radiology, National University of Colombia, Bogotá, Colombia 3 Moores Cancer Center, University of California San Diego, La Jolla, California, USA |
| Glioblastoma metastasis to parotid gland and neck lymph nodes: Fine-Needle aspiration cytology with histopathologic correlation | Head Neck Pathol. 2013;7(4):409-15 | Alfredo E. Romero-Rojas1 Julio A. Díaz-Pérez1,2,3 Deirdre Amaro2 Alfonso Lozano-Castillo4 Sandra I. Chinchilla-Olaya1 | 1 National Institute of Cancer, Colombia 2 University of California, San Diego, Stein Clinical Research, USA 3 University of Santander, Colombia 4 National University of Colombia |

(continúa)

Tabla 59. Publicaciones científicas, según grupo o servicio, INC, Colombia, 2013.

| Publicaciones internacionales | | | |
|---|--|--|--|
| Nombre de la publicación | Medio de publicación | Autores | Grupo/servicio |
| Patterns and trends in cancer mortality in Colombia 1984–2008 | Cancer Epidemiol. 2013;37(3):233–9 | Marion Piñeros ¹ Óscar Gamboa ¹ Gustavo Hernández-Suárez ¹ Constanza Pardo ¹ Freddie Bray ² | 1 National Cancer Institute, Colombia 2 Section of Cancer Information, International Agency for Research on Cancer, Lyon, France |
| Ectopic thyroid tissue in the adrenal gland: A report of two cases with pathogenetic implications | Thyroid. 2013;23(12):1644-50 | Alfredo Romero-Rojas ¹ María Rosa Bella-Cueto ² Ivonne A. Meza-Cabrera ³ Ángeles Cabezuelo-Hernández ² Darío García-Rojo ² Hernando Vargas-Uricoechea ³ Jose Cameselle-Teijeiro ⁴ | 1 National Cancer Institute, Colombia 2 Corporació Sanitaria Parc Taulí, Sabadell, Spain 3 University Hospital San José, University of Cauca, Popayan, Colombia 4 Department of Pathology, University of Santiago de Compostela, Santiago de Compostela, Spain |
| Primary esophageal meningioma first literature report | J Clin Gastroenterol. 2013;47(1):58-61 | Alfredo E. Romero-Rojas ¹ Julio A. Díaz-Pérez ^{2,3} Deirdre Amaro ³ Óscar A. Messa-Botero ¹ Elías A. Castilla ⁴ | 1 National Institute of Cancer, Bogotá, Colombia 2 University of Santander, Bucaramanga, Colombia 3 University of California, San Diego Moores Cancer Center, La Jolla, CA 4 Bethesda North Hospital, Cincinnati |
| Características histológicas de la gastritis asociada a los genotipos cagA y vacA de Helicobacter pylori difieren en 2 zonas de riesgo opuesto para cáncer gástrico en Colombia | Rev Esp Patol. 2013;46(3):139-52 | Teresa Martínez ¹ Jesús Pérez-García ² Gustavo A. Hernández ¹ María Mercedes Bravo ³ Elena Kasamatsu ⁴ | 1 Grupo de Investigación Epidemiológica del Cáncer, Instituto Nacional de Cancerología, Bogotá, Colombia 2 Facultad de Medicina, Universidad Libre, Laboratorio de Patología Clínica General del Norte, Barranquilla, Colombia 3 Grupo de Biología del Cáncer, Instituto Nacional de Cancerología, Bogotá, Colombia 4 Instituto de Investigaciones en Ciencias de la Salud, Universidad Nacional de Asunción, Bogotá, Paraguay |
| Expression of the hypoxic and glycolytic markers, CAIX, GLUT-1 and HKII and their association with early treatment response in squamous cell carcinomas of the uterine cervix | Prog Obstet Ginecol. 2013;56(8):404-13 | Pablo Moreno-Acosta ¹ Schyrly Arrillo ¹ Óscar Gamboa ² Yineth Acosta ³ Joseph Balart-Serra ⁴ Nicolas Magne ⁵ Mario Alexander Melo-Uribe ⁶ Alfredo Ernesto Romero-Rojas ⁷ | 1 Grupo de Investigación en Biología del Cáncer, Subdirección de Investigaciones, Instituto Nacional de Cancerología, Bogotá, Colombia 2 Subdirección de Investigaciones, Instituto Nacional de Cancerología, Bogotá, Colombia 3 Grupo de Patología, Universidad Nacional de Colombia, Facultad de Medicina, Bogotá, Colombia 4 Radiobiología Aplicada, Laboratorio de Investigación Translacional (IDIBELL), Instituto Catalán de Oncología, Barcelona, España 5 Department of Radiotherapy, Institut de Cancérologie de la Loire, Saint Priest en Jarez, Francia 6 Grupo de Patología Quirúrgica, Universidad de La Sabana, Bogotá, Colombia 7 Grupo de Patología Oncológica, Instituto Nacional de Cancerología, Bogotá, Colombia |

(continúa)

Tabla 59. Publicaciones científicas, según grupo o servicio, INC, Colombia, 2013.

| Publicaciones internacionales | | | |
|---|--|--|--|
| Nombre de la publicación | Medio de publicación | Autores | Grupo/servicio |
| La calidad de la mamografía en Colombia: análisis de un estudio piloto | An Radiol México. 2013;12(3):164-74 | Harley Aiejo-Martínez1 Carolina Wiesner-Ceballos1 Mauricio Andrés Arciniegas-Álvarez1 César Augusto Poveda-Suárez2,3 Devi Neireida Puerto-Jiménez1 Ingrid Tatiana Ardila- Hernández1 Jesús Alexander Cotes-Millán4 | 1 Grupo de Prevención y Detección Temprana del Cáncer, Instituto Nacional de Cancerología, Colombia 2 Grupo Imágenes Diagnósticas, Instituto Nacional de Cancerología, Colombia 3 Facultad de Medicina, Universidad Nacional de Colombia 4 Ministerio de la Salud y Protección Social, Colombia |
| Efficacy of Robotic-Assisted Prostatectomy in Localized Prostate Cancer: A Systematic Review of Clinical Trials | Advances in Urology. 2013;ID 105651. http://dx.doi.org/10.1155/2013/105651 | Carolina Sandoval Salinas1 Andrés L. González Rangel1 Juan G. Cataño Cataño2 Juan C. Fuentes Pachón1 Juan S. Castillo Londoño1 | 1 Grupo de Investigación Clínica, Instituto Nacional de Cancerología, Bogotá, Colombia 2 Centro Oncológico Javeriano, Hospital Universitario San Ignacio, Bogotá, Colombia |
| Publicaciones nacionales | | | |
| Nombre de la publicación | Medio de publicación | Autores | Grupo/servicio |
| Amputaciones mayores en cirugía oncológica. Análisis retrospectivo de 80 casos en el Instituto Nacional de Cancerología | Rev Colomb Cancerol. 2013;17(1):3-10 | Sandra Díaz1 Carlos Lehmann2 Licet Villamizar2 Javier Ángel1 Dimelza Osorio2 Alejandra Sánchez3 | 1 Grupo de Seno y Tejidos Blandos. INC 2 Grupo de Investigación Clínica. INC 3 Grupo de Seno y Tejidos Blandos, Liga Contra el Cáncer |
| Análisis de espectros de resonancia magnética | Rev Colomb Cancerol. 2013;17(1):11-7 | Alfonso Lozano1,2 Nathaly Barbosa3,4 Luis Agulles3 | 1 Grupo de Radiología e Imágenes Diagnósticas. INC 2 Facultad de Medicina, Universidad Nacional de Colombia 3 Departamento de Física, Universidad Nacional de Colombia 4 Grupo de Medicina Nuclear, INC |
| Pacientes con cáncer de recto localmente avanzado en tratamiento neoadyuvante con quimiorradioterapia en el Instituto Nacional de Cancerología durante 2010 | Rev Colomb Cancerol. 2013;17(1):18-24 | Giovanna Rivas1,2 Fabio Olivella1,2 José Carreño3 Viviana Rodríguez4 | 1 Grupo de Oncología Clínica. INC 2 Universidad El Bosque, Bogotá, Colombia 3 Grupo de Investigación Clínica. INC 4 Grupo de Epidemiología Clínica, Universidad El Bosque |
| Hiperplasia angioliñfoide en espécimen de expansión tisular. Reporte de caso | Rev Colomb Cancerol. 2013;17(1):25-8 | Mariam Rolón1 Catalina Gómez2 Berly Díaz2 Andrea Merlo3 Alejandro Duque4 y Marino ardon4,5 | 1 Grupo de Patología. INC 2 Universidad Industrial de Santander 3 Universidad del Bosque, Bogotá, Colombia 4 Grupo de Cirugía Reconstructiva, INC 5 Universidad Militar Nueva Granada, Colombia |
| Reconstrucción de gran defecto perineal con colgajos musculocutáneos de grácilis. A propósito de un caso | Rev Colomb Cancerol. 2013;17(1):29-32 | Amanda Alfonso1 Marino Cardona1 | 1 Grupo de Cirugía Reconstructiva, INC |
| Salvamento de extremidad con resección extraarticular de rodilla | Rev Colomb Cancerol. 2013;17(1):40-5 | Camilo Soto1 Jorge Páez1,2 y Luis Gómez1 | 1 Clínica de Ortopedia Oncológica, INC 2 Universidad Militar Nueva Granada, Colombia |

(continúa)

Tabla 59. Publicaciones científicas, según grupo o servicio, INC, Colombia, 2013.

| Publicaciones nacionales | | | |
|--|--|--|---|
| Nombre de la publicación | Medio de publicación | Autores | Grupo/servicio |
| Músculo esternalis: variante anatómica que simula neoplasia en mamografía | Rev Colomb Cancerol. 2013;17(1):46-9 | César A. Poveda ^{1,2} Emma J. Muñoz ³ Diana C. Camargo ³ | 1 Grupo Imágenes Diagnósticas, INC 2 Facultad de Medicina, Universidad Nacional de Colombia 3 Departamento de Radiología e imágenes diagnósticas, Universidad de la Sabana |
| Supervivencia en adenocarcinoma gástrico posterior a tratamiento adyuvante tratados en el Instituto Nacional de Cancerología de Colombia durante el 2009 | Rev Colomb Cancerol. 2013;17(2):55-61 | Fabio Grosso ¹ Ricardo Brügés ¹ Licet Villamizar ² | 1 Grupo de Oncología Clínica. INC 2 Grupo de Investigación clínica. INC |
| Cáncer en la Unidad de Cancerología de Huila, 2006-2008 | Rev Colomb Cancerol. 2013;17(2):62-8 | Constanza Pardo ¹ Jainer Guzmán ² Omnaresi Rodríguez ¹ | 1 Grupo de Vigilancia Epidemiológica del Cáncer, INC 2 Liga Contra el Cáncer Seccional Huila, Neiva, Colombia |
| Adaptación transcultural del cuestionario EORTC QLQ-OES18 para medir calidad de vida en pacientes con cáncer de esófago en Colombia | Rev Colomb Cancerol. 2013;17(2):69-76 | Claudia Ibáñez ¹ Fabio Sierra ¹ Ricardo Sánchez ^{1,2} | 1 Grupo de Investigación Clínica, INC 2 Facultad de Medicina, Universidad Nacional de Colombia |
| Obstrucción intestinal maligna. Revisión de tema | Rev Colomb Cancerol. 2013;17(2):77-85 | John Cárdenas ^{1,2} Claudia Agámez ² Sandra Parra ^{1,2} | 1 Medicina del dolor y cuidado paliativo, Universidad Militar Nueva Granada, Colombia 2 Grupo de dolor y cuidado paliativo, INC |
| SPECT/CT para mapeo linfático en disección superselectiva de cuello de carcinoma escamocelular de lengua | Rev Colomb Cancerol. 2013;17(2):86-90 | Enrique Cadena ^{1,2} Álvaro Calderón ³ Geimar Bermeo ³ | 1 Grupo Cirugía de Cabeza y Cuello, INC 2 Unidad de Otorrinolaringología, Universidad Nacional de Colombia 3 Grupo de Medicina Nuclear, INC |
| Barreras para la implementación de la prueba ADN-VPH como técnica de tamización primaria para cáncer de cuello uterino en un área demostrativa en Colombia | Rev Colomb Cancerol. 2013;17(3):93-102 | Carolina Wiesner ^{1,2} Lina Rincón ¹ Óscar Gamboa ^{1,3} Marion Piñeros ⁴ Mauricio González ⁵ Natascha Ortiz ⁶ Gustavo Hernández ⁷ Mónica Molano ⁸ Ruth Robles ⁹ | 1 Grupo de Prevención y Detección Temprana de Cáncer, INC 2 Universidad Externado de Colombia 3 Unidad de Análisis, INC 4 Subdirección de Investigaciones, INC 5 Grupo de Ginecología Oncológica, INC 6 Fundación Universitaria de Ciencias de la Salud (FUCS), Colombia 7 Grupo de Investigación Epidemiológica, INC 8 Grupo de Biología del Cáncer, INC 9 Secretaría de Salud de Boyacá, Colombia |

(continúa)

Tabla 59. Publicaciones científicas, según grupo o servicio, INC, Colombia, 2013.

| Publicaciones nacionales | | | |
|--|--|---|--|
| Nombre de la publicación | Medio de publicación | Autores | Grupo/servicio |
| Evaluation of the immune response to human papillomavirus types 16, 18, 31, 45 and 58 in a group of Colombian women vaccinated with the quadrivalent vaccine | Rev Colomb Cancerol. 2013;17(3):103-10 | Alba Cómbita ^{1,2} Diego Duarte ¹ Josefa Rodríguez ^{1,3} Mónica Molano ¹ Lina Martínez ¹ Pilar Romero ¹ Lina Trujillo ⁴ Mauricio González ⁴ Joaquín Luna ⁴ Natascha Ortiz ⁵ Gustavo Hernández ⁶ Pierre Coursaget ⁷ Antoine Touzé ⁷ | 1 Grupo de Investigación en Biología del Cáncer. INC 2 Departamento de Microbiología, Universidad Nacional de Colombia 3 Unidad de Inmunología, Universidad del Rosario 4 Grupo de Ginecología, INC 5 Grupo de Investigaciones Clínicas, INC 7 Grupo de Investigación en Epidemiología, INC 8 Université François-Rabelais, UMR INRA 1282, Tours, France |
| Tumor pilar proliferante maligno en cuero cabelludo | Rev Colomb Cancerol. 2013;17(3):119-21 | Adisson Muñoz ¹ Francisco Lama ² Xavier Rueda ² Álvaro Acosta ² Mariam Rolón ³ | 1 Grupo de Cirugía Plástica Oncológica, INC 2 Grupo de Dermatología Oncológica, INC 3 Departamento de Patología, INC |
| I-131 SPECT/CT en cáncer diferenciado de tiroides | Rev Colomb Cancerol. 2013;17(3):122-5 | Augusto Llamas-Olier ¹ Enrique Cadena ^{2,3} | 1 Grupo de Medicina Nuclear, INC 2 Grupo de Cabeza y Cuello, INC 3 Unidad de Otorrinolaringología, Universidad Nacional de Colombia |
| Linfoma primario de sistema nervioso central, imagen con FDG-PET/CT | Rev Colomb Cancerol. 2013;17(3):126-9 | Alejandro Martí Samper | 1 Grupo de Medicina Nuclear-PET, INC |
| Cáncer epitelial avanzado de ovario en un grupo de pacientes colombianas | Rev Colomb Cancerol. 2013;17(4):142-8 | Mauricio González ¹ Carlos A. Barrera ^{2,3} y Juan S. Castillo ⁴ | 1 Clínica de Ginecología Oncológica, Instituto Nacional de Cancerología, Bogotá, Colombia 2 Instituto Nacional de Cancerología 3 Ginecología Oncológica, Universidad Militar Nueva Granada, Colombia 4 Grupo de Investigación Clínica, INC |
| Adaptación transcultural de la escala Daily Spiritual Experience Scale para su uso en Colombia | Rev Colomb Cancerol. 2013;17(4):149-57 | Fabio Alexander Sierra Matamoras, Ricardo Sánchez Pedraza, Claudia Irene Ibáñez Antequera | 1 Instituto Nacional de Cancerología ESE, Bogotá, Colombia |
| Reconstrucción total de labio superior con colgajo musculocutáneo nasolabial de orbicularis oris bilateral | Rev Colomb Cancerol. 2013;17(4):158-61 | Marino A. Cardona González ^{1,2} Jorge E. Chaparro Aranguren ¹ | 1 Cirugía Plástica Oncológica, INC 2 Universidad Militar Nueva Granada, Colombia |
| Paraganglioma metastásico: imagen con 18F-fluorodesoxiglucosatomografía por emisión de positrones | Rev Colomb Cancerol. 2013;17(4):162-5 | Alejandro Martí Samper | 1 Grupo de Medicina Nuclear-PET, INC |
| La medicina frente a las encrucijadas del fumador. Editorial | Biomédica. 2013;33(2): 2-3 | Carolina Wiesner | 1 Instituto Nacional de Cancerología, Bogotá, Colombia |
| Mastitis tuberculosa | Biomédica. 2013;33(1):36-41 | Sonia Isabel Cuervo ^{1,2} Diego Andrés Bonilla ¹ Martha Isabel Murcia ³ Johana Hernández ³ Julio César Gómez ² | 1 División de Apoyo Especializada en Infectología, Departamento de Medicina Interna, Universidad Nacional de Colombia 2 Grupo de Infectología, Instituto Nacional de Cancerología, Colombia 3 Grupo de Micobacterias, Departamento de Microbiología, Universidad Nacional de Colombia |

(continúa)

Tabla 59. Publicaciones científicas, según grupo o servicio, INC, Colombia, 2013.

| Publicaciones nacionales | | | |
|---|---|--|---|
| Nombre de la publicación | Medio de publicación | Autores | Grupo/servicio |
| Reglamentación de la Ley 1388 de 2010 "por el derecho a la vida de los niños con cáncer en Colombia": Avances y desafíos | Monitor Estratégico. 2013;4:69-77 | Jesús Alexander Cotes Millán1 | 1 Grupo Área de Salud Pública del Instituto Nacional de Cancerología |
| Libros y capítulos de libro | | | |
| Nombre de la publicación | Medio de publicación | Autores | Grupo/servicio |
| Guía de atención integral para la detección temprana, diagnóstico, tratamiento, seguimiento y rehabilitación del cáncer de próstata en Colombia | Libro: Ministerio de Salud y Protección Social, Colciencias, Instituto Nacional de Cancerología ESE-Fedesalud; Bogotá, 2013 ISBN: 978-958-8838-42-7 | Juan Sebastián Castillo1 Juan Camilo Fuentes1 David López1 Juan Guillermo Cataño2 Andrés González1 et al. | 1 Grupo de Investigación Clínica, INC 2 Sociedad Colombiana de Urología |
| Guía de atención integral para la detección temprana, diagnóstico, tratamiento, seguimiento y rehabilitación del cáncer de mama en Colombia | Libro: Ministerio de Salud y Protección Social, Colciencias, Instituto Nacional de Cancerología ESE-Fedesalud; Bogotá, 2013 ISBN: 978-958-57937-7-4 | Esperanza Peña1 Magda Alba2 Fabio Sierra1 Fernando Perry3 Astrid González1 et al. | 1 Grupo de Investigación Clínica, Instituto Nacional de Cancerología ESE 2 Especialista en epidemiología 3 Asociación Colombiana de Mastología |
| Guía de atención integral para la detección temprana, diagnóstico, tratamiento, seguimiento y rehabilitación del cáncer colorrectal en Colombia | Libro: Ministerio de Salud y Protección Social, Colciencias, Instituto Nacional de Cancerología ESE-Fedesalud; Bogotá, 2013 ISBN: 978-958-8838-15-1 | Licet Villamizar1 Magda Gamba1 Claudia Ibáñez1 Javier Carrera2 Andrés González1 et al. | 1 Grupo de Investigación Clínica, INC 2 Asociación Colombiana de Coloproctología |
| Control de calidad para los servicios de mamografía digital - Programa para la detección temprana de cáncer de mama | Libro: Instituto Nacional de Cancerología ESE, Ministerio de Salud y Protección Social; Colombia, 2013 ISBN: 978-958-57632-5-8 | Harley Alejo-Martínez1 César A. Poveda S2 | 1 Grupo de Prevención y Detección Temprana del Cáncer, Instituto Nacional de Cancerología, Colombia 2 Grupo Imágenes Diagnósticas, Instituto Nacional de Cancerología, Colombia |
| Control de calidad en mamografía analógica. Manual del tecnólogo | Libro: Instituto Nacional de Cancerología ESE, Ministerio de Salud y Protección Social; Colombia, 2013 ISBN: 978-958-57632-0-3 | Elaborado por: Harold Machado, Nelcy Yazmín Niño, Luis Carlos Lagares, Robinson Martínez Mauricio Arciniegas Álvarez Revisado y actualizado por: Harley Alejo Martínez1 César Poveda Suárez2 | 1 Grupo de Prevención y Detección Temprana del Cáncer, Instituto Nacional de Cancerología, Colombia 2 Grupo Imágenes Diagnósticas, Instituto Nacional de Cancerología, Colombia |
| Breast Cancer Early Detection and Clinical Guidelines. | Capítulo de libro: Cancer Epidemiology: Low- And Middle-Income Countries And Special Populations, ISBN: 9780199733507, Vol., págs:378-98, Ed. Oxford University Press, 2013 | David B.Thomas1 Raúl Hernando Murillo2 | 1 University of Washington, USA 2 Instituto Nacional de Cancerología, Colombia |
| Cancer Screening in Low and Middle-Income Countries | Cancer Screening in Low and Middle-Income Countries | Rengaswamy Sankaranarayanan1 Samantha Thara2 Youlin Qiao3 Twalib Ngoma4 Raúl Hernando Murillo Moreno5 | 1 International Agency for Research on Cancer Lyon, France 2 Regional Cancer Centre Trivandrum, India 3 Cancer Institute of the Chinese Academy of Medical Sciences, China 4 Ocean Road Cancer Institute, Tanzania 5 Instituto Nacional de Cancerología, Colombia |

(continúa)

Tabla 59. Publicaciones científicas, según grupo o servicio, INC, Colombia, 2013.

| Participación en publicaciones extrainstitucionales | | | |
|--|---|--|--|
| Nombre de la publicación | Medio de publicación | Autores | Grupo/servicio |
| Cost-effectiveness analysis of the bivalent and quadrivalent human papillomavirus vaccines from a societal perspective in Colombia | PLoS ONE. 2013;8(11): e0080639. doi:10.1371 | Johanna Aponte-González1 Luisa Fajardo-Bernal1 Jorge Díaz2 Javier Eslava-Schmalbach1 Óscar Gamboa3 Joel W. Hay4 | 1 Clinical Epidemiology Department, Universidad Nacional de Colombia 2 Pharmacology Department, Universidad Nacional de Colombia, 3 Research Department (Subdirección Investigaciones), Instituto Nacional de Cancerología de Colombia 4 Titus Family Department of Clinical Pharmacy and Pharmaceutical Economics and Policy, University of Southern California, United States of America. |
| Breast Cancer in Young Women in Latin America: An Unmet, Growing Burden | Oncologist. 2013;18(12):1298–306 | Cynthia Villarreal-Garza1 Christian Águila1 María C. Magallanes-Hoyos1 Alejandro Mohar1 Enrique Bargalló1 Abelardo Meneses1 Eduardo Cazap2 Henry Gómez3 Lizbeth López-Carrillo4 Yanin Chávarri-Guerra5 Raúl Murillo6 Carlos Barrios7. | 1 Instituto Nacional de Cancerología, México 2 Sociedad Latinoamericana y del Caribe de Oncología Médica, Argentina 3 Instituto Nacional de Enfermedades Neoplásicas, Perú 4 Instituto Nacional de Salud Pública, México 5 Instituto Nacional de Ciencias Médicas y Nutrición Salvador Zubirán, México 6 Instituto Nacional de Cancerología, Colombia 7 Instituto do Câncer, Hospital Mãe de Deus, Brazil |
| The utility of serologic tests as biomarkers for Helicobacter pylori-associated recancerous lesions and gastric cancer varies between Latin American countries | Cancer Causes Control. 2013;24(2):241–8 | Lourdes Flores Luna1 Margarita Camorlinga-Ponce2 Gustavo Hernández Suárez3 Elena Kasamatsu4 María Elena Martínez5 Raúl Murillo Moreno3 Eduardo Lazcano Ponce1 José Torres Estrada2 | 1 Centro de Investigación en Salud Poblacional, Instituto Nacional de Salud Pública, México 2 Instituto Mexicano del Seguro Social, Unidad de Investigación en Enfermedades Infecciosas, México 3 Grupo Investigación Epidemiológica, Instituto Nacional de Cancerología, Colombia 4 Instituto de Investigaciones en Ciencias de la Salud, Universidad Nacional de Asunción, Asunción, Paraguay 5 Moores UCSD Cancer Center, University of California, USA |
| Gastric cancer incidence and mortality is associated with altitude in the mountainous regions of Pacific Latin America | Cancer Causes Control. 2013;24(2):249–56 | Javier Torres1 Pelayo Correa2 Caterina Ferreccio3 Gustavo Hernández-Suárez4 Rolando Herrero5 María Cavazza-Porro6 Ricardo Domínguez7 Douglas Morgan2 | 1 Unidad de Investigación en Enfermedades Infecciosas, Instituto Mexicano del Seguro Social 2 University of Vanderbilt, Nashville, USA 3 Universidad Católica de Chile, Republica de Chile 4 Grupo Investigación Epidemiológica, Instituto Nacional de Cancerología, Colombia 5 Prevention and Implementation Group, IARC, France 6 Ciencias Biológicas, Instituto de Biomedicina, Venezuela 7 Hospital de Occidente, Honduras |

(continúa)

Tabla 59. Publicaciones científicas, según grupo o servicio, INC, Colombia, 2013.

| Participación en publicaciones extrainstitucionales | | | |
|--|---|---|--|
| Nombre de la publicación | Medio de publicación | Autores | Grupo/servicio |
| Osteonevus de Nanta, reporte de un curioso fenómeno en la piel | Rev Asoc Colomb Dermatol. 2013;21(3):270-3 | Yeison Harvey Carlosama1 José Alfredo Szelezsán2 Mariam Carolina Rolón3 | 1 Universidad del Cauca, Colombia 2 Fundación Universitaria de Ciencias de la Salud, Colombia 3 Instituto Nacional de Cancerología, Colombia |
| Report of 2 Cases of Primary Epithelioid Hemoendothelioma of the External Iliac Vein | Vas Endovascular Surg. 2013;47(6):474-8 | Alberto Muñoz1 Julio A. Diaz-Perez2,3 Alfredo E. Romero-Rojas4 Elizabeth Hernández1 Francisco Martín-Berdazco5 | 1 Department of Vascular Surgery, Palermo Clinic, Colombia 2 Department of Pathology, University of Santander, Colombia 3 Department of Pathology, University of California, USA 4 Department of Pathology, National Institute of Cancer, Colombia 5 Department of Pathology, National University of Colombia |
| The Occasional Role of Low-risk Human Papillomaviruses 6, 11, 42, 44, and 70 in Anogenital Carcinoma Defined by Laser Capture Microdissection/PCR Methodology: Results From a Global Study | Am J Surg Pathol. 2013;37(9):1299-310 | Núria Guimerà1,2 Belén Lloveras1,3 Jan Lindeman2 Laia Alemany1,4 Miekkel van de Sandt4 María Alejo1,5 Gustavo Hernández-Suárez6 Ignacio G. Bravo1,4 Anco Molijn2 David Jenkins2 Antonio Cubilla7 Nubia Muñoz 1,6 Silvia de Sanjose1,4 Francesc Xavier Bosch1 Wim Quint2 | 1 Institut Català d'Oncologia, L'Hospitalet de Llobregat (Barcelona), Espanya 2 Diagnostic Laboratory, Rijswijk, The Netherlands 3 Hospital del Mar, Barcelona, España 4 Epidemiología y Salud Pública (CIBERESP), Barcelona, España 5 Consorci Sanitari Integral, Hospital General de l'Hospitalet, L'Hospitalet de Llobregat, (Barcelona), Espanya 6 Instituto Nacional de Cancerología, Bogotá, Colombia 7 Instituto de Patología e Investigación, Universidad Nacional de Asunción, Paraguay |
| Self-reported early detection activities for breast cancer in Colombia in 2010: impact of socioeconomic and demographic characteristics | Salud Pública Mex. 2013;55(4):368-78 | Anna Font-González1 Marion Piñeros2 Esther de Vries1 | 1 Department of Public Health, Erasmus MC. Rotterdam, The Netherlands 2 Subdirección de Investigaciones y Salud Pública, Instituto Nacional de Cancerología, Bogotá, Colombia. |
| Pharmacokinetics of piperacillin/tazobactam in cancer patients with hematological malignancies and febrile neutropenia after chemotherapy | Bmc Pharmacology and Toxicology. 2013;14(1):59-63 | José C Álvarez1 Sonia I Cuervo1,2,3 Javier R Garzón2 Julio C Gómez2,3 Jorge Augusto Díaz2,4 Edelberto Silva2,4,5 Ricardo Sánchez1,2,3 Jorge A Cortés1 | 1 Universidad Nacional de Colombia, Facultad de Medicina, Colombia 2 (GREICAH): Grupo de Investigación en Enfermedades Infecciosas en Cáncer y alteraciones hematológicas, Colombia 3 Instituto Nacional de Cancerología, Colombia 4 Departamento de Farmacia, Facultad de Ciencias, Universidad Nacional de Colombia, Colombia 5 Departamento de Medicina, Facultad de Medicina, Universidad Nacional de Colombia, Colombia |

(continúa)

Tabla 59. Publicaciones científicas, según grupo o servicio, INC, Colombia, 2013.

| Participación en publicaciones extrainstitucionales | | | |
|--|---------------------------------------|---|---|
| Nombre de la publicación | Medio de publicación | Autores | Grupo/servicio |
| Intervenciones de consejería para la cesación de la adicción al tabaco: revisión sistemática de la literatura | Salud Pública Mex. 2013;55(2):196-206 | Luz Helena Alba ¹ Raúl Murillo ² Juan Sebastián Castillo ³ Grupo elaborador de guías de cesación de tabaco del INC ⁴ | 1 Departamento de Medicina Preventiva y Social, Pontificia Universidad Javeriana, Colombia 2 Subdirección de Investigaciones, Instituto Nacional de Cancerología, Colombia 3 Grupo de Investigación Clínica, Instituto Nacional de Cancerología, Colombia 4 Integrado por Nelci Becerra, Alejandra Cañas, Plutarco García-Herreros, Nelson Páez, Catalina Mosquera, Natalia Camacho, Javier Gómez, Luis Gabriel Bernal y los autores. |
| Características del melanoma cutáneo primario en el Instituto Nacional de Cancerología 2006-2010 | Rev Colomb Cancerol. 2013;17(3):111-8 | Flavia Pozzobon ¹ Álvaro Acosta ² Alexander Carreño ³ Eduardo Fierro ¹ | 1 Universidad Nacional de Colombia 2 Clínica de Piel, INC 3 Grupo de Investigación Clínica, INC |
| Febrile neutropenia in the tropics: A description of clinical and microbiological findings and their impact on inappropriate therapy currently used at an oncological reference center in Colombia | Biomédica. 2013;33(1):70-7 | Jorge A. Cortés ¹ Sonia Cervo ^{2,3} Carlos A. Gómez ² Diana Bermúdez ⁴ Teresa Martínez ⁵ Patricia Arroyo ⁶ | 1 Departamento de Medicina, Facultad de Medicina, Universidad Nacional de Colombia, Bogotá, Colombia 2 Unidad de Enfermedades Infecciosas, Facultad de Medicina, Universidad Nacional de Colombia, Bogotá, Colombia 3 Grupo de Enfermedades Infecciosas, Instituto Nacional de Cancerología, Bogotá, Colombia 4 Comité de Infecciones Hospitalarias, Instituto Nacional de Cancerología, Bogotá, Colombia 5 Departamento de Epidemiología, Instituto Nacional de Cancerología, Bogotá, Colombia 6 Laboratorio de Microbiología, Instituto Nacional de Cancerología, Bogotá, Colombia |
| Recomendaciones para la cesación de la adicción al tabaco en Colombia | Biomédica. 2013;33(2):186-204 | Luz Helena Alba ¹ Raúl Murillo ² Nelci Becerra ³ Nelson Páez ⁴ Alejandra Cañas ⁵ Catalina Mosquera ¹ Juan Sebastián Castillo ⁶ Natalia Camacho ¹ Javier Gómez ¹ Plutarco García-Herreros ⁷ Luis Gabriel Bernal ¹ | 1 Departamento de Medicina Preventiva y Social, Pontificia Universidad Javeriana, Colombia 2 Subdirección de Investigaciones, Instituto Nacional de Cancerología, Bogotá, Colombia 3 Consultorios Médicos Universitarios, Hospital Universitario de San Ignacio, Colombia 4 Fundación Neumológica Colombiana 5 Unidad de Neumología, Pontificia Universidad Javeriana, Colombia 6 Grupo de Investigación Clínica, Instituto Nacional de Cancerología, Colombia 7 Unidad de Neumología, Instituto Nacional de Cancerología, Colombia |



Para mayor claridad y comprensión por parte del lector en el glosario se proveen algunas definiciones técnicas y operativas que están relacionadas con cada una de las secciones a las que hace referencia el Anuario. En el caso de la asistencia hospitalaria, se recogieron los conceptos que rutinariamente utilizan los especialistas y profesionales del **Instituto Nacional de Cancerología** en el desarrollo de sus actividades, los cuales no necesariamente coinciden en todos los casos con sus definiciones teóricas.



7. Glosario

Anuario Estadístico

Registro institucional de cáncer

Cáncer: crecimiento anormal y desordenado de las células de un órgano o sistema determinado que tienen la capacidad de producir metástasis a distancia.

Caso de cáncer: paciente con diagnóstico confirmado de cáncer con base en un método de diagnóstico, independientemente de que haya sido diagnosticado y tratado en otra institución.

Caso nuevo de cáncer: presentación de un caso de cáncer nuevo que no ha sido reportado como tal en la información del registro institucional. Es importante tener en cuenta que un mismo paciente puede presentar varios casos nuevos de cáncer si la localización anatómica o la histología son diferentes.

Clasificación de caso: define la condición del caso nuevo de cáncer en relación con los servicios prestados en la institución (caso diagnosticado y tratado en la institución, caso diagnosticado fuera y tratado en la institución, caso diagnosticado y tratado en otra institución y viene para tratamiento complementario).

Confirmación microscópica o verificación histológica: confirmación de la presencia de células neoplásicas en un fragmento extraído de la neoplasia, que ha sido examinado a través de un microscopio por parte del patólogo.

Primario múltiple: más de un tumor presente en una misma persona.

Registro institucional de cáncer: sistema de recolección, almacenamiento, procesamiento, análisis, interpretación y uso continuo de la información sobre la presentación y las características de los casos nuevos de cáncer atendidos en la institución.

Registro de mortalidad institucional

Causa básica de defunción: enfermedad o lesión que inicia la cadena de acontecimientos patológicos que condujeron directamente a la muerte. Su codificación se basa en la Clasificación Internacional de Enfermedades, 10ª versión.

Certificado de defunción: instrumento de recolección de las defunciones establecido por el Sistema de Registro Civil y Estadísticas Vitales, que tiene fines legales y estadísticos.

Defunción certificada: defunción cuyo certificado haya sido diligenciado por un médico, en este caso por un médico que trabaja en el INC, independientemente del lugar de fallecimiento.

Mortalidad hospitalaria: defunciones certificadas cuyo lugar de ocurrencia es una institución hospitalaria, en este caso el INC.

Producción hospitalaria

Aféresis: concentrado de plaquetas que equivale a 8 o 10 unidades obtenidas de los donantes de sangre.

Braquiterapia: tipo de radioterapia que utiliza fuentes radioactivas para dar una dosis a corta distancia por medio de aplicaciones intracavitarias, intraluminales e intersticiales.

Braquiterapia de alta tasa: braquiterapia a dosis mayores de 12 Gys/hora.

Braquiterapia de baja tasa: braquiterapia a dosis de 0,4 a 2 Gys/hora.

Concentración consulta externa: número de veces que un servicio de consulta externa se le presta al mismo paciente en un periodo.

Consulta de control: consulta realizada al paciente con diagnóstico de cáncer al que, dependiendo de la gravedad de la enfermedad y de la respuesta al tratamiento, se le hacen seguimientos por parte del médico y del residente. El paciente debe llegar con toda la batería de exámenes necesarios para continuar con el estudio. En el caso de

radioterapia, el control se hace cada vez que el paciente requiera valoración durante el tratamiento, al final del cual se da comienzo a las consultas de seguimiento.

Consultas de primera vez: consultas efectivas realizadas por los médicos a un paciente que asiste por primera vez, es decir que no tiene historia clínica de consulta externa.

Consultas de urgencia: sumatoria de consultas realizadas en GAICA y en urgencias pediátricas.

Consultas totales: incluye consultas de urgencia, urgencias pediátricas, consultas de control, consultas de primera vez en la vida, interconsultas Grupo de Atención Inmediata en Cáncer (GAICA), interconsultas hospitalarias y juntas de decisión.

Días cama desocupada: número de días que estuvieron desocupadas las camas durante un periodo.

Días cama disponible: sumatoria de los días cama disponibles en el periodo. Una cama disponible es aquella cama habilitada que está en condiciones de uso para la atención de pacientes durante 24 horas y cuenta con la dotación de recurso físico, humano, material y tecnológico. El número de camas disponibles es igual a la sumatoria de camas ocupadas más camas desocupadas. Las camas que existen físicamente pero que no cuentan con la dotación mencionada, no se consideran camas disponibles.

Días cama utilizada: número de días que estuvieron ocupadas las camas durante un periodo.

Días estancia egresos: sumatoria de los días que permanece hospitalizado cada uno de los pacientes que egresan durante un periodo de tiempo.

Egresos hospitalarios: número total de pacientes dados de alta de los servicios de internación del Instituto Nacional de Cancerología. No incluye GAICA ni UCIs.

Giro cama: relación entre el número de egresos y el número de camas hospitalarias habilitadas.

Inmunoematología: proceso para detectar los antígenos y los anticuerpos de los eritrocitos o glóbulos rojos.

Interconsultas hospitalarias: número de remisiones para emisión de un concepto clínico que los servicios de internación solicitan a consulta externa.

Intervalo de sustitución: relación en la que el numerador corresponde al promedio de días estancia multiplicado por el porcentaje de desocupación, y el denominador, al porcentaje ocupacional.

Inyección de modificación de respuesta: inyección de moduladores biológicos para el tratamiento contra el cáncer.

Junta de decisiones: número de reuniones clínicas de varios especialistas para la definición de conducta frente a un determinado tipo de paciente.

Monoquimioterapia: uso de un agente único activo contra la enfermedad neoplásica.

Pacientes con cáncer: número de pacientes remitidos de diferentes instituciones con diagnóstico de cáncer.

Poliquimioterapia: combinación de dos o más agentes activos contra la enfermedad neoplásica.

Porcentaje de desocupación: número de días cama desocupada en el periodo sobre el número de días cama disponible del mismo periodo. Se expresa en términos porcentuales.

Porcentaje de ocupación: número de días cama ocupada en el periodo sobre el número de días cama disponible del mismo periodo. Se expresa en términos porcentuales.

Porcentaje de pacientes con cáncer: relación expresada en porcentaje, en la que el numerador corresponde a pacientes con cáncer, y el denominador, a pacientes que están por primera vez en el Instituto Nacional de Cancerología.

Procedimiento quirúrgico: número de intervenciones realizadas a un paciente en salas de cirugía, en cirugía ambulatoria, o algunas intervenciones en otros servicios determinadas por el cirujano o el anestesiólogo.

Promedio estancia: sumatoria de los días de estancia de los pacientes con egreso dividido por total de egresos hospitalarios. Corresponde al tiempo promedio en que permanece hospitalizado un paciente. No incluye GAICA ni UCIs.

Relación consulta egreso: relación entre el número de consultas totales en un periodo determinado, dividido por el número de egresos de cada periodo.

Sesión de radioterapia: tiempo requerido, usualmente cerca de 15 minutos, para un tratamiento no complicado de un paciente en una unidad de megavoltaje.

Sesiones con acelerador: teleterapia con acelerador lineal.

Teleterapia o radioterapia externa: tipo de radioterapia que utiliza equipos que emiten radiaciones ionizantes a distancias mayores de 30 a 40 cm hasta 100 cm.

Tratamientos con megavoltaje: tratamientos con equipos de cobalto o aceleradores lineales, que emiten radiaciones ionizantes con equipos iguales o mayores a 1 megavoltio (Mv).

Infecciones asociadas al cuidado de la salud

Bacteremia asociada a catéter venoso central: paciente con síntomas clínicos de bacteremia, sin otro foco aparente de infección, en quien se aísla tanto en un cultivo semicuantitativo de la punta del catéter venoso central, como en un hemocultivo periférico, el mismo microorganismo.

Infecciones intrahospitalarias: infecciones adquiridas en el hospital o en la institución prestadora de servicios de salud; pueden ocurrir durante la estancia hospitalaria o hasta 72 horas después del egreso del paciente. En caso de prótesis pueden presentarse hasta doce meses después.

Número de aislamientos de acuerdo con el tipo de muestra según microorganismos: número de aislamientos microbiológicos detectados para cada microorganismo de acuerdo con los tipos de muestras enviadas al laboratorio de microbiología.